

HANHIKANKAAN POHJAVESIALUEEN suojelusuunnitelma 2021

LIITTEET



LIITE 1

Tiedossa olevat Hanhikankaan pohjavesialueella tehdyt tutkimukset

| Tutkimuksen tekijä | Vuosi | Tavoite/työn nimi |
|--|---------|--|
| Oy Yleinen Insinööritoimisto | 1956 | Kaupungin lisävesitarve |
| Oy Vesi-Hydro Ab | 1960 | Pohjavesikaivopaikan selvitys ja vanhan kaivon uusimismenetelmä, uusien kaivojen rakentamismahdollisuudet |
| Vesi-Hydro Jäämies & Co | 1965 | Pohjavesitutkimus, siiviläkaivojen (5 kpl) paikat vesilaitoksen pohjoispuolelta |
| Vesi-Hydro Oy | 1966 | Hanhikankaan suoja-alue tutkimus |
| Mikkelin vesipiirin vesitoimisto | 1971 | Pohjavesitutkimus 3–4 km kaupungin pohjoispuolella, tekopohjaveden muodostamismahdollisuudet, TN:o 972 Mi 4. Pohjavesitutkimus Mikkelin seudulla syyskaudella 1971 |
| Geoteknillinen Insinööritoimisto E. Hilpi | 1972 | Lausunto maaperästä Koulukeskuksen alueella. 1130 Lausunto maaperästä Koulukeskuksen alueella. 1121.. |
| Mikkelin kaupunki | 1975–78 | Imeytyskokeita vedenottamon pohjoispuolisella harjuosuudella. |
| Suunnittelukeskus Oy | 1977 | Tekopohjavesitutkimus vedenottamon pohjoispuolisella harjuosuudella |
| Geotek Oy | 1977 | Mikkelin kaupungin vesilaitos. Hanhikankaan tekopohjavesialue. Työ no. 6151. 1977-10-31 |
| Vesi-Hydro Oy | 1986 | Hanhikankaan pohjavedenotto, koepumppaus, MM/av 11869 |
| Suomen Pohjavesitekniikka Oy | 1996 | Hanhikankaan pohjavesitutkimus |
| Juha Tikka | 1998 | Mikkelin kaupungin raakavedenoton kannalta tärkeiden vesistöjen laatu vuosina 1995–1997 |
| Mikkelin seudun ympäristökeskuksen julkaisuja 1/2000 | 2000 | Öljysäiliöiden riskikartoitus |
| Savolab Oy | 2000? | Mikkelin kaupungin raakavedenoton kannalta tärkeiden vesistöjen veden laatu vuosina 1998–2000 |
| Mikkelin kaupunki 27.3.2007 | 2007 | Hanhijoen Tampinkosken settipadon korvaaminen uudella pohjapadolla. Hakemussuunnitelmaselostus, Mikkelin kaupunki. |
| Pöyry Environment Oy | 2008 | Pohjaveden määrä ja laatu, koepumppaus, Mikkelin vesilaitos Hanhikankaan pohjavedenoton kehittäminen, pohjavesitutkimukset 2006–2007. 67050378.EG |
| GTK | 2015 | Hanhikankaan rakennetutkimus ja virtausmallinnus. GTK:n arkistoraportti 2/2016 |
| GTK | 2019 | Mikkelin Likolammen ja Hanhilammen sedimenttitutkimukset CBC RAINMAN -projektissa, GTK:n työraportti 74/2019 |
| Ramboll Finland Oy | 2020 | POAKORI, Kemiallisesti huonossa tilassa olevien pohjavesialueiden kokonaisvaltainen riskienhallinta. |

| | | |
|-----|------|---|
| GTK | 2021 | Mikkelin Hanhikankaan pohjavesialueen pohjavesi-pintavesi vuorovaikutustutkimus CBC RAINMAN -projektissa, GTK:n työraportti 61/2020 |
| GTK | 2021 | Pohjavesimuodostuman haavoittuvuusanalyysi DRASTIC-menetelmällä – tutkimuskohteina Mikkelin Hanhikangas ja Lahti. GTK:n työraportti 59/2021 |
| GTK | 2021 | Mikkelin Hanhikankaan pohjavesialueen virtausmalli ja ilmastonmuutoksen vaikutusten mallintaminen alueen pohjavedenpintoihin aikaväleillä 2021–2050 ja 2072–2100. GTK:n työraportti 48/2021 |

LIITE 2

1 SÄÄHAVAINNOT 1931-2020

1.1 Lämpötila

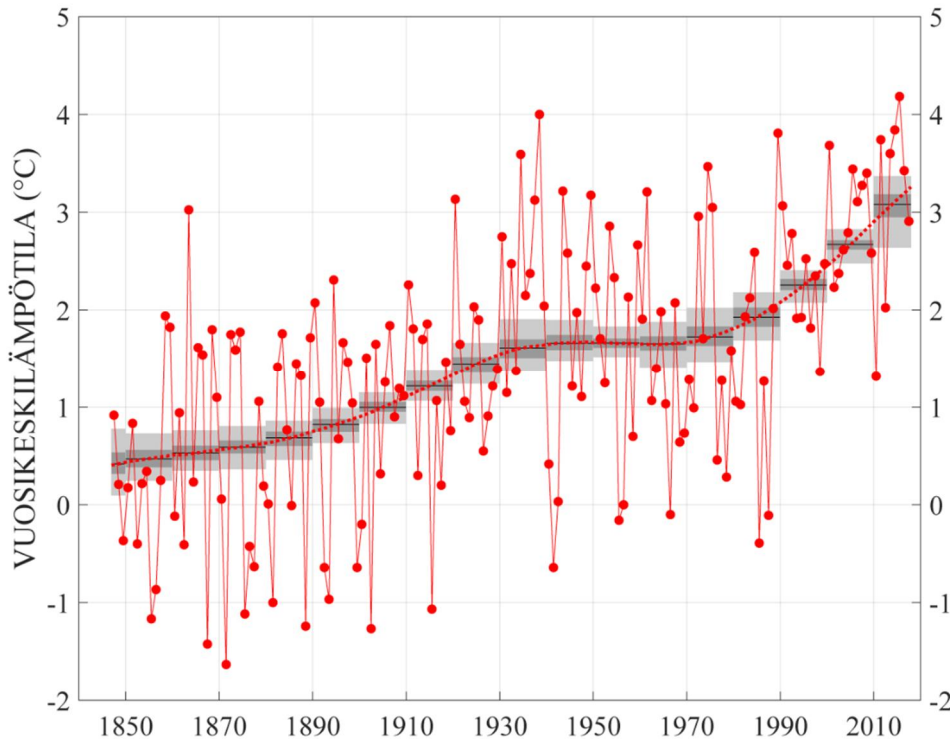
Taulukosta 1 voidaan havaita Mikkelin kuukausikohtaisia keskilämpötiloja. (Häkkinen, 1993, 7.) Keskimääräinen vuosilämpötila välillä 1991-2020 on ollut 4,2 °C. Vuosikeskilämpötilan nousu suhteessa ajanjaksoihin 1931-1960 ja 1961-90 on ollut + 1-1,1 °C. 30 viime vuoden aikana vuosikeskilämpötila on siis noussut Mikkelissä noin 1 °C verran. Taulukosta nähdään, että lämpötilan kasvu on ollut suurinta joului-, tammi- ja helmikuussa ja pienintä touko-, kesä- ja lokakuussa. (Häkkinen, 1993, 7, Ilmatieteenlaitos, 2021a, Nikander, 2021.)

Ilmatieteenlaitoksen sivuilta ladattavista Mikkelin lentoaseman sääasemalta mitatuista lämpötiloista puuttuu osa kuukausikeskilämpötiloista ajanjaksolta 1991-2020 (1993 tammikuu, 2003 helmikuu, 2006 joulukuu, 2007 tammi- ja maaliskuu, 2008 elokuu ja joulukuu, 2009 heinäkuu ja 2010 helmikuu sekä 2011 touko ja kesäkuu. 1993 tammikuun tieto on saatu Seppo Häkkisen julkaisusta ja 2011 tiedot on saatu LUKE:sta saaduista lämpötilatiedoista. Nämä tiedot ovat peräisin Mikkelin Rantakylän säähavaintoasemalta. Muut puuttuvat päiväkohtaiset keskilämpötilatiedot Ilmatieteenlaitos korvasi lähisääasemien tiedoista.

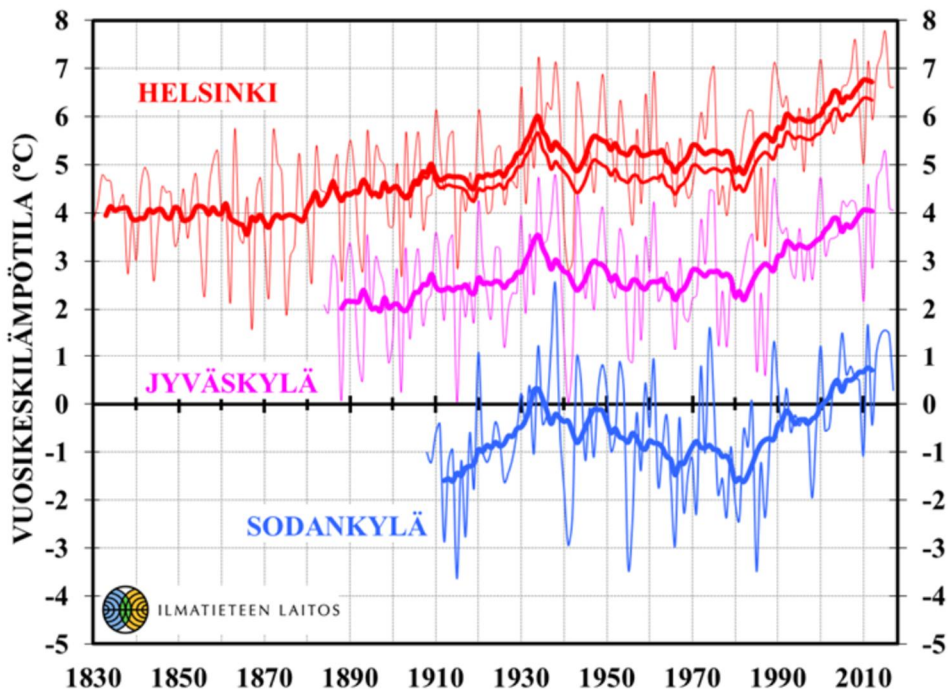
Taulukko 1. Keskilämpötilat [°C] kuukausi ja vuosi tasolla ajanjaksoina 1931-60 ja 1960-90 sekä pienimmät ja suurimmat keskilämpötilat [°C] ajanjaksoilla. (Häkkinen, 1993, 7, Ilmatieteenlaitos, 2021a, Nikander, 2021.)

| Keskiarvo | 1 | 2 | 3 | 4 | 5 | 6 | 7 | 8 | 9 | 10 | 11 | 12 | vuosi |
|-------------|-----------------|-----------------|-----------------|----------------|----------------|----------------|----------------|----------------|----------------|----------------|-----------------|-----------------|--------------------|
| 1931-60 | -9,1 | -9,2 | -5,3 | 1,8 | 8,6 | 13,9 | 16,7 | 14,6 | 9,4 | 3,6 | -1,1 | -5,4 | 3,2 |
| 1961-90 | -9,9 | -9,1 | -4,1 | 1,9 | 9,4 | 14,4 | 16,1 | 14,1 | 8,8 | 3,8 | -1,7 | -6,9 | 3,1 |
| 1991-2020 | -7,4 | -7,2 | -3,3 | 3,0 | 9,6 | 14,4 | 17,0 | 15,0 | 9,8 | 4,0 | -0,6 | -4,7 | 4,2 |
| Pienin arvo | -20,9 (1987) | -17,5 (1985) | -11,4 (1963) | -2,7 (1929) | 5,2 (1955) | 10,3 (1982) | 13,4 (1928) | 11,0 (1987) | 5,0 (1993) | -2,0 (1992) | -11,5 (1965) | -15,9 (1978) | 0,3 (1941) |
| Suurin arvo | -1,4 (1930) | 7,6 (1990) | 0,2 (1989) | 5,3 (1990) | 13,0 (1984) | 17,4 (1936) | 20,0 (1941) | 17,3 (1939) | 12,8 (1938) | 7,6 (1961) | 2,9 (1938) | 0,6 (1932) | 5,3 (1934/1989) |

Mikkelin sään kaltainen lämpötilan kehitys on nähtävissä koko Suomen vuosikeskilämpötiloissa ilmasto-opas.fi -sivustoilta saatavista kuvaajista. Kuvassa 9 nähdään kuinka 1930-1990 lukujen välillä Suomen vuosikeskilämpötilat on pysyneet miltei samana, kun taas 1990 -luvun jälkeen vuosikeskilämpötila on lähtenyt jyrkkään nousuun. Kuvan 2 perusteella muutos näyttäisi alkaneen selkeämmin jo 1980 -luvun alkupuolella.



Kuva 1. Suomen vuosikeskilämpötila välillä 1847-2017 (punainen pistekatkoviiva). Vuosittaiset arvot (punaiset ympyrät) perustuvat koko Suomen kattavaan hila-aineistoon. Punainen pisteiviiva kertoo tilastomalliin perustuvan keskimääräisen vuosikeskilämpötilan kulun. Ilmastollisen vuosikeskiarvon avulla lasketut vuosikymmenkohtaiset keskiarvot on esitetty mustalla viivalla ja näille on laskettu 50 % ja 95 %:n epävarmuusrajat tumman ja vaalean harmailla palkeilla. (Ilmasto-opas.fi, 2021.)



Kuva 2. Vuosikeskilämpötilat vuosilta 1830-2017 Helsingistä, Jyväskylästä ja Sodankylästä. Kymmenen vuoden liukuva keskiarvo on merkitty paksulla viivalla ja vuotuiset arvot ohuella viivalla. Helsingin lämpötiloissa keskipaksu viiva kuvaa arvioituja lämpötiloja tilanteessa, että kaupungin kasvu ei olisi vaikuttanut lämpötiloihin. (Ilmasto-opas.fi, 2021.)

1.2 Sadanta

Säähavaintojen perusteella vuosina 1931-60 satoi keskimäärin 585 mm vettä vuodessa. Suurimmillaan sateen määrä tuona ajanjaksona oli 797,7 mm vuonna 1943 ja pienimmillään vuonna 1941 341,7 mm. Vuosina 1961-1990 satoi keskimäärin 643 mm vettä vuodessa. Suurimmillaan sateen määrä tuona ajanjaksona oli 893,4 mm vuonna 1974 ja pienimmillään 471,7 mm vuonna 1978. Kasvu keskimääräisissä sademäärissä näiden ajanjaksojen välillä on 58 mm. Taulukossa 2 on esitetty ajanjaksojen keskimääräiset kuukausi sateet ja lisäksi pienimmät ja suurimmat sateet eri ajankohtina. Taulukosta voidaan nähdä, että sademäärän kasvu ajanjaksojen välillä on painottunut talveen ja syksyyn. Sadepäiviä on ollut vuodessa keskimäärin 190 kpl/v ajanjaksolla 1931-1960 ja 210 kpl/v ajanjaksolla 1961-1990. (Häkkinen, 1993, 29-31, 35.) Sademäärä ajanjaksona 1991-2020 on ollut keskimäärin 645 mm vuodessa. Sademäärässä ei ole tapahtunut juurikaan muutosta suhteessa ajanjaksoon 1961-1990. Suurimmillaan sateen määrä ajanjakson 1991-2020 on ollut 840 mm vuonna 2008 ja pienimmillään 476 mm vuonna 2018. (Ilmatieteenlaitos, 2021b.)

Taulukko 2. Sademäärät [mm]kuukausi- ja vuositasolla ajanjaksoina 1931-60 ja 1960-90 sekä pienimmät ja suurimmat keskimääräiset sademäärät [mm] em. ajanjaksoilla. (Häkkinen, 1993, 29-31, Ilmatieteenlaitos, 2021b.)

| Keskiarvo | 1 | 2 | 3 | 4 | 5 | 6 | 7 | 8 | 9 | 10 | 11 | 12 | vuosi |
|-------------|---------------|----------------|----------------|----------------|----------------|-----------------|-----------------|-----------------|-----------------|-----------------|-----------------|-----------------|-----------------|
| 1931-60 | 42 | 30 | 28 | 33 | 40 | 57 | 69 | 73 | 61 | 61 | 48 | 43 | 585 |
| 1961-90 | 45 | 32 | 36 | 36 | 40 | 55 | 68 | 88 | 68 | 62 | 61 | 53 | 643 |
| 1991-2020 | 50 | 38 | 36 | 33 | 42 | 68 | 78 | 70 | 53 | 66 | 57 | 55 | 645 |
| Pienin arvo | 5,0 (1941) | 7,1 (1954) | 2,0 (1969) | 8,0 (1987) | 6,2 (1972) | 10,8 (1986) | 4,1 (1973) | 20,3 (1950) | 10,6 (1949) | 8,0 (1946) | 15,2 (1945) | 7,9 (1953) | 341,7 (1941) |
| Suurin arvo | 97 (1984) | 89,0 (1990) | 65,3 (1971) | 86,5 (1973) | 91,9 (1927) | 149,2 (1987) | 190,2 (1934) | 181,4 (1974) | 125,6 (1973) | 138,3 (1934) | 106,2 (1974) | 102,5 (1974) | 893,4 (1974) |

LÄHDELUETTELO

Nikander, Hannele. 2021. Luonnonvarakeskus (LUKE). [sähköpostiviesti 20.1.2021]

Ilmasto-opas.fi. 2021. [Internet-sivut]. [viitattu 20.1.2021] Saatavissa: <https://ilmasto-opas.fi/fi/ilmastonmuutos/suomen-muuttuva-ilmasto/-/artikkeli/16266ad3-e5f5-4987-8760-2b74655182d5/suomen-ilmasto-on-lammennyt.html>

Ilmatieteenlaitos. 2021a. [Internet-sivut]. [viitattu 22.1.2021] Saatavissa: <https://www.ilmatieteenlaitos.fi/havaintojen-lataus>

Ilmatieteenlaitos. 2021b. [Internet-sivut]. [viitattu 20.1.2021] Saatavissa: <https://www.ilmatieteenlaitos.fi/havaintojen-lataus>

Häkkinen Seppo. 1993. Sadetta, poutaa, hellettä ja pakkasta. Säähavaintoja Etelä-Savon tutkimusasemalla Mikkelissä 1926-1993. Maataloudentutkimuskeskus. 39 s.

Suomen ympäristökeskus. 2021. [Internet-sivut]. [viitattu 6.4.2021] Saatavissa: <http://www.i3.ymparisto.fi/i3/tilanne/FIN/routa/ESA.htm>

LIITE 3**Pohjapadot Hanhilammen valuma-alueella**

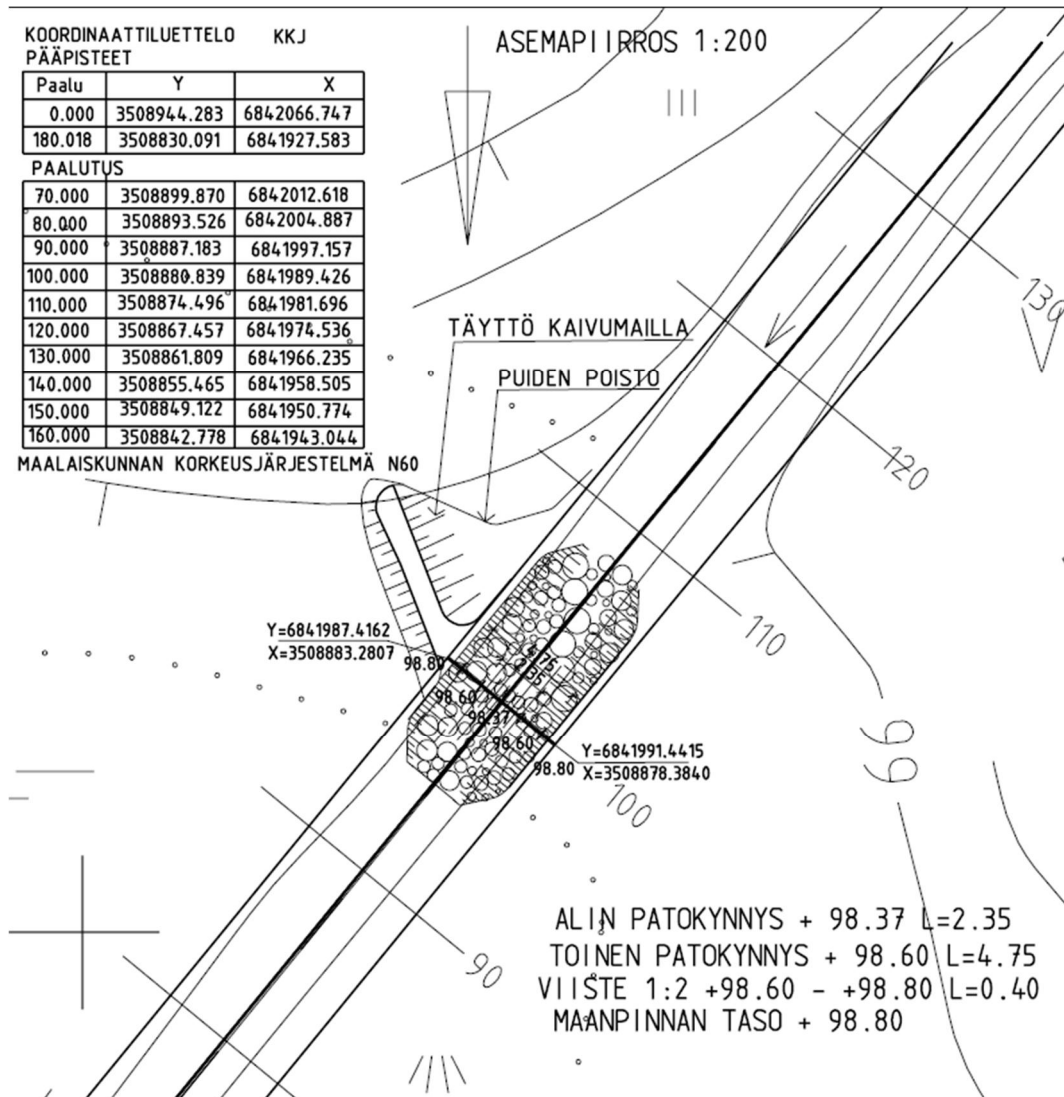
Hanhilammesta pois virtaavan veden määrään on säädelty Hanhilammen luusuassa sijaitsevalla pohjapadolla. Patoa kutsutaan myös Tampinkoskenpadoksi. Hanhilampeen virtaavan veden määrää on puolestaan säädelty Naistingin pohjapadolla ja Iso-Vuolingon ja Alaisen välisellä pohjapadolla. Seuraavissa kappaleissa on kuvattu pohjapadot tarkemmin.

1. Iso Vuolingon ja Alaisen välinen pohjapato

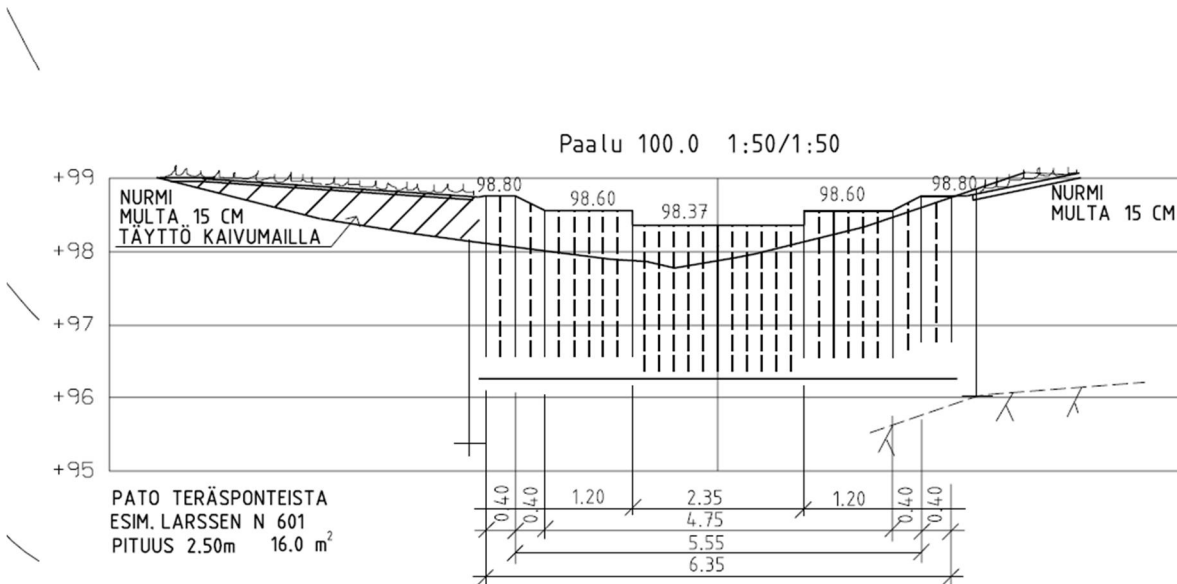
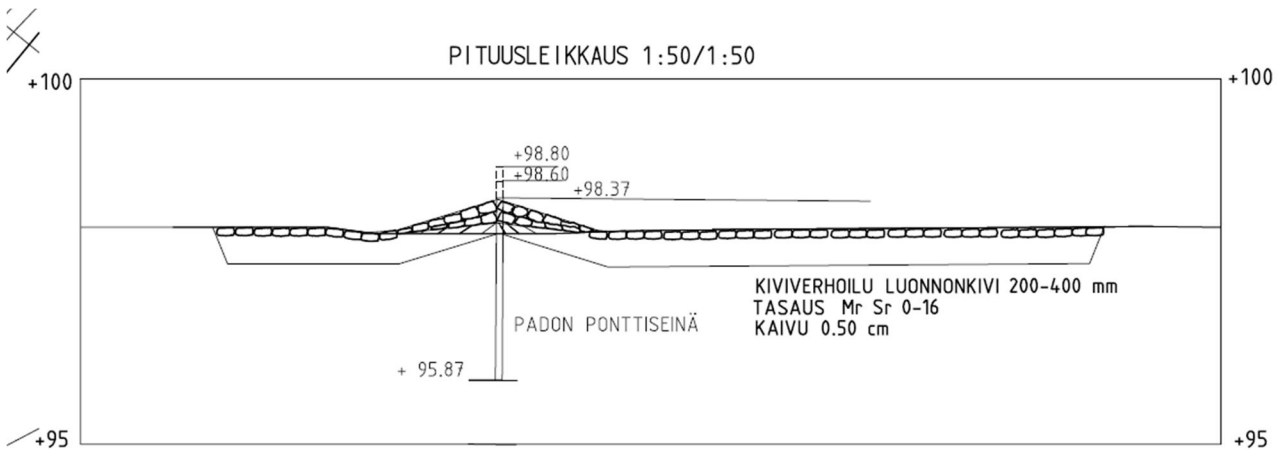
Noin 50 % Iso-Vuolingon vesistä laskee Pienisalmen kautta Pieni-Vuolinkoon ja siitä Isosalmen kautta Alaiseen ja noin 50 % laskee suoraan kuivatusuomaa pitkin Alaiseen. 1930 -luvulla kaivetun kuivatusuoman tarkoituksena oli laskea Iso-Vuolingon vedenkorkeutta. Vuonna 2012 kuivatusuomaan rakennettiin teräsponteista pohjapato, jonka tarkoituksena oli lisätä veden vaihtuvuutta Pieni-Vuolingossa ja nostaa sekä Iso- että Pieni-Vuolingon alivedenkorkeutta. Pato kynnyksen leveys on 2,35 m. Padon kynnyks on rakennettu tasoon 98,37 (N60). Ennen padon rakentamista virtaamasta noin 70 % kulki Iso-Vuolingon ja Alaisen kuivatusuoman kautta ja noin 30 % Pieni-Vuolingon kautta. Ennen pohjapadon rakentamista kuivatusuomaa oli padottu luonnon estein (puiden ja risujen avulla). Laskennallinen viipymä Iso-Vuolingossa on noin 0,6 vuotta eli 7,4 kk. Iso-Vuolinko on tyypiltään melko sokkeloinen läpivirtausjärvi. (Itä-Suomen Aluehallintovirasto, 2012.) Kuvassa 1 on esitetty pohjapato luonnossa ja kuvissa 2-3 padon rakennuspiirustukset.



Kuva 1. Pohjapato (Miettinen, 2013)



Kuva 2. Iso-Vuolingon ja Alaisen välisen pohjapadon asemapiirustus (Kotajärvi, 2011).



Kuva 3. Iso-Vuolingon ja Alaisen välisen pohjapadon pituus- ja poikkileikkaus (Kotajärvi, 2011).

2 Naistingin pohjapato

Vuonna 1993 Naistingin lampea kunnostettiin rakentamalla Naistingin luusuaan pohjapato ja niittämällä vesikasvillisuutta. Kunnostuksen tarkoituksena oli pysäyttää lammen umpeenkasvu ja säilyttää lammen linnustollinen arvo. Kunnostuksella oli tarkoitus lisätä lammen vesisyvyyttä nostamalla lammen alivedenkorkeuksia ja lisätä lammen avovesialueita niittämällä.

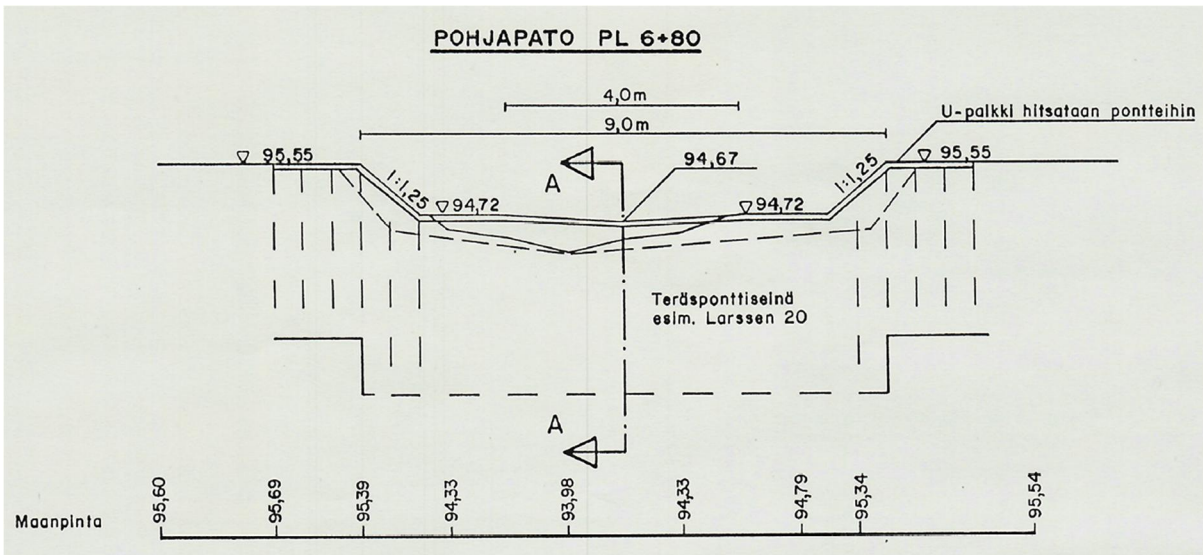
Ylivedenkorkeus säilytettiin entisellään. (ISY-1993-Y-286, 1993, 1.)

Ennen vuoden 1993 kunnostustoimenpiteitä vedenpinnankorkeuden vaihteluiksi oli arvioitu seuraavaa: HW = +95,55 m (N60), MW = +94,70-94,80 m (N60), NW = +94,39 m (N60).

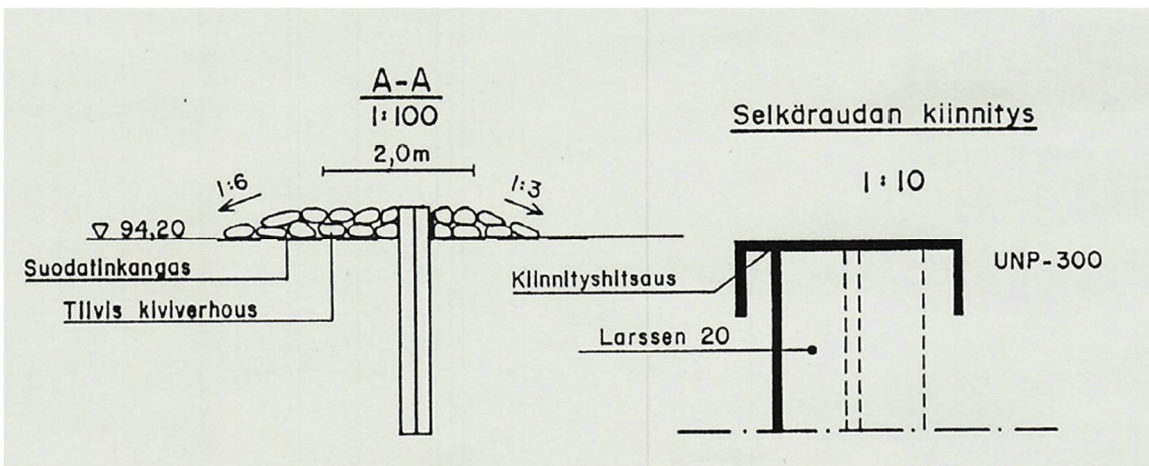
Pohjapadon jälkeiseksi vedenpinnankorkeuden vaihteluiksi esitetty vuoden 1993 vesiluvassa HW = +95,55 m (N60), MW = +94,80 m (N60), NW=+94,74 m (N60). Ylivedenkorkeus säilytettiin entisellään, keskivedenkorkeus nousee 0-10 cm ja alivedenkorkeus 35 cm. Padon harja on toteutettu siten, että se mahdollistaa kalojen nousun lampeen. (ISY-1993-Y-286, 1993, 2.) Naistingin pohjapato luonnossa on esitetty kuvassa 4 ja padon piirustukset kuvissa 5-7.



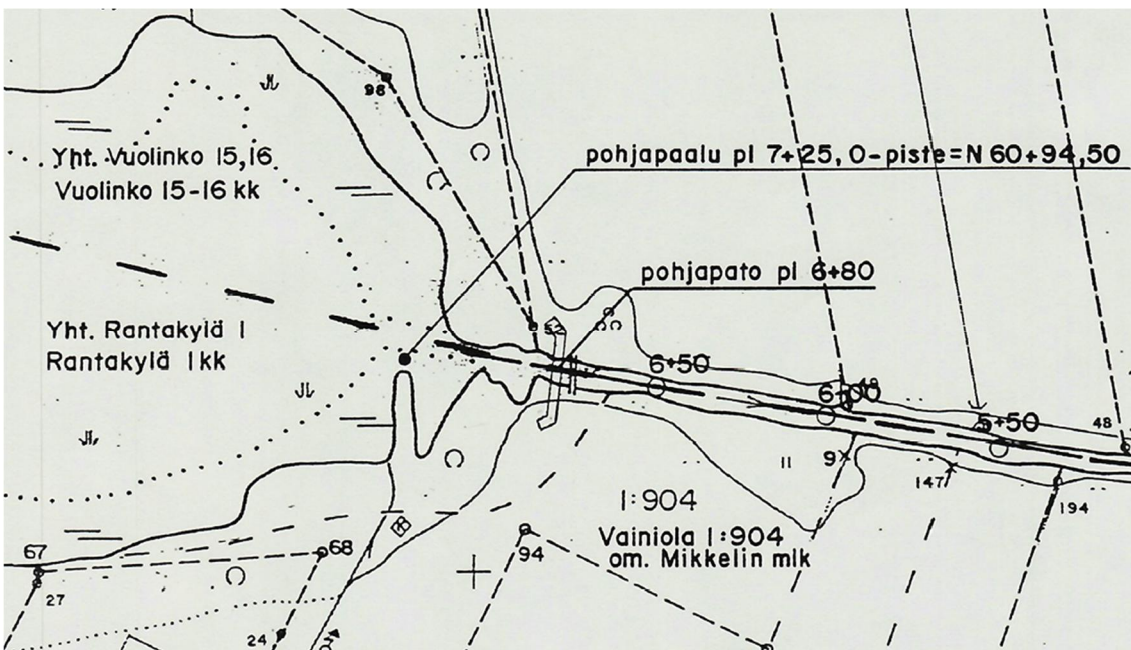
Kuva 4. Naistingin pohjapato syksy 2020.



Kuva 5. Naistingin pohjapato. (ISY-1993-Y-286, 1993).



Kuva 4. Naistingin pohjapato. (ISY-1993-Y-286, 1993).



Kuva 5. Naistingin pohjapadon sijainti (ISY-1993-Y-286, 1993).

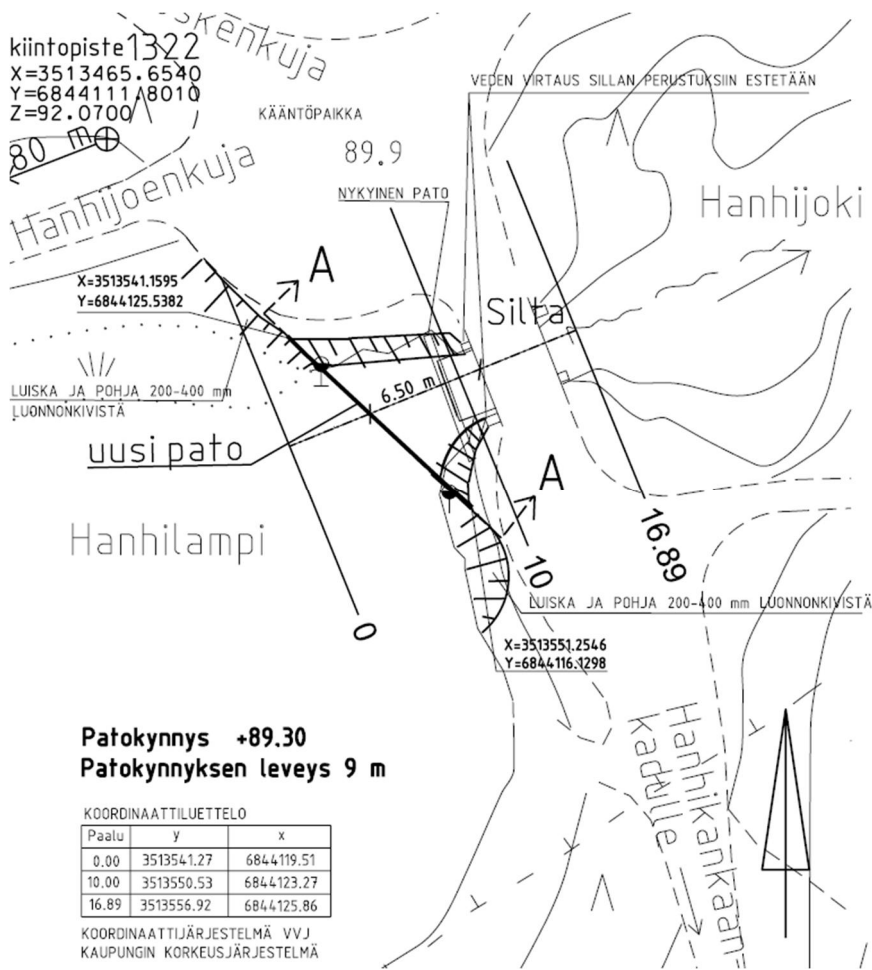
3. Hanhilammenpato

Ensimmäinen Hanhilammenpato kansankielessä Tampinkoskenpato on rakennettu Hanhilammen luusuaan jo 1900 luvun alkupuolella. Pato on ollut purettuna 1930-1940 luvulla Hanhijoen perkaamisen jälkeen. Vuonna 1940 pato on rakennettu jälleen kun sen huomattiin vaikuttavan pohjavedenpintoihin. Rakentamalla pato uudestaan voitiin vedensaanti turvata. (Leikas,1981,s32.)

Vuonna 1978 pato on uusittu settipadolla. Vuonna 2007 pato uusittiin jälleen. Uusimisen tarkoituksena oli korvata hankalasti säädettävissä oleva settipato vähemmän huoltoa vaativalla ja varmatoimisella padolla, jolla saataisiin vakaampi vedenkorkeus Hanhilampeen. Uusimisen yhteydessä oli pyrkimyksenä säilyttää luonnonolosuhteet entisellään. N60 – Kaupungin korkeus = 140,8 mm. (ISY-2007-Y-112, 2007.) Kuvassa 6 Tampinkoskenpato ja kuvissa 7-9 Tampinkoskenpadon rakennuspiirustukset.

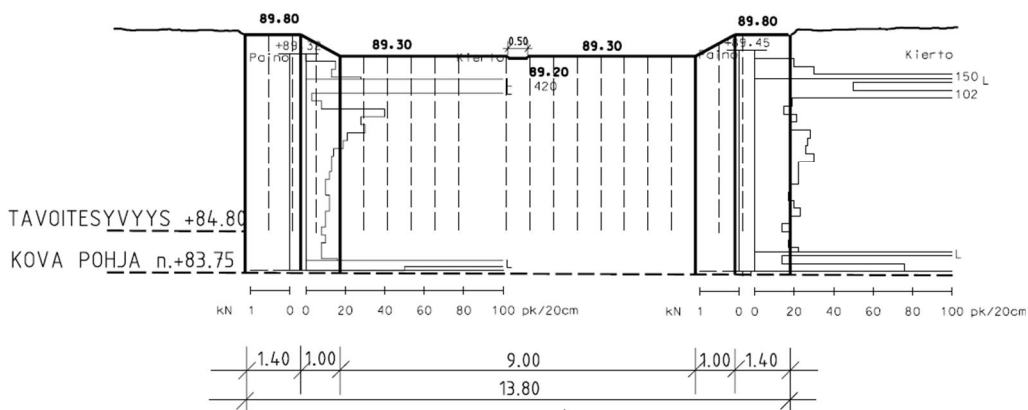


Kuva 6. Tampinkoskenpato vasemmalla.

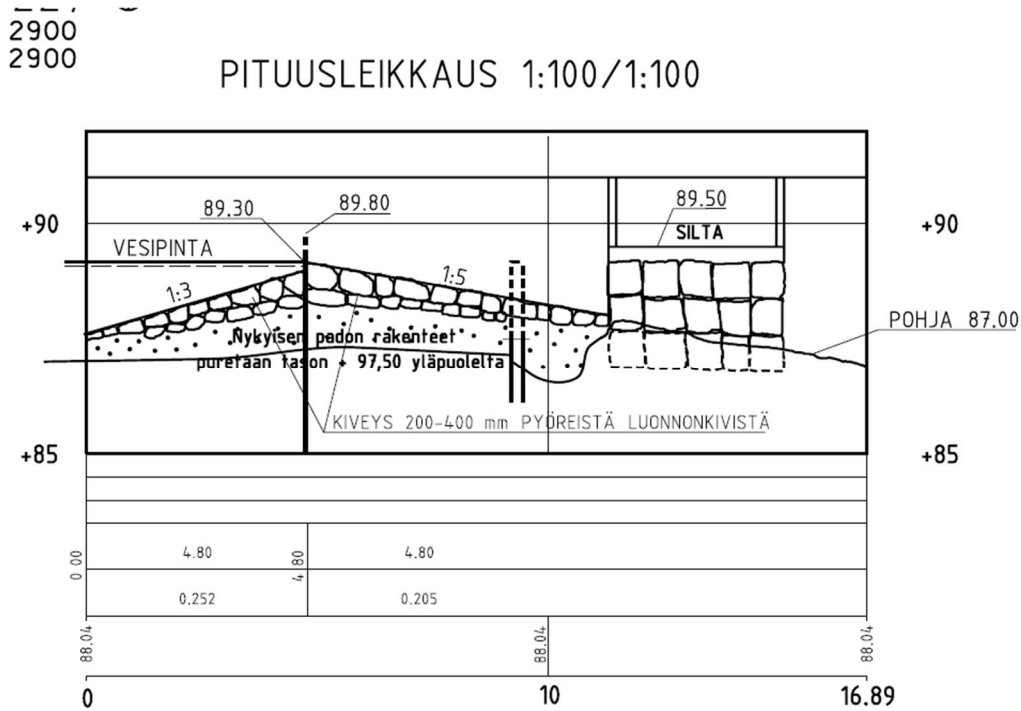


Kuva 7. Asemapiirustus, lupakuvat. N60 – Kaupungin korkeus = 140,8 mm (Kotajärvi, 2007).

LEIKKAUS A - A 1:100



Kuva 8. Hanhilammenpadon leikkauspiirustus (Kotajärvi, 2007).



Kuva 9. Pituusleikkaus Hanhilammenpadosta (Kotajärvi, 2007).

Lähteet:

ISY-1993-Y-286. 1993. Itä-Suomen vesioikeuden päätös. Naistingin lammen kunnostaminen. 7 s.

ISY-2007-Y-112. 2007. Itä-Suomen ympäristölupaviraston päätös. Hanhijoen Tampinkosken settipadon korvaaminen uudella pohjapadolla. 9 s.

Kotajärvi, Matti. 2007. Rakennuspiirustukset; Tampinkoskenpato, piirustusnro 1813. Mikkelin kaupungin tekninen toimi, ydyskuntatekniikka ja ympäristö.

Kotajärvi, Matti. 2011. Asemapiirustus: Iso-Vuolinko-Alainen järvien välisen kuvatusojan pato, piirustusnro 1814. Mikkelin kaupungin tekninen toimi, kaupunkiympäristö.

Leikas, Jaana. 1981. Mikkelin kaupungin vesi- ja viemärilaitos 1911-1981, Historiikki. 63 s.

Miettinen, Olli. 2013. Katselmusmuistio 23.9.2013. Iso-Vuolinko -Alainen järvien kuivatusojan pato. Laatutie Oy.

LIITE 4

Päästöskenaariot

Päästöskenaarioita on olemassa kolme eri-asteista päästöskenaariota

- **RCP2.6B:** alhainen ilmastonmuutosskenaario
- **RCP4.5B:** keskimääräinen ilmastonmuutosskenaario
- **RCP8.5B:** voimakas ilmastonmuutosskenaario

RCP tulee sanoista Representative Concentration Pathway ja kuvaa ilmastonmuutoksen aiheuttamaa säteilypakotetta (w/m²) vuonna 2100 (IPCC 2021). Mitä suurempi säteilypakote on sitä suurempi on ilmastonmuutoksen vaikutus. (Huttunen & al, 2021.)

RCP 2.6 skenaario vastaa kutakuinkin Pariisin ilmastopimusta, jossa päästöt kääntyvät nopeaan laskuun jo lähivuosina ja lämpötilan globaali nousu jää alle kahden asteen esiteolliseen aikaan nähden. (Huttunen & al, 2021.)

RCP 8.5 skenaariossa taas päästöjen kasvu jatkuu koko 2000-luvun ajan ja lämpötilojen nousu on vuosisadan loppupuolella hyvin suurta. Sen toteutumista voidaan pitää tämän hetkisen tiedon valossa melko epätodennäköisenä, mutta se toimii pahimpana mahdollisena skenaariona. (Huttunen & al, 2021.)

Keskimmäisessä RCP4.5 skenaariossa päästöt kasvavat hitaasti vielä noin kymmenen vuotta ja kääntyvät laskuun vuosisadan puolivälin tienoilla. Se vastaa globaalissa lämpötilan nousussa noin 2,5-3 asteen lämpenemistä ja se on näistä skenaarioista lähimpänä tämänhetkistä päästöjen kehitystä ja arviota päästöjen kehityksestä jo sovitut ilmastonmuutoksen hillintätoimet huomioiden. (Huttunen & al, 2021.)

Lämpötilan nousu eri skenaarioissa alkaa merkittävästi erota toisistaan vasta noin vuoden 2050 jälkeen. Vuosisadan lopulla erot eri päästöskenaarioissa ovat suuria, mutta lähitulevaisuudessa päästöskenaariota enemmän vaikuttavat valittu ilmastomalli ja luontainen vaihtelu. (Huttunen & al, 2021.)

Lähde:

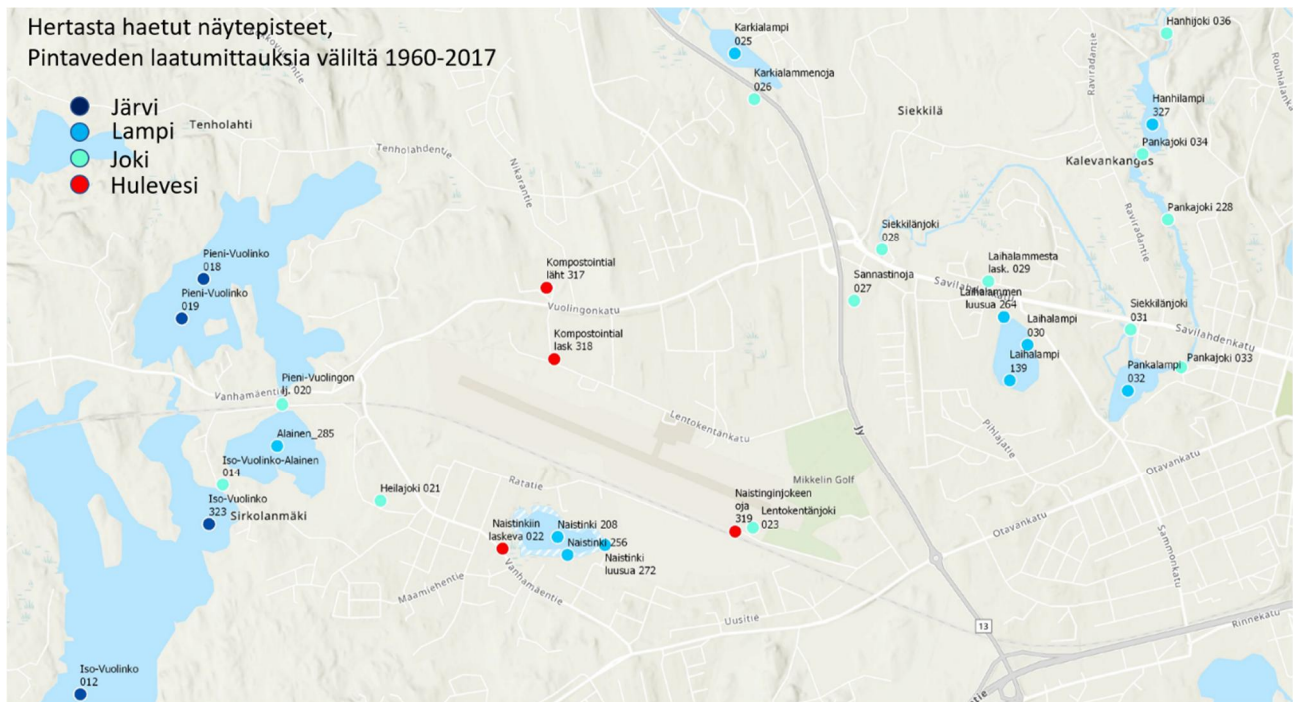
Huttunen, Markus; Vento, Tiia; Veijalainen, Noora. 2021. SYKE. Loppuraportti. Virtaama-, kuormitus- ja onnettomuustilannemalli Emolanjoen valuma-alueelle.

LIITE 6

Vesistöjen vedenlaatu vuosina 1966–2019

Tarkasteluun on otettu mukaan Iso-Vuolinko, Pieni-Vuolinko, Alainen, Naistinki, Karkialampi, Laihalampi, Pankalampi ja Hanhilampi. Aineisto on haettu Hertta-tietokannasta keväällä 2021. Näytteenotto ajanjaksolla 1966–2019 ei ole ollut tasaista, suurimman osan näytteenottokerroista painottuessa 2000-luvulle. Tuloksia ei ole tässä tarkastelussa jaoteltu näytteenottoajankohdan tai virtaamatilanteen mukaan vaan tarkastelussa on kaikki Hertasta löytyneet näytekerrat.

HUOM! Akseleita ei ole yhdenmukaistettu, eli samankin suureen esim. pinta- ja pohjakuvaajissa voi olla eri asteikko y-akselilla!



Kuva 1. Pintavesianalyysaja varten Hertasta haetut näytepisteiden sijainti.

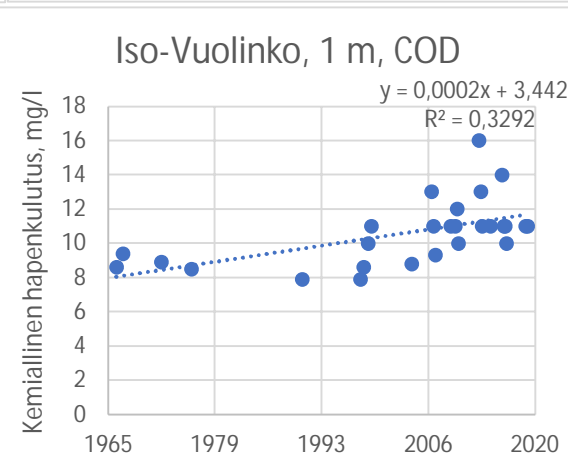
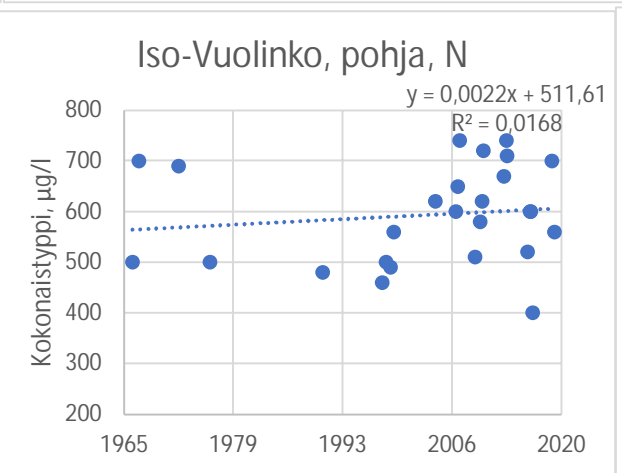
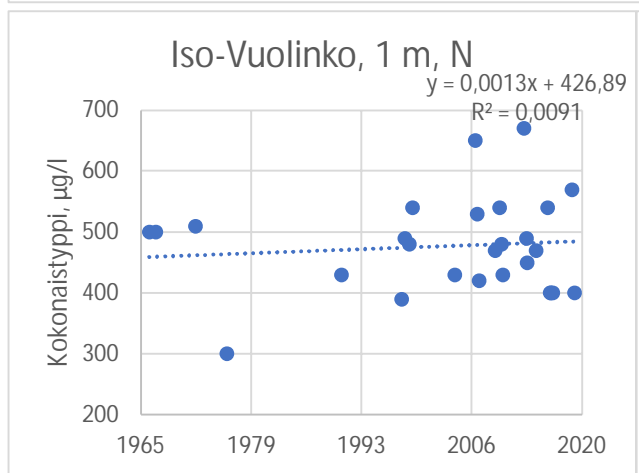
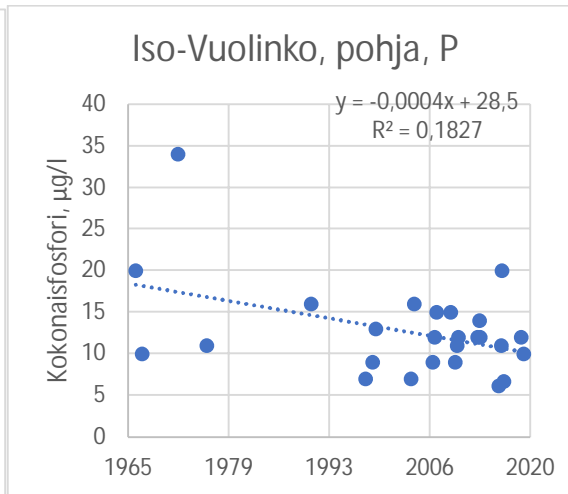
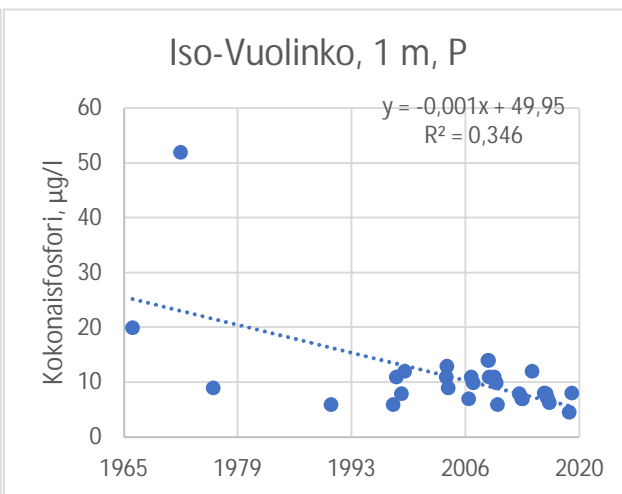
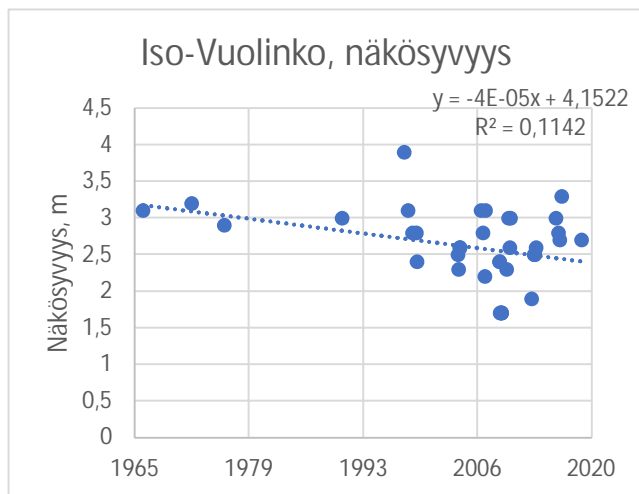
Iso-Vuolinko

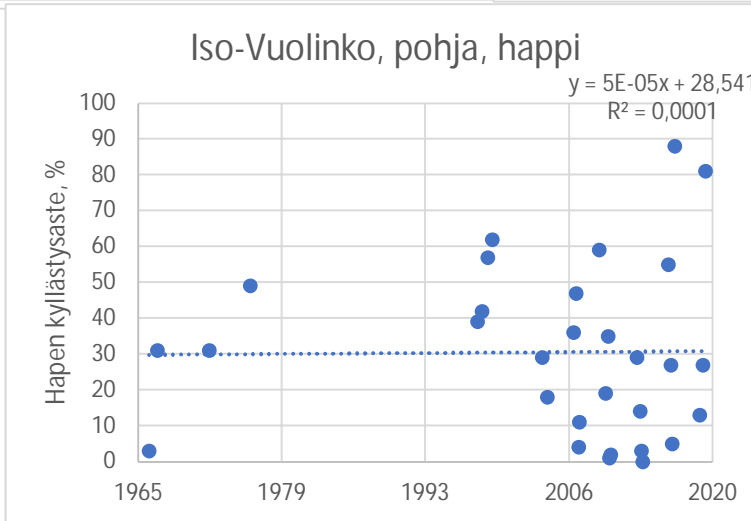
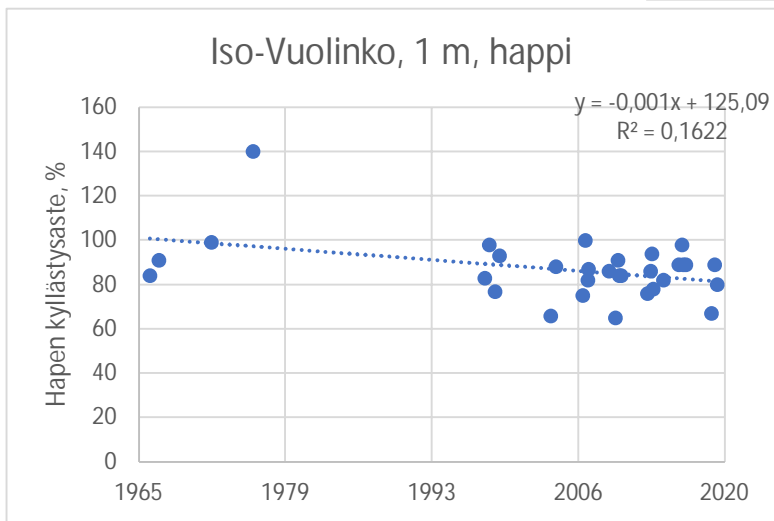
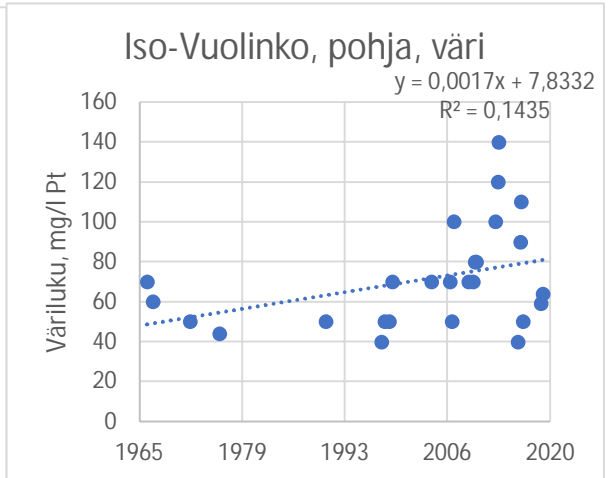
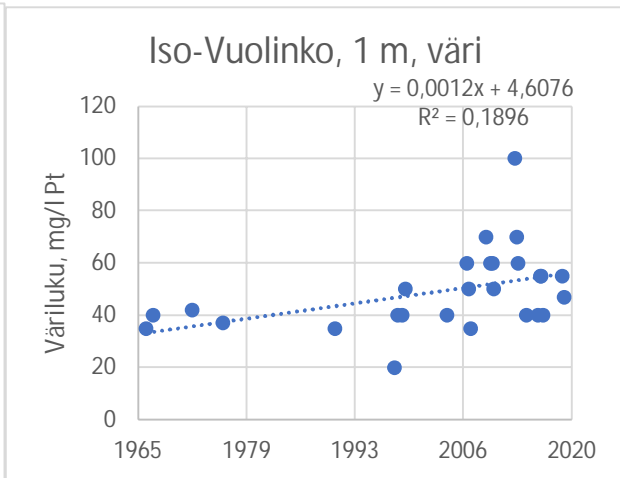
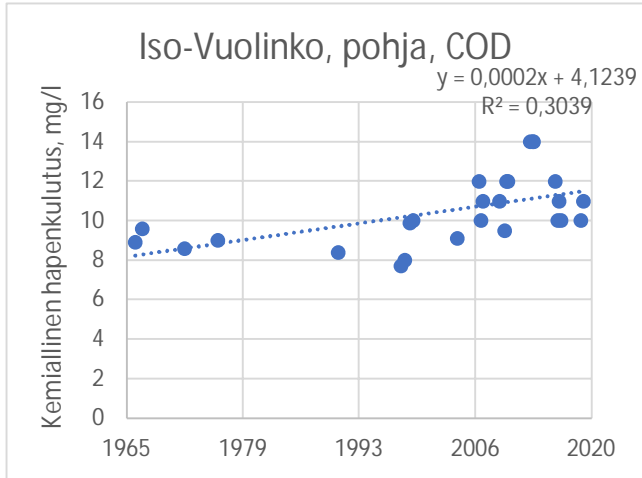
Näytteenotto on aloitettu vuonna 1966 ja viimeisimmät näytteet ovat vuosilta 2016 ja 2019. Näytteet on otettu pisteistä 012 ja 323 (ks. kuva 1).

1 m -kuvaajissa on käytetty kaikkia mittaushistorian näytteenottokertoja yhden metrin syvyydestä ja pohja-kuvaajissa on käytetty kaikkia näytteenottokertoja noin metrin pohjan yläpuolella.

Mitatusta muuttajasta riippuen näytetulosten määrä vaihtelee, koska kaikkia suureita ei ole mitattu kaikilta syvyyksiltä. Myös mittaustulosten ajankohta vaihtelee. Mittauskertoja on muuttujasta riippuen 26–34 ja näistä 7 keväällä, 2 talvella (tammikuu), 5 syksyllä ja loput kasvukaudella (vaihtelee hieman suureittain).

Mittausajankohta vaikuttaa esimerkiksi pohjan happipitoisuuteen ja huuhtouman kautta aineiden pitoisuuksiin.

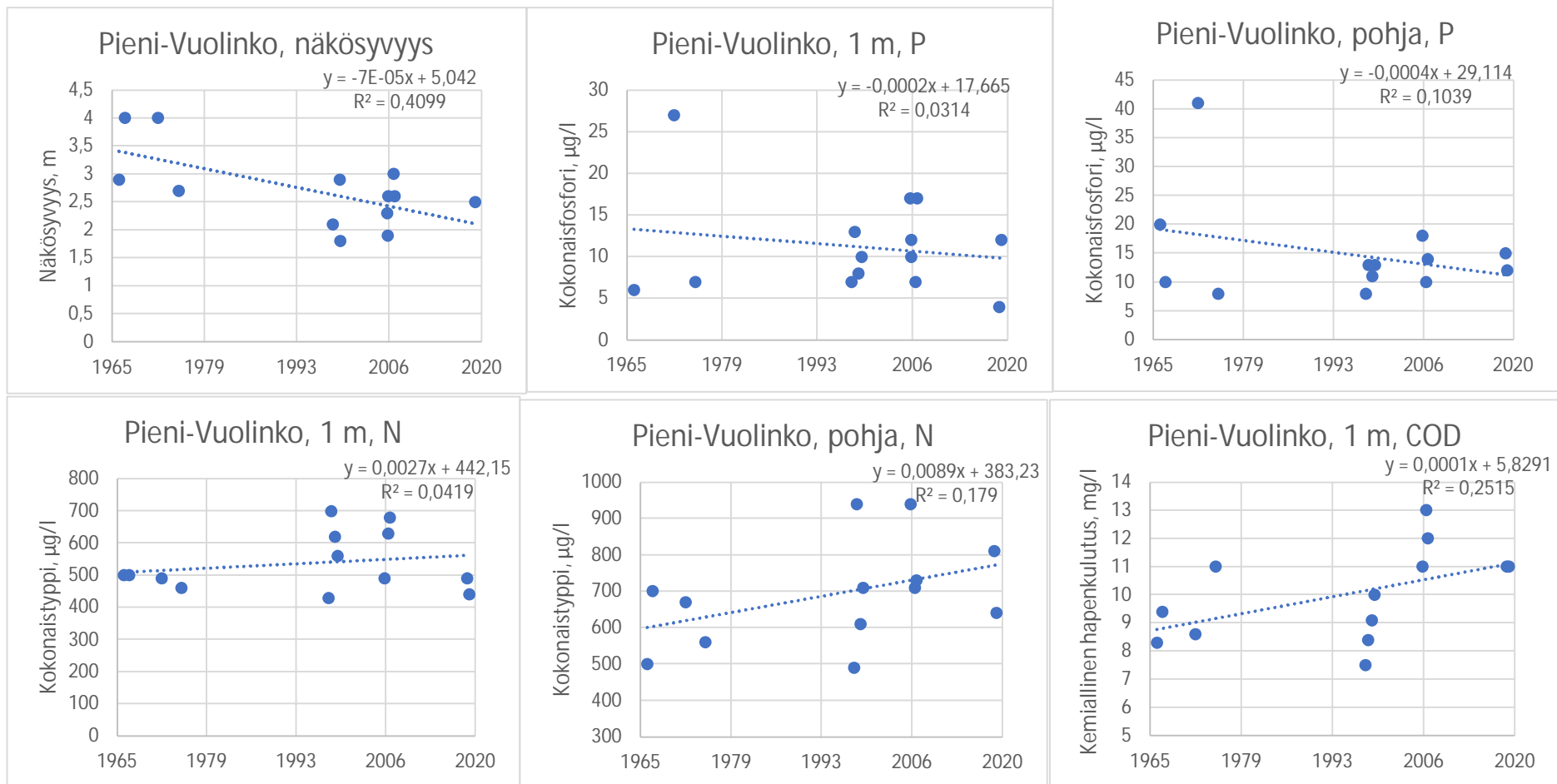


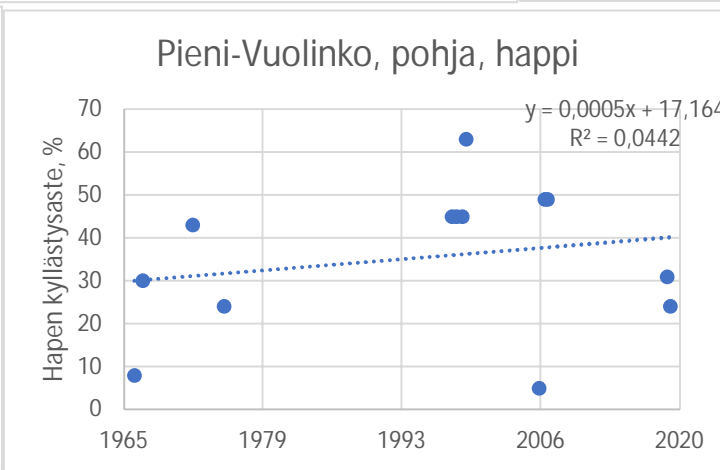
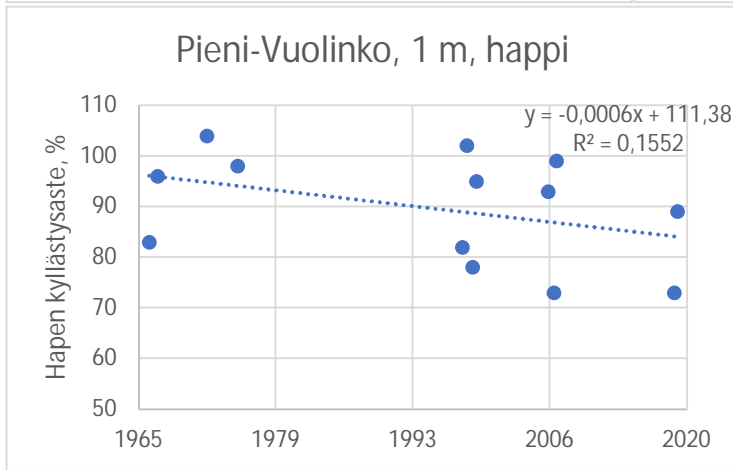
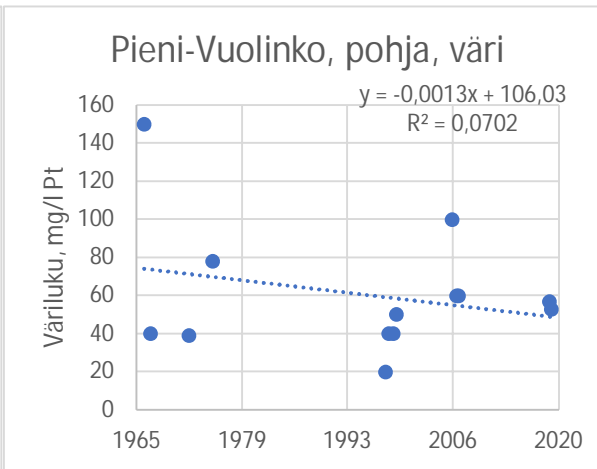
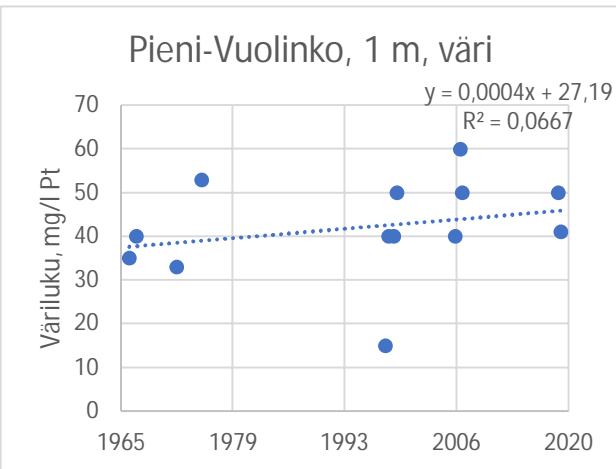
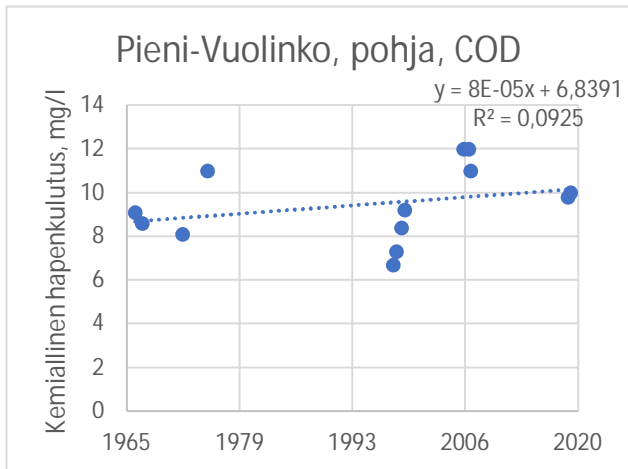


Pieni-Vuolinko

Näytteenotto on aloitettu vuonna 1966 ja viimeisimmät näytteet ovat vuosilta 2007 ja 2019. Näytteet on otettu pisteistä 018 ja 019 (ks. kuva 1).

1 m -kuvaajissa on käytetty kaikkia näytteenottokertoja yhden metrin syvyydestä ja pohja -kuvaajissa on käytetty kaikkia näytteenottokertoja noin metrin pohjan yläpuolella. Näytteenottokertoja on yhteensä 13–15 (muuttujasta riippuen), joista 2 keväällä, 2 talvella ja loput kasvukaudella.



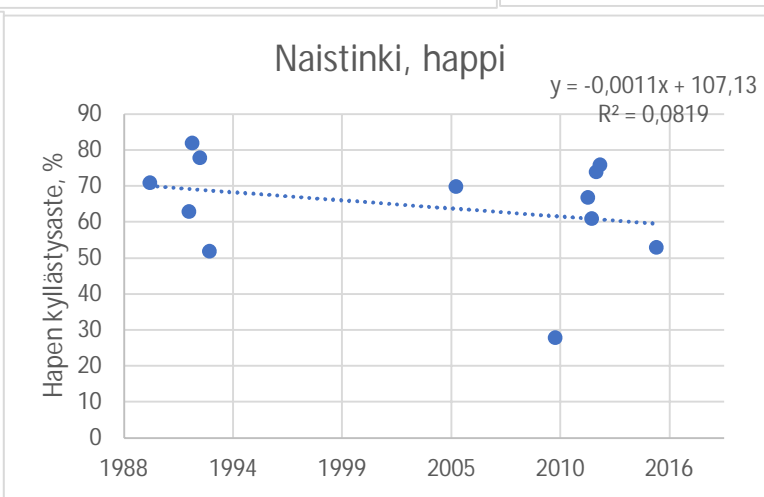
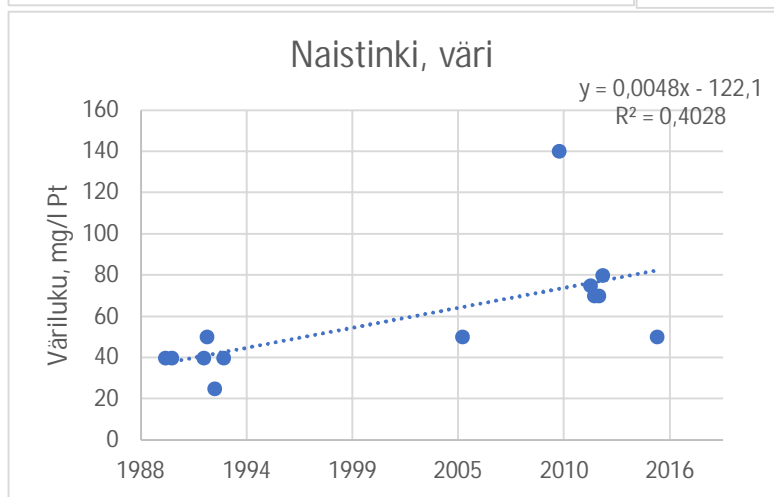
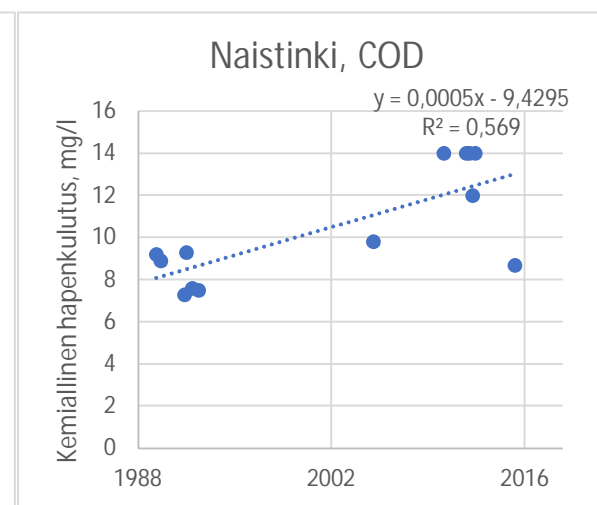
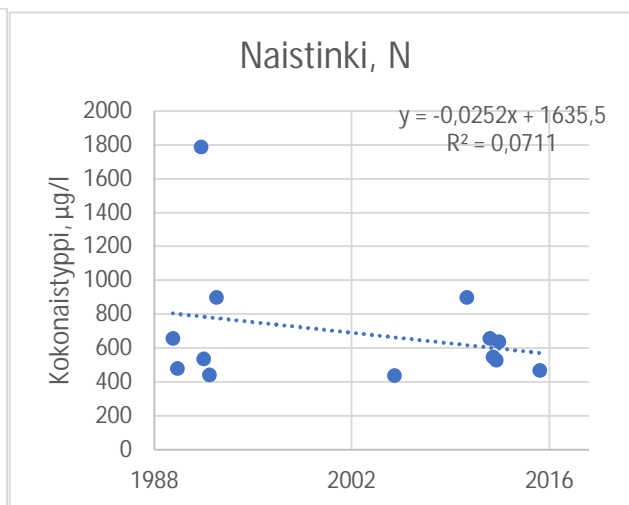
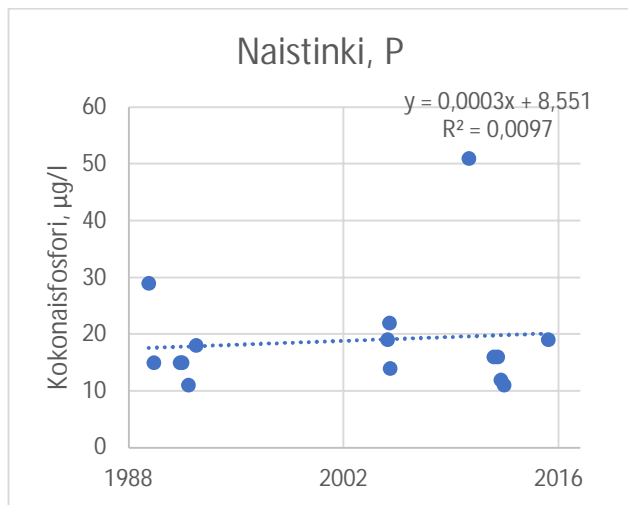


Alainen

Alaisesta on vain yksi näytteenottokerta vuodelta 1990. Mitatut arvot ovat olleet samaa luokkaa kuin läheisellä Iso-Vuolingolla. Vesistöissä tapahtunutta muutosta ei voida arvioida.

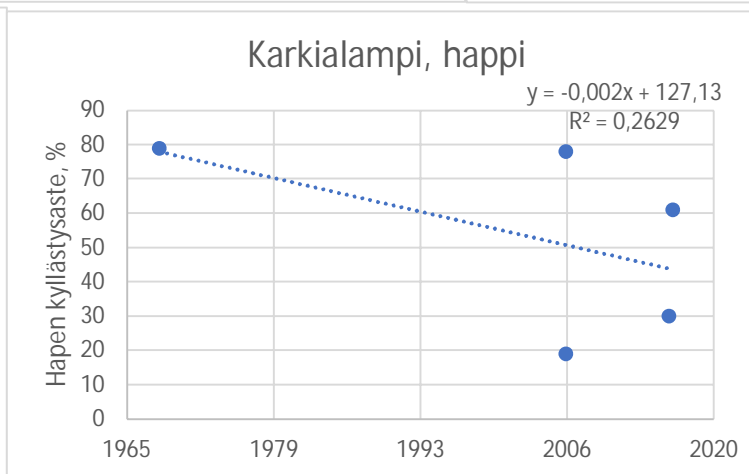
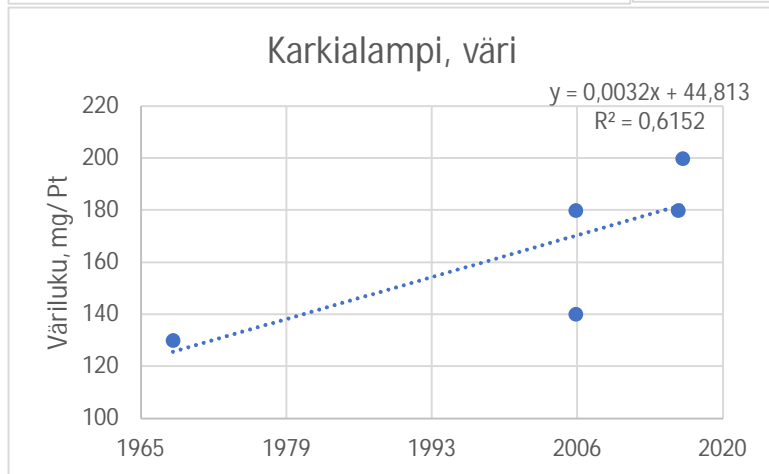
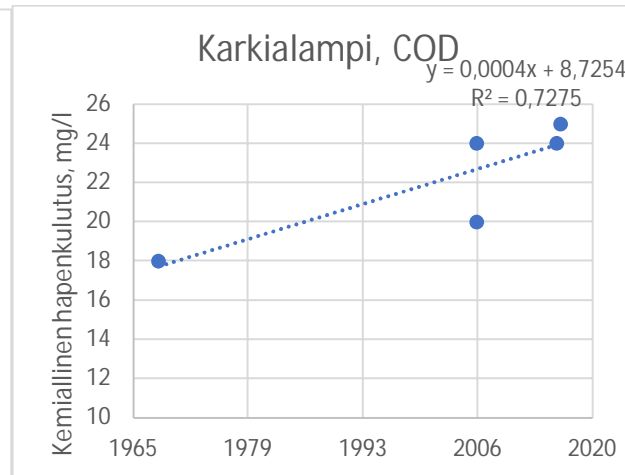
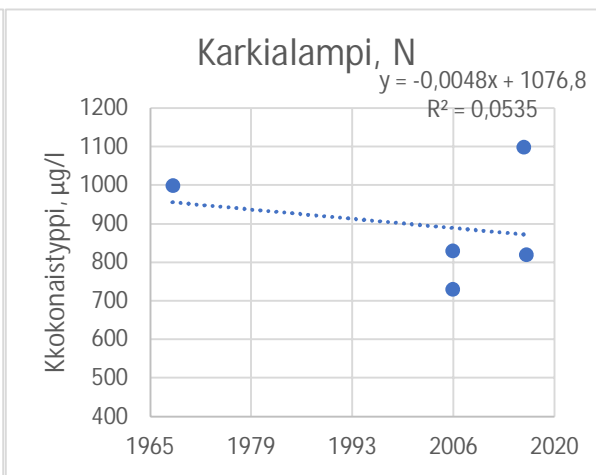
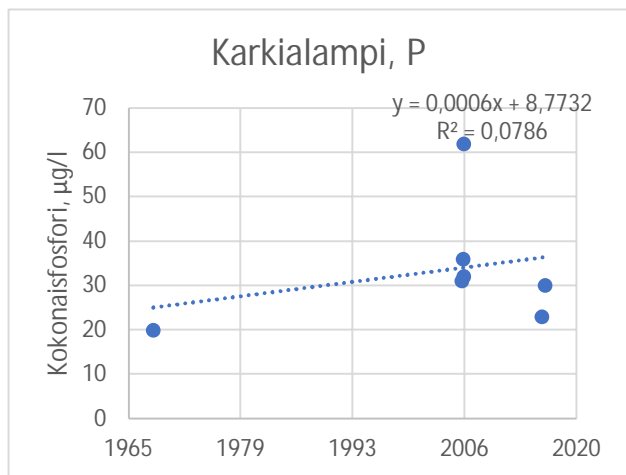
Naistinki

Näytteenotto on aloitettu vuonna 1990. Viimeisimmät Hertaan tallennetut näytteet ovat vuosilta 2012 ja 2015. Näytteet on otettu pisteistä 208, 256 ja luusua 272 (ks. kuva 1). Kuvaajissa on käytetty kaikkia näytteenottokertoja ja kaikkia syvyyksiä. Näytteenottokertoja on yhteensä 15, joista 5 kevätkaudella, 2 syyskaudella ja loput kasvukaudella. Syvyydet vaihtelevat välillä 0–0,5 m.



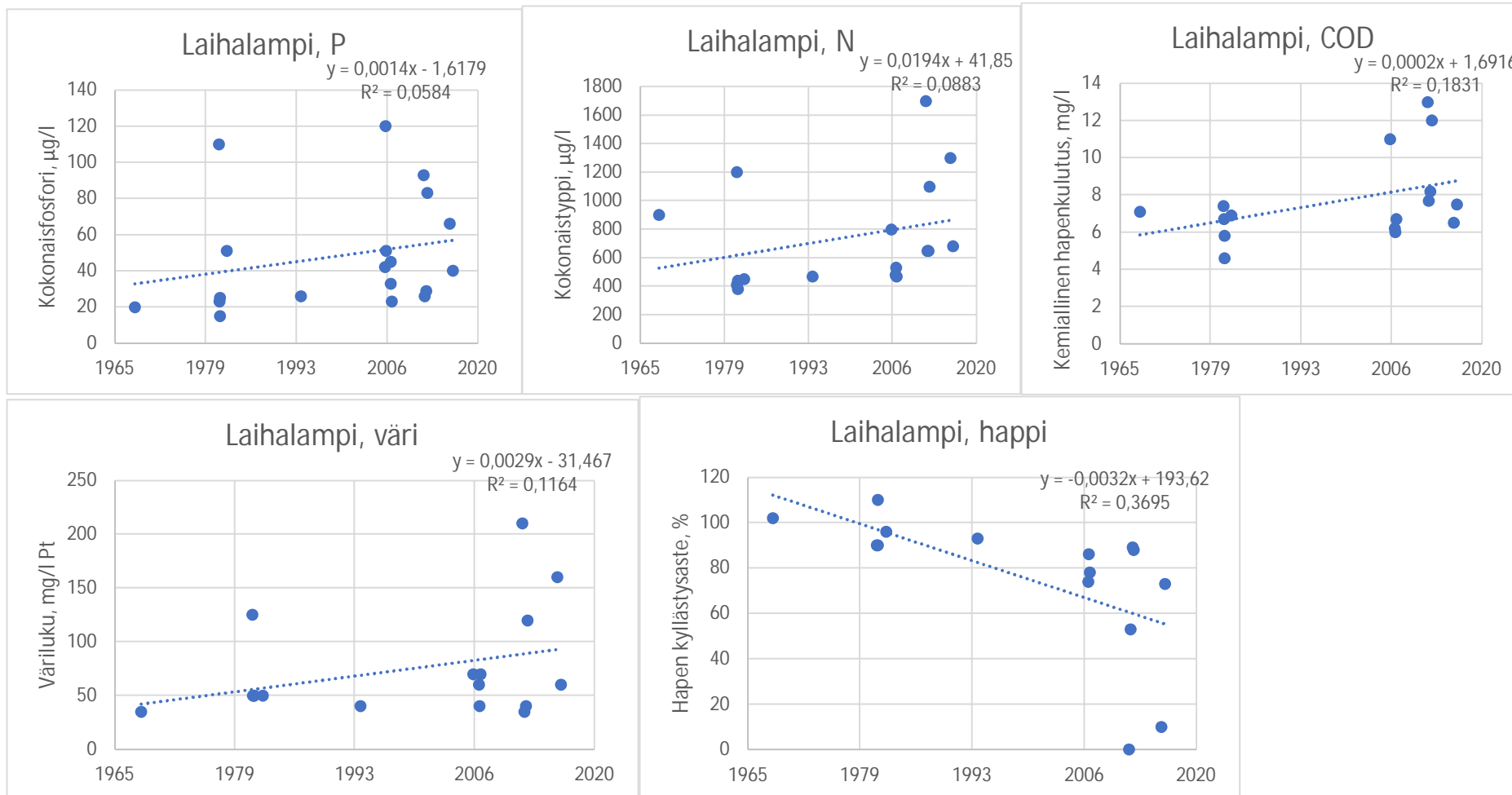
Karkialampi

Karkialammessa näytteenotto on aloitettu vuonna 1968. Seuraavat näytteet Karkialammesta on otettu 2006 ja viimeisimmät 2016. Näytteet on otettu pisteestä 025. Kuvaajissa on käytetty kaikkia näytteenottokertoja ja kaikkia syvyyksiä. Näytteenottokertoja on yhteensä 5–6, joista 1 kevätkaudella ja loput kasvukaudella. Syvyydet vaihtelevat välillä 1–2 m.



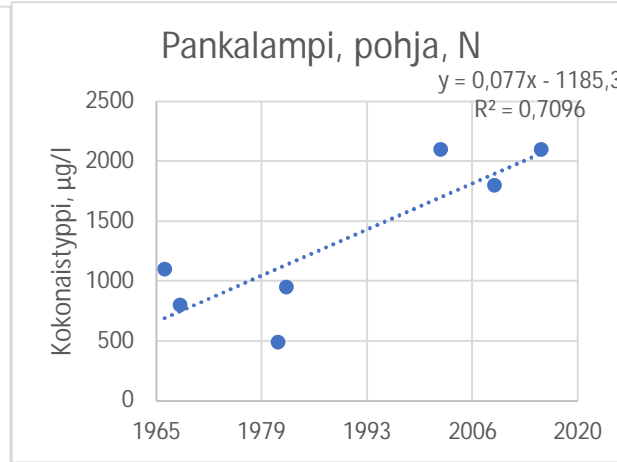
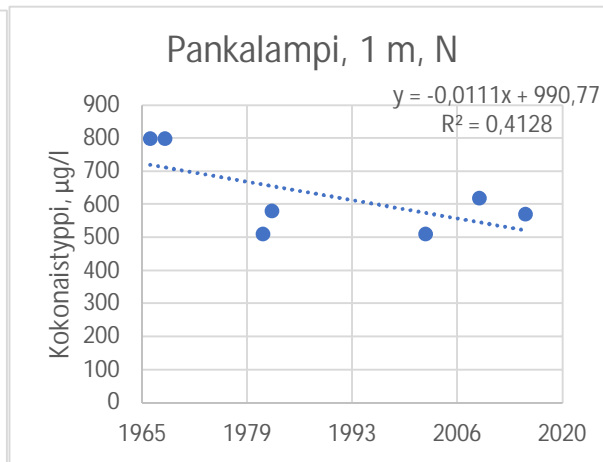
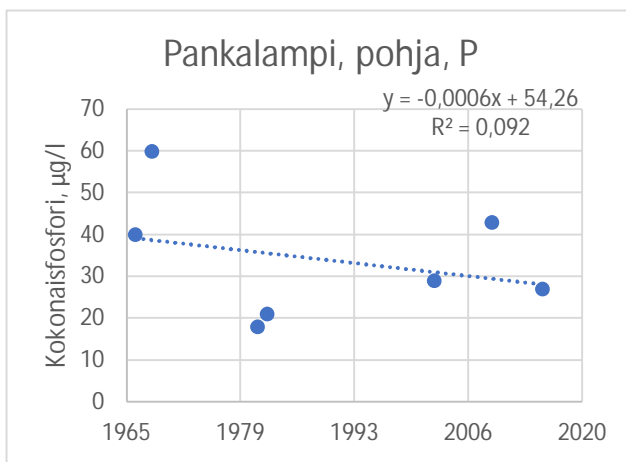
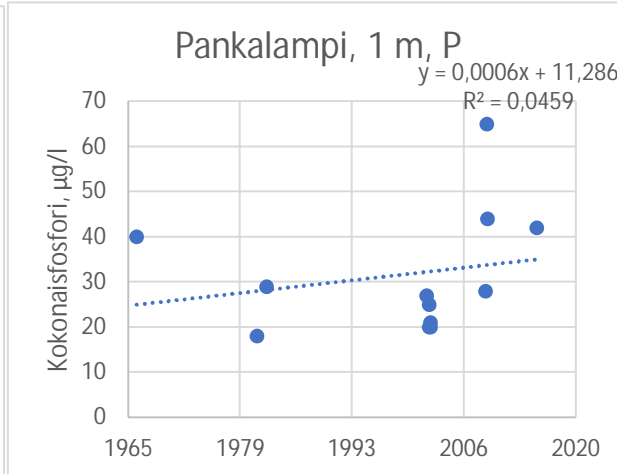
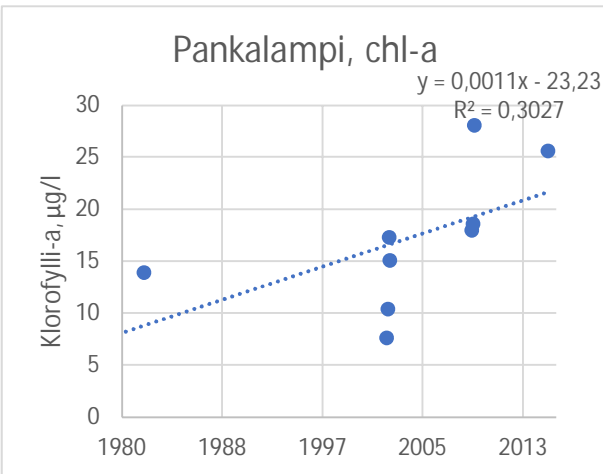
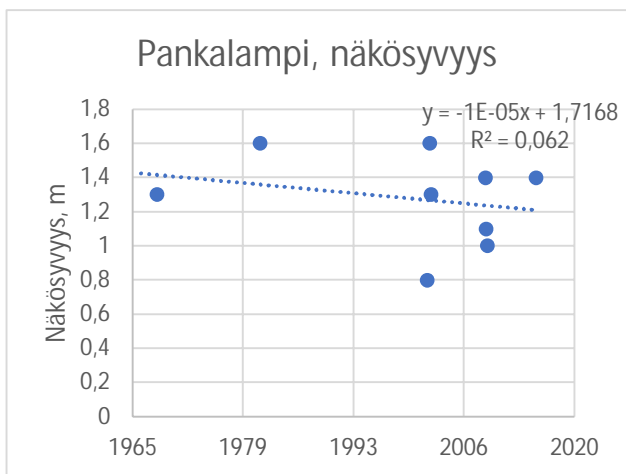
Laihalampi

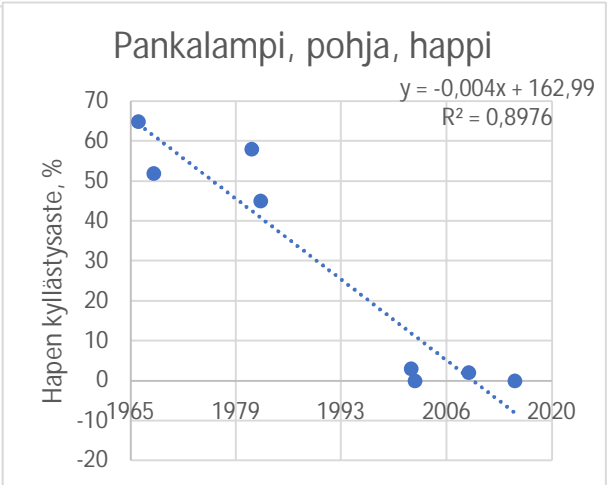
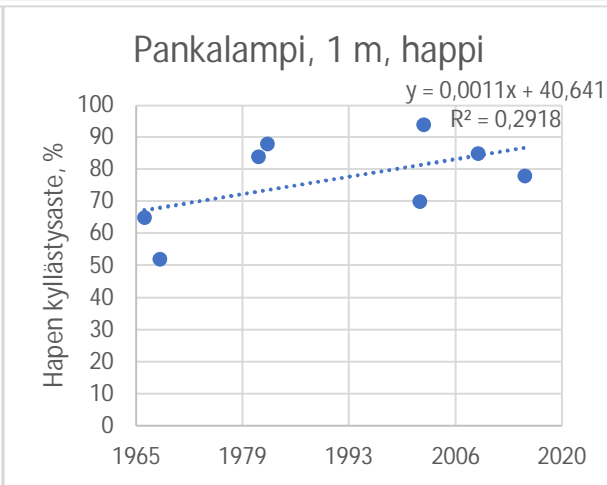
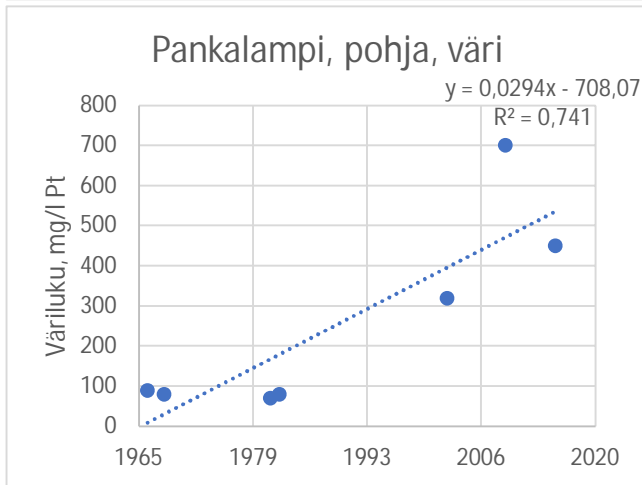
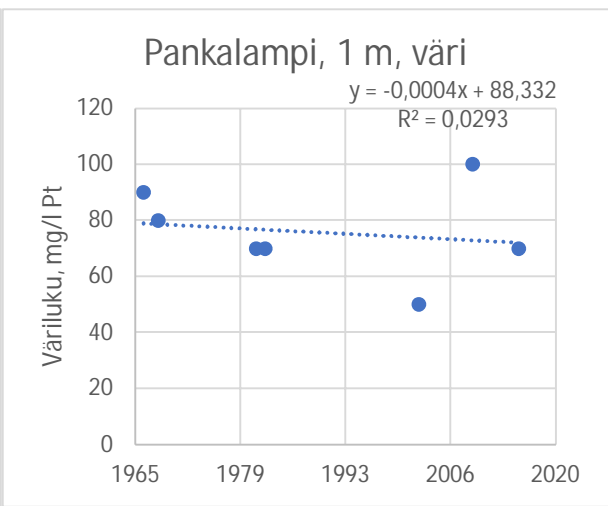
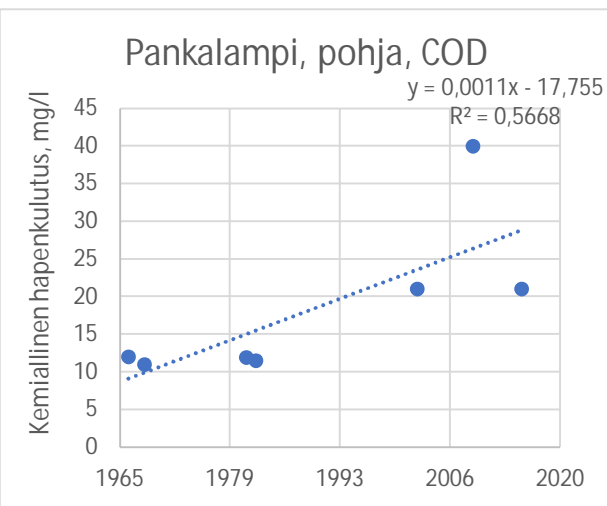
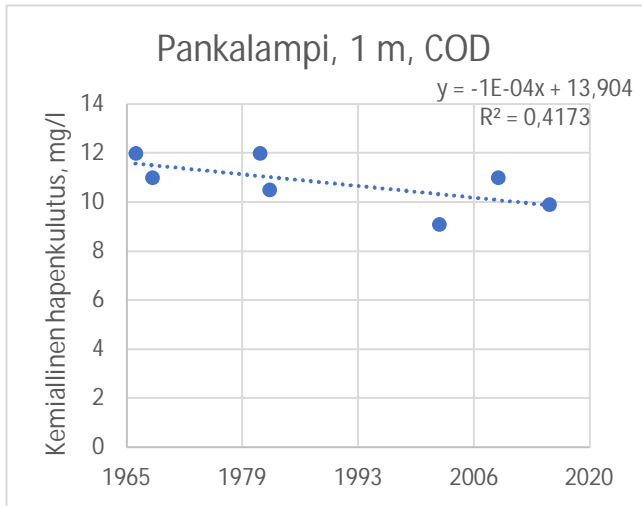
Laihalammella näytteenotto on aloitettu 1968. Viimeisimmät näytteet on otettu 2006, mutta Laihalammen luusuasta on otettu näytteitä vielä 2012 ja 2016. Happinäyteitä on 2000-luvulla saatavissa vain luusuasta. Näytteet on otettu pisteistä 030, 139 ja luusua 264 (ks. kuva 1). Kuvaajissa käytetty kaikkia näytteenottokertoja ja kaikkia syvyyksiä. Näytteenottokertoja on yhteensä 18 kpl, joista 5 kevätkaudella, 2 syyskaudella ja loput kasvukaudella. Syvyydet vaihtelevat välillä 0,1–1,0 m.



Pankalampi

Näytteenotto on aloitettu 1966. Viimeisimmät näytteet on otettu vuosina 2009 ja 2015. Näytteet on otettu pisteestä 032 (ks. kuva 1). 1 m -kuvaajissa on käytetty kaikkia näytteenottokertoja yhden metrin syvyydestä ja pohja -kuvaajissa on käytetty kaikkia näytteenottokertoja noin metrin pohjan yläpuolella. Näytteenottokertoja on yhteensä 11 kpl, joista 1 keväällä ja loput kasvukaudella. Alusveden näytteet on otettu aluksi matalammasta paikasta, myöhemmin n. 10 metrisestä syvänteestä. Tämä voi tuoda virhettä muutoksen tulkintaan.





Hanhilampi

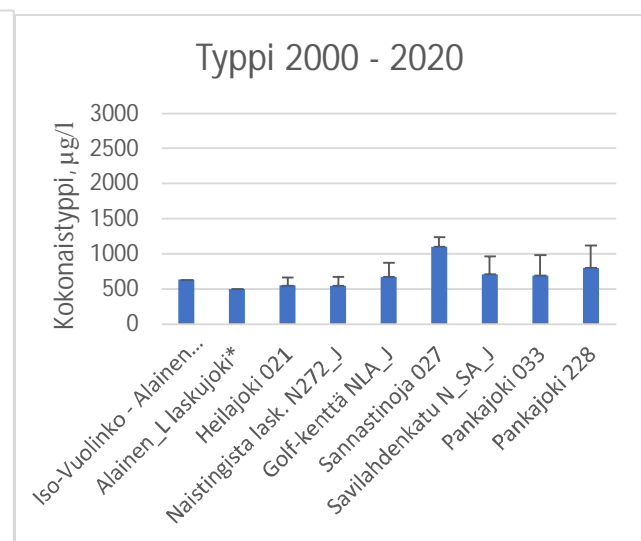
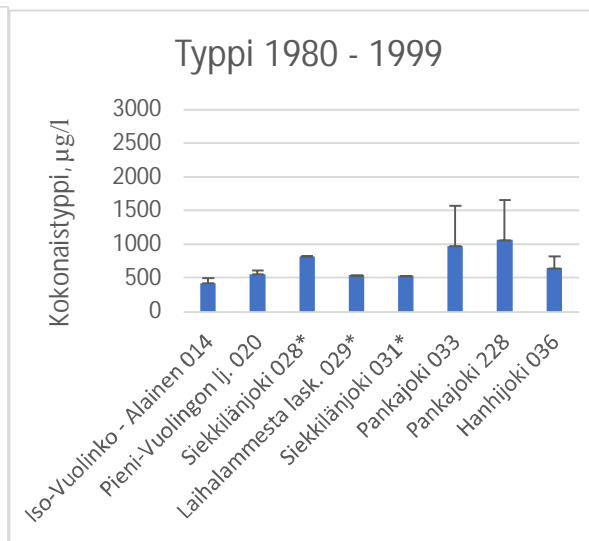
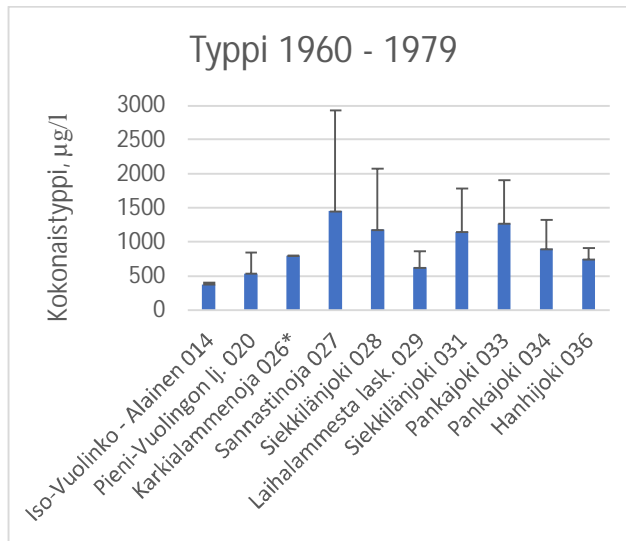
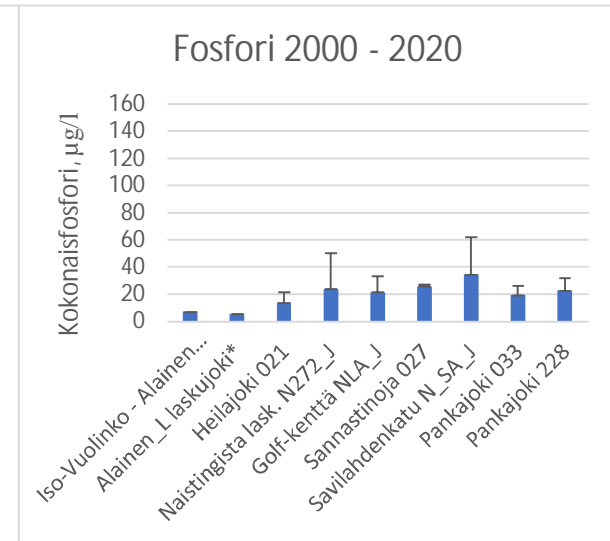
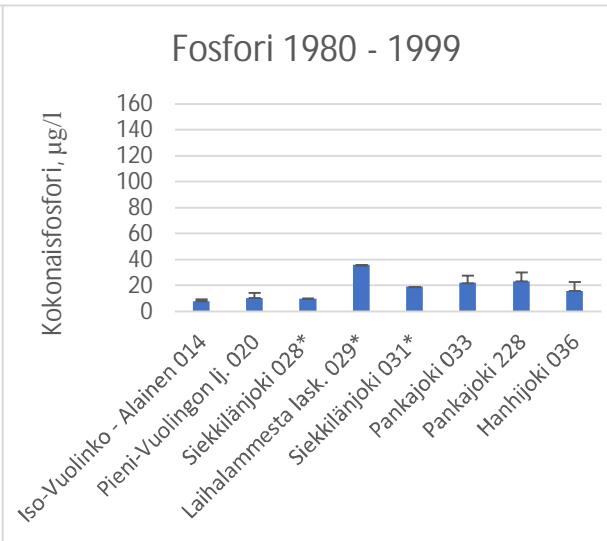
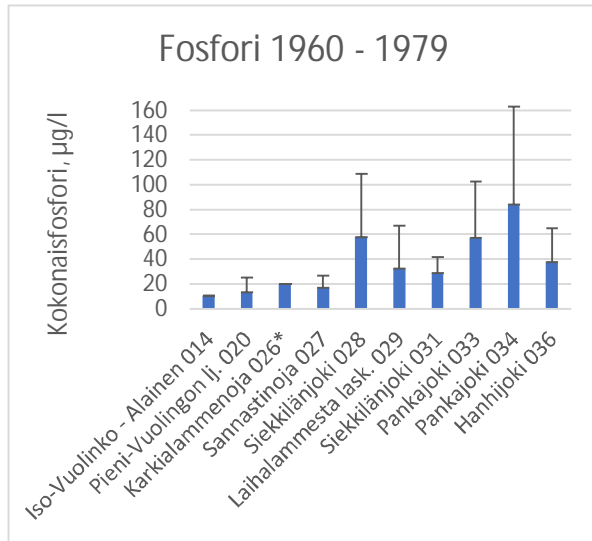
Hanhilammella näytteenotto on aloitettu vuonna 2004 ja viimeisimmät näytteet ovat vuodelta 2013.

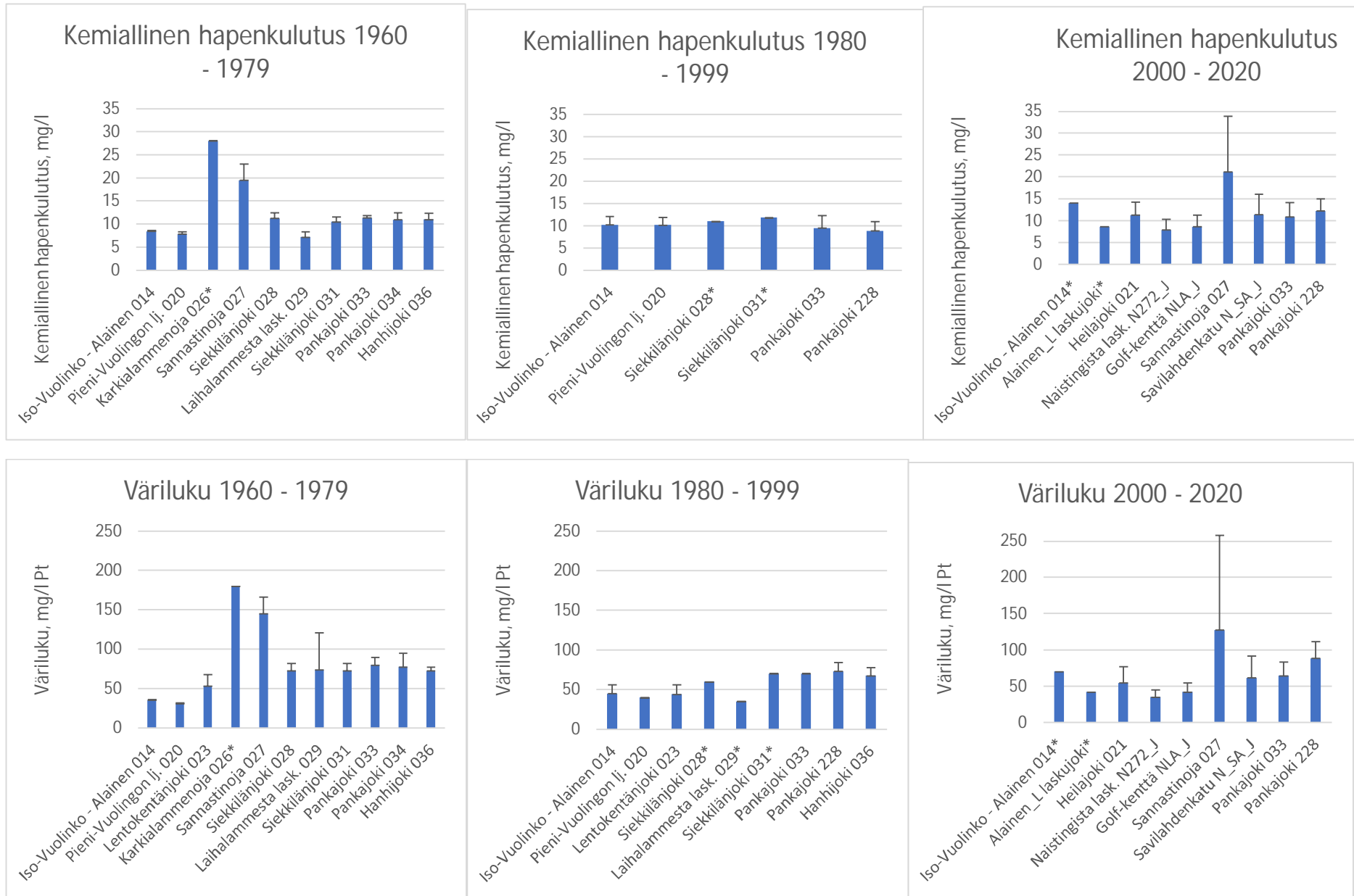
Näytteet on otettu pisteestä 327 (ks. kuva 1). Kuvaajissa käytetty kaikkia näytteenottokertoja (10 kpl, joista 3 kevätkaudella, 1 syyskaudella ja loput kasvukaudella) ja kaikkia syvyyksiä (syvyydet vaihtelevat välillä 0–0,5 m). Ravinnepitoisuuksia tai kemiallista hapenkulutusta ei ole juuri mitattu, eikä monia muitakaan veden tilaan viittaavia suureita.

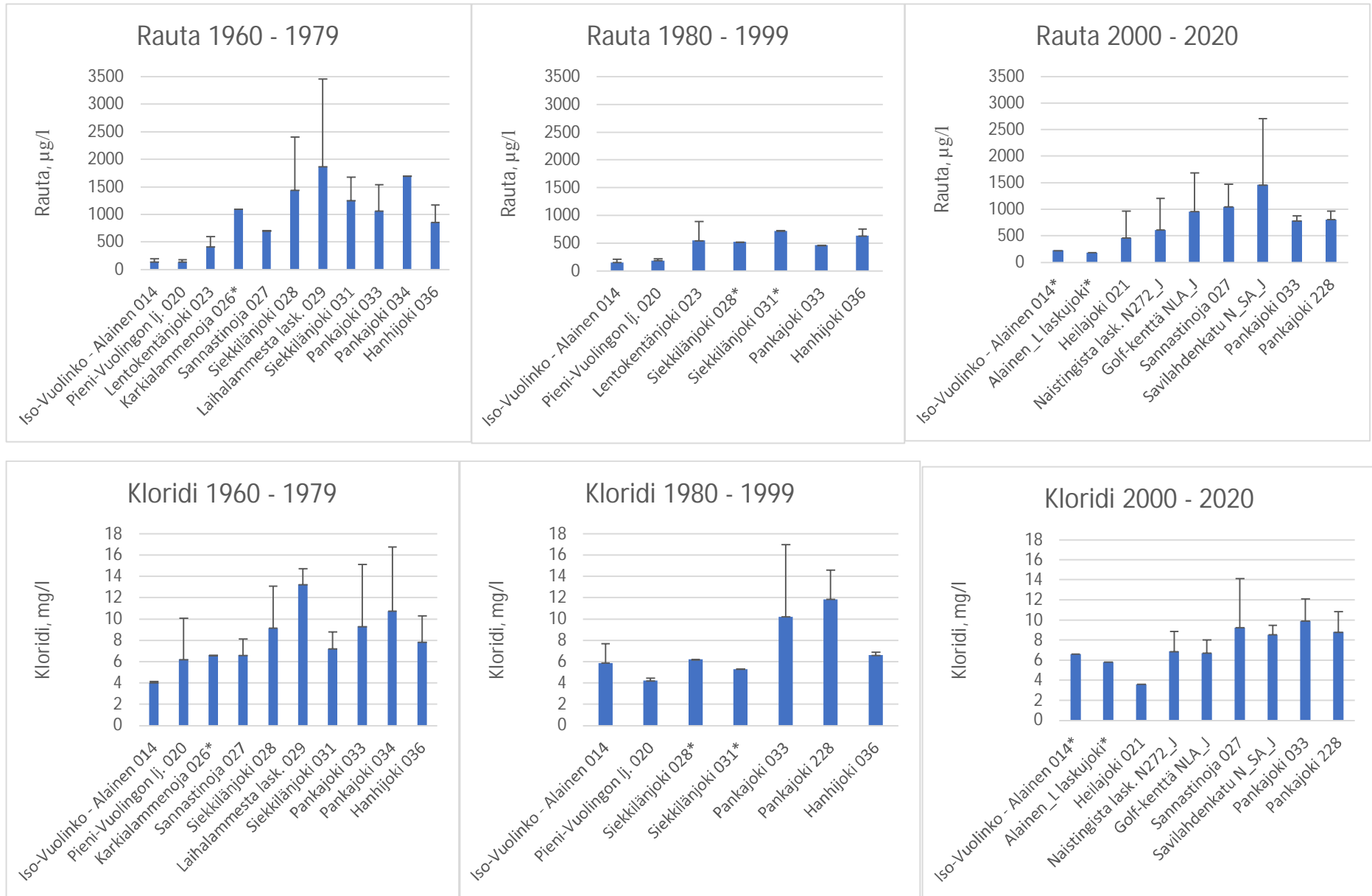
LIITE 7

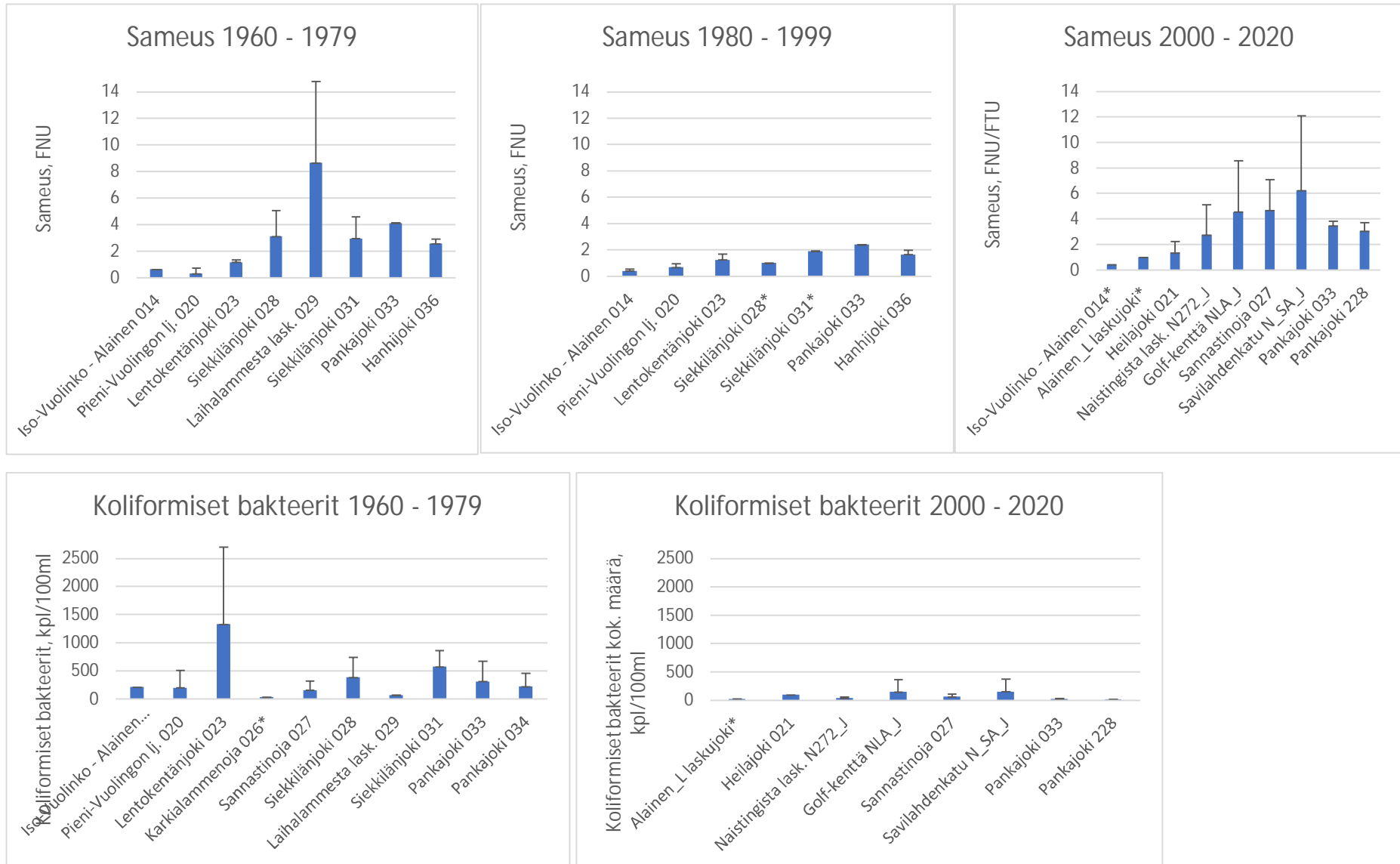
Seitsennimisen joen tilan muutos 1960–2020

Seitsennimisen joen vesinäytteistä mitattujen suureiden keskiarvot ja keskihajonnat eri vuosikymmeninä yläjuoksulta alajuoksulle päin. Aineisto on haettu Hertta – tietokannasta keväällä 2021. Vain yhden näytteenottokerran sisältävät pisteet on merkattu * -merkillä, ja niistä puuttuvat keskihajonnat. Muissa pisteissä näytteenottoja on vähintään kaksi. Mittauspaikoissa ja -ajankohdissa on vuosien välillä vaihtelua, minkä vuoksi tiukkoja johtopäätöksiä ei aineiston perusteella voida vetää. Suuruusluokkia ja muutosten suuntia voidaan kuitenkin arvioida.







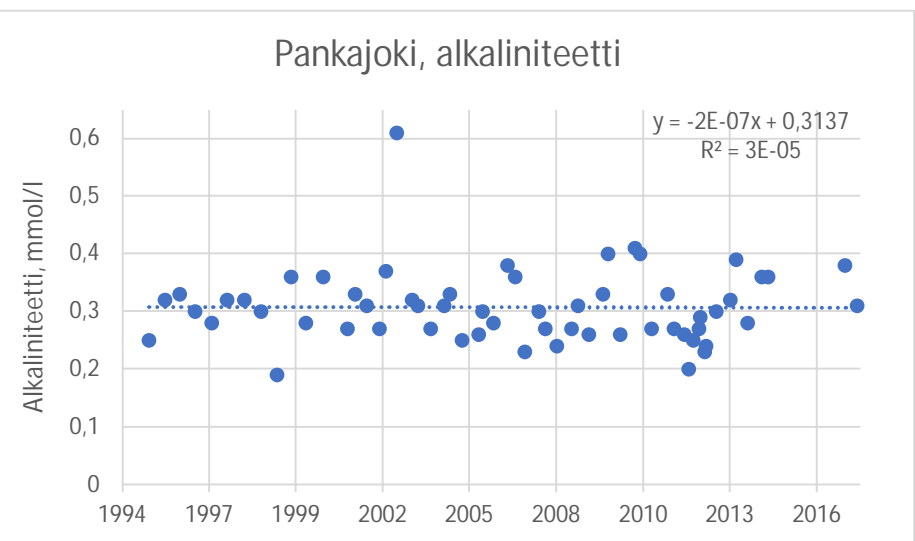
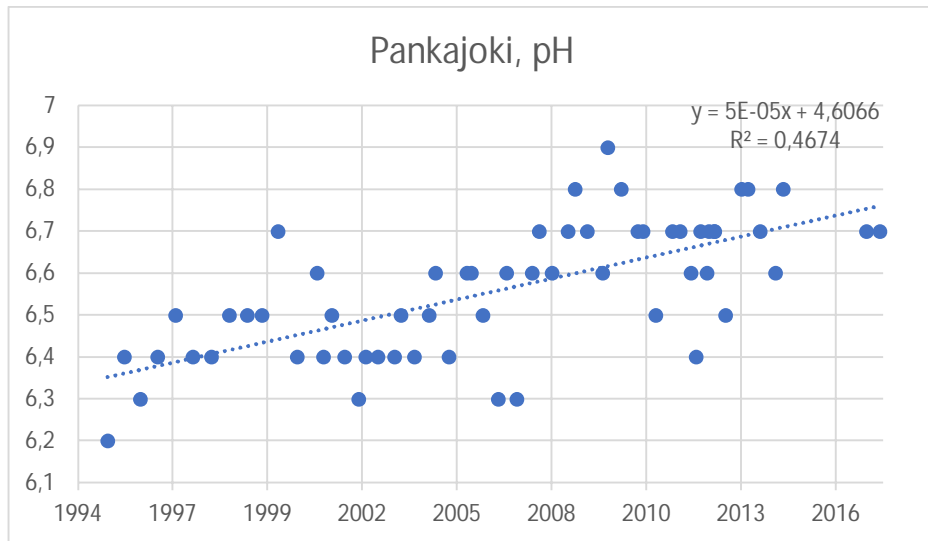
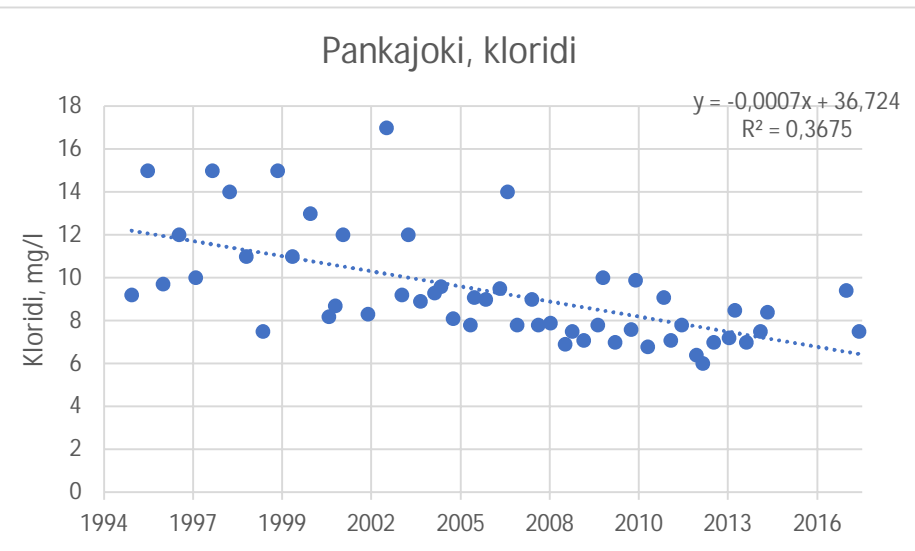
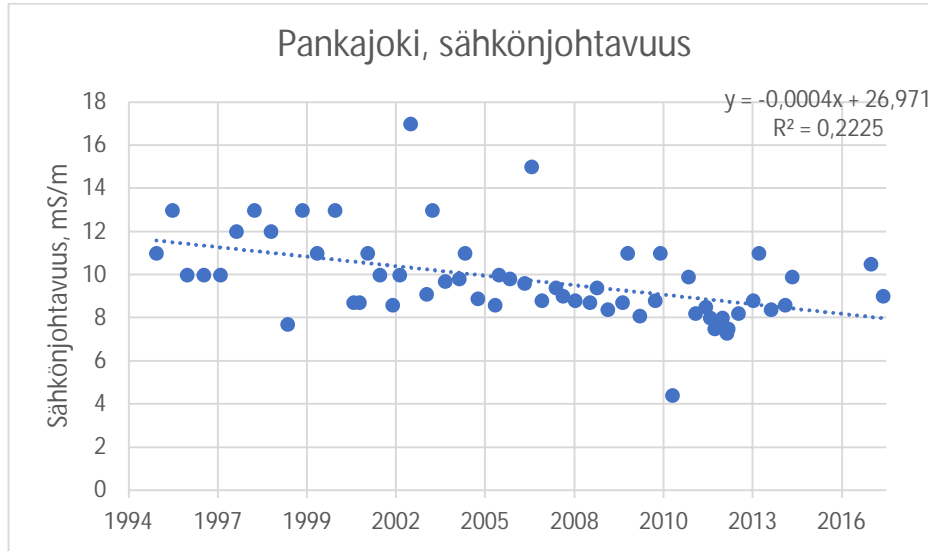


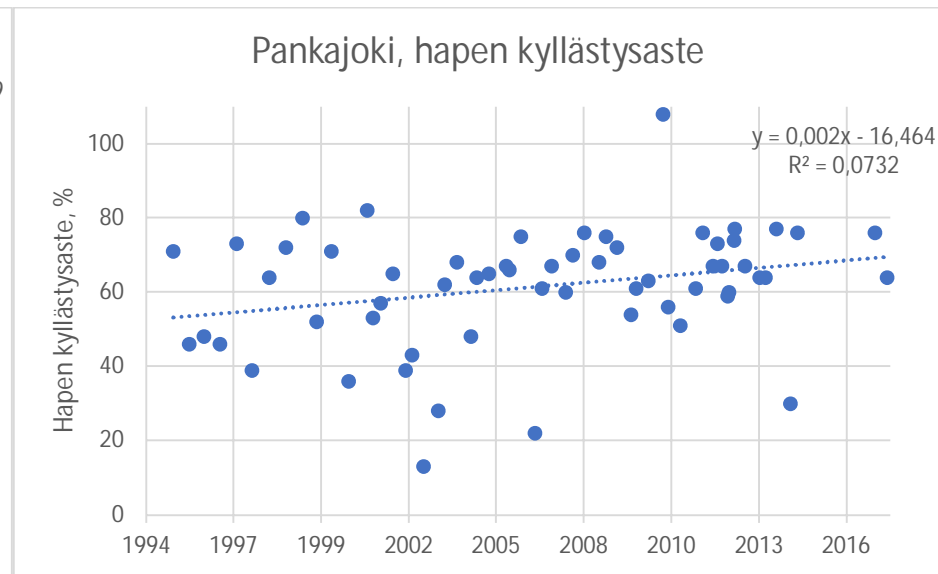
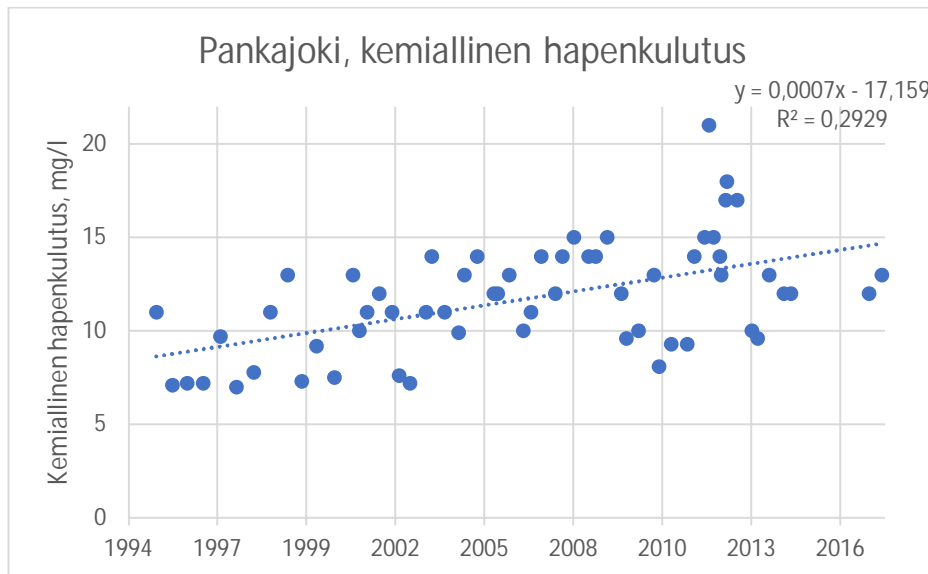
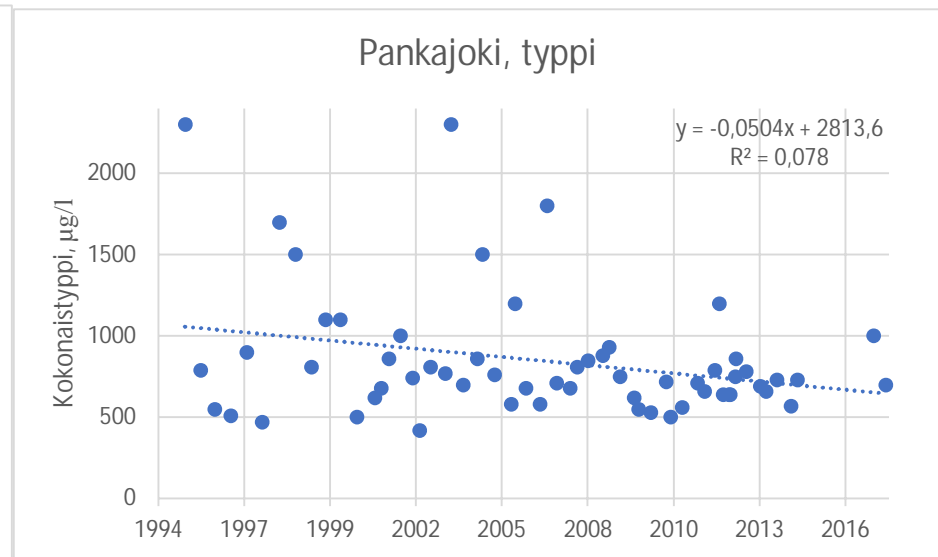
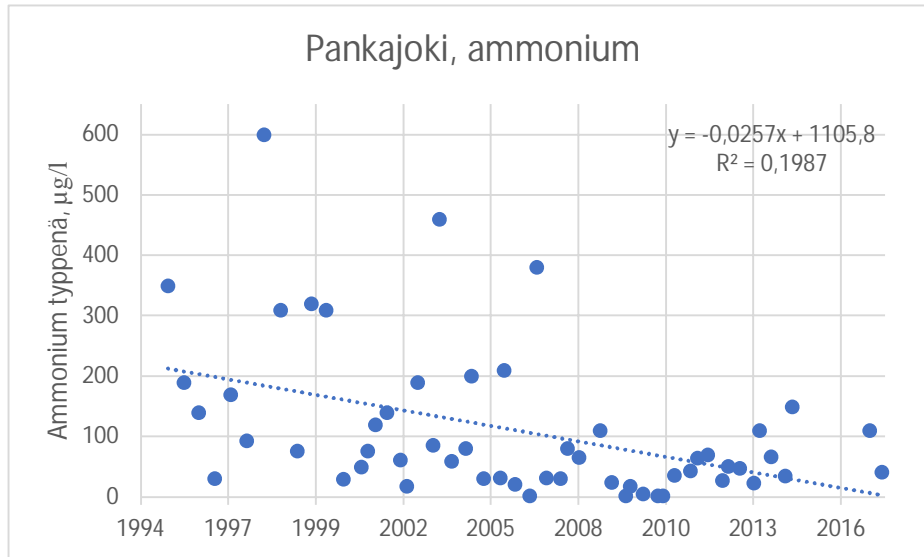
Koliformisia bakteereja on mitattu vuosina 1980–1999 vain kahdesti: 2.4.1990 Pieni-Vuolington lji. 020, jolloin koliformisia bakteereja ei löydetty sekä 11.10.1999 Pankajoki 033, jolloin niitä löydettiin 32 kpl/ 100 ml.

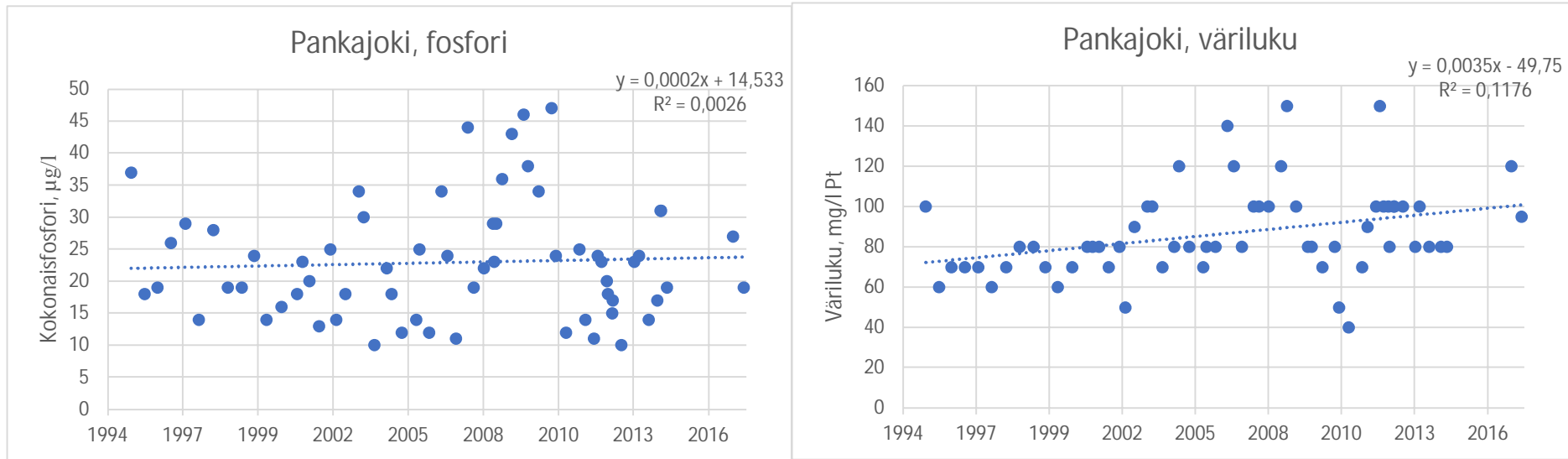
LIITE 8

Pankajoen vedenlaadun muutokset 1995–2017 (näytepiste 228)

Havaintopisteestä Pankajoki 228 on otettu näytteitä vuodesta 1995 vuoteen 2017 asti 2–6 kertaa vuodessa lähes joka vuosi. Suureesta riippuen näytteenottoja on yhteensä noin 54–64. Aineisto on haettu Hertta – tietokannasta keväällä 2021.







LIITE 9

Pankajoen vedenlaadun muutokset kausittain 1995–2017 (näytepiste 228)

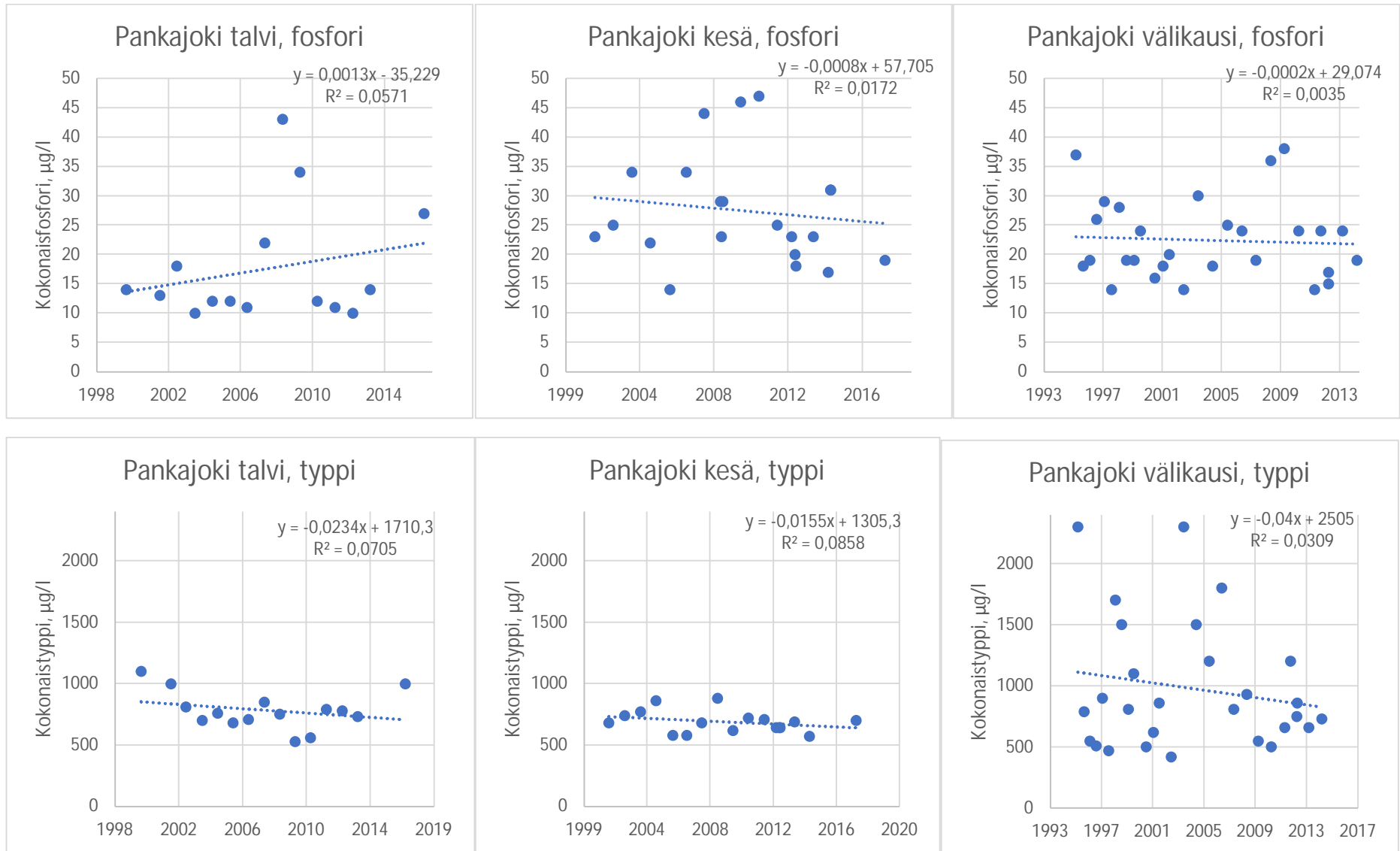
Havaintopisteestä Pankajoki 228 on otettu näytteitä vuodesta 1995 vuoteen 2017 asti 2–6 kertaa vuodessa lähes joka vuosi. Aineisto on haettu Hertta – tietokannasta keväällä 2021.

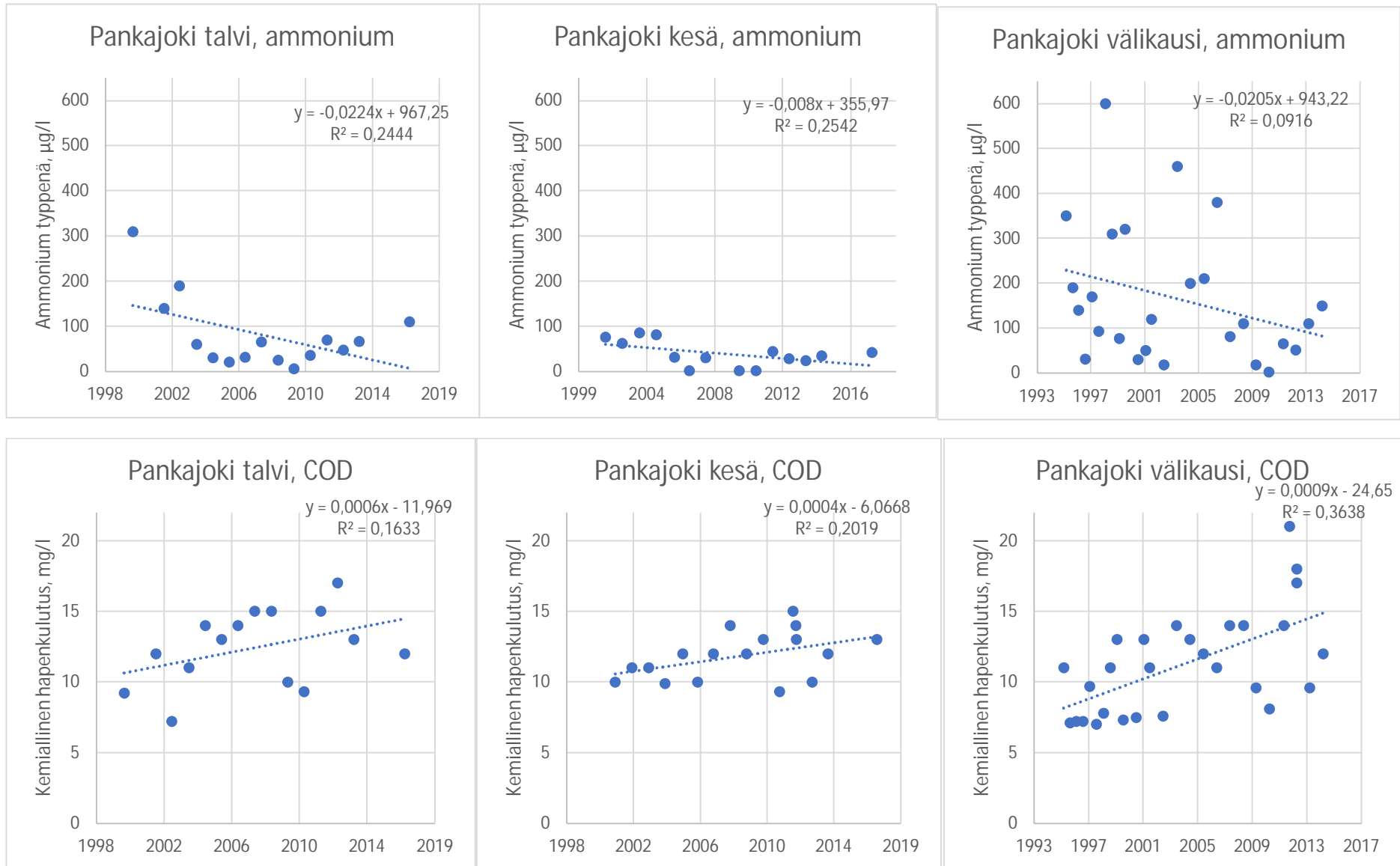
Tulokset on tarkempaa tarkastelua varten jaoteltu kausittain:

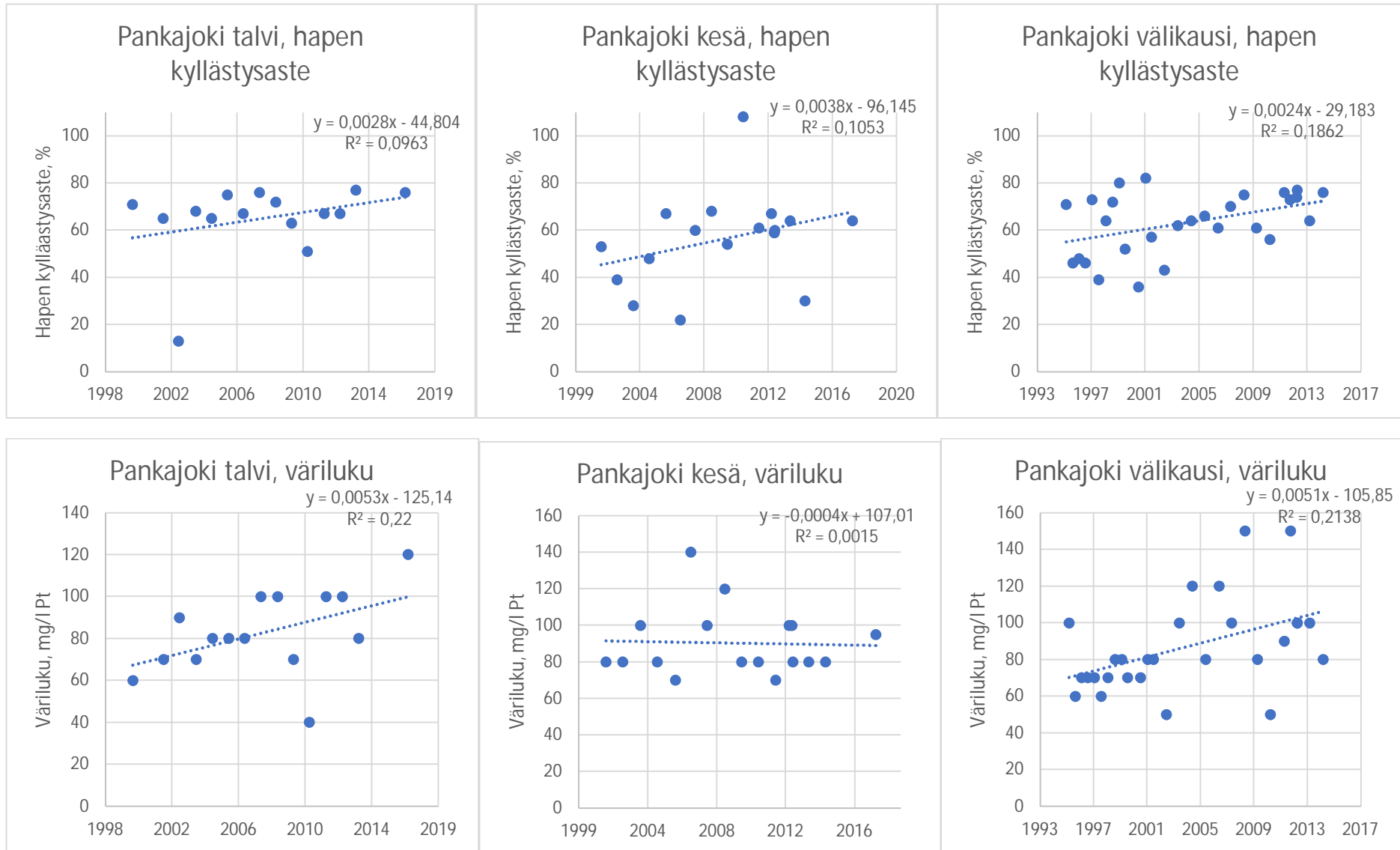
- Talvikausi sisältää näytteet helmi – maaliskuulta (joulu- ja tammikuulta ei lainkaan näytteitä),
- Kesäkausi sisältää näytteet kesä – syyskuulta ja
- Välikausi sisältää huhti – toukokuun ja loka – marraskuun näytteet.

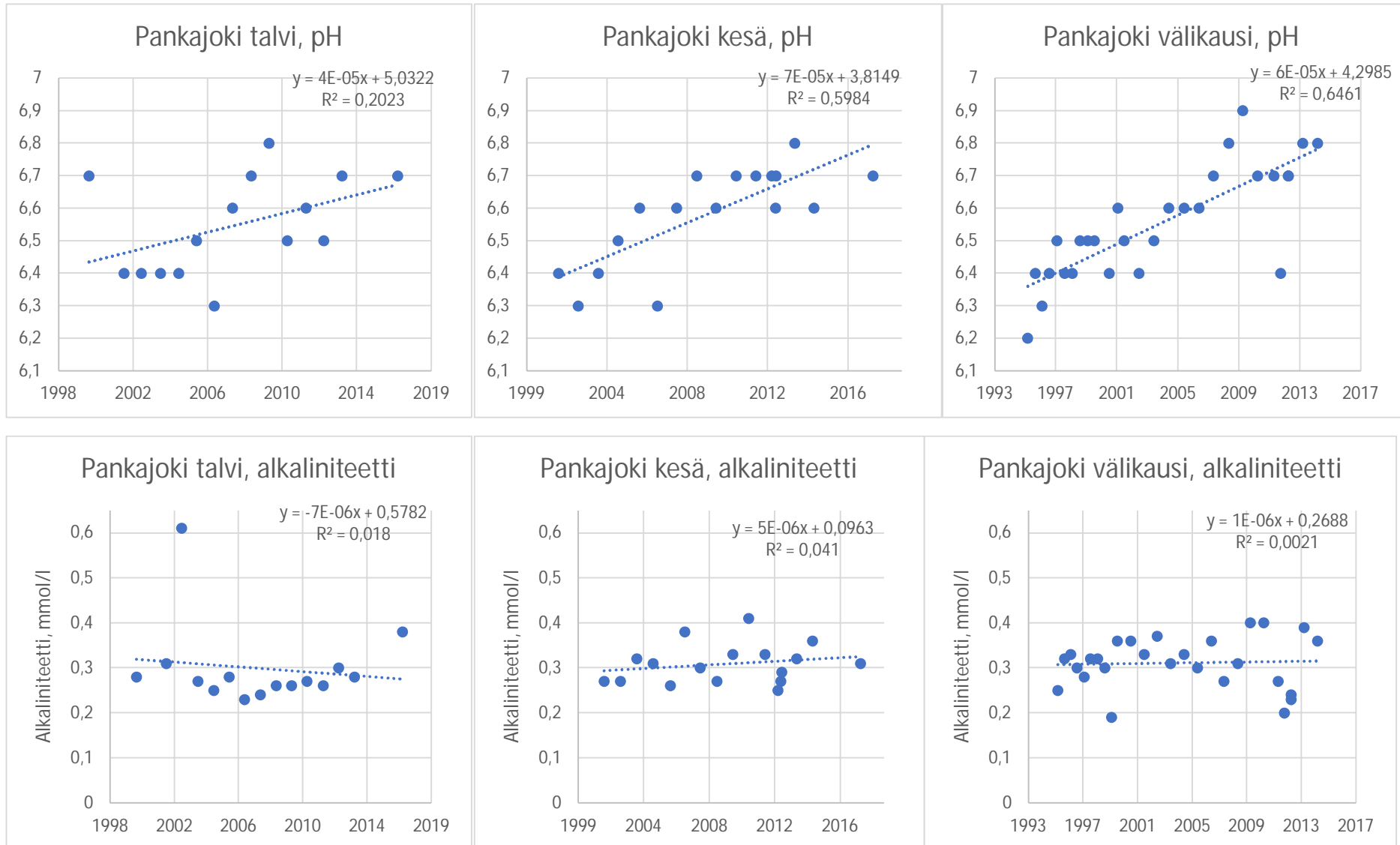
Kausittainen tarkastelu on tehty kahdesta syystä, että

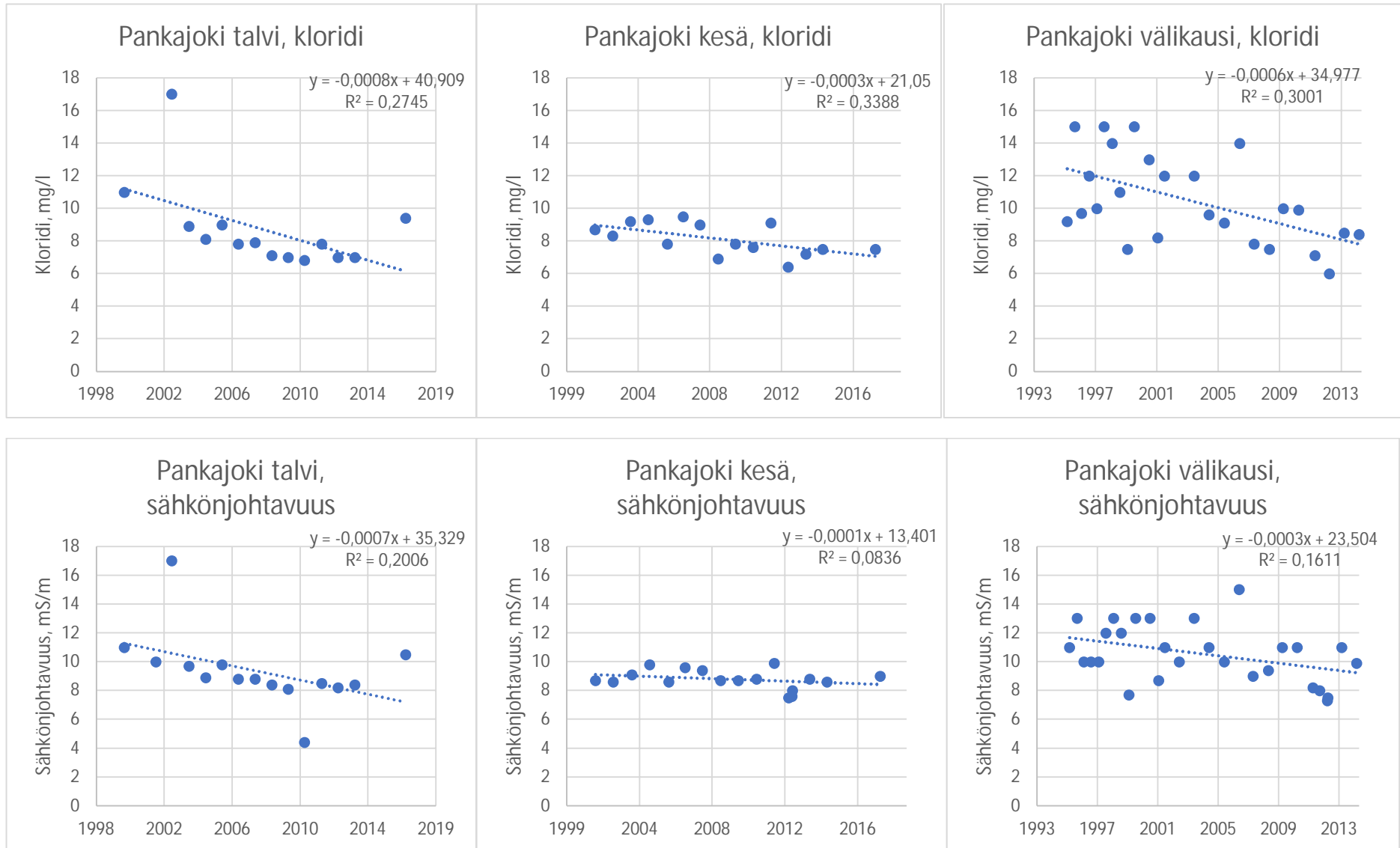
1. Näytteenoton alussa 1990 – luvulla näytteenottokerrat ovat painottuneet välikauteen, ja talvi- ja kesäkaudet ovat tulleet mukaan vasta 2000-luvun puolella. Myöhemmin taas näytteenotto on joidenkin suureiden osalta painottunut kesäkauteen. Vuodenaika vaikuttaa huuhtouman ja valunnan kautta esimerkiksi ravinteiden pitoisuuksiin, ja siten näytteenottoajankohdan muutokset voisivat näkyä tuloksissa.
2. Tarkastelulla haluttiin selvittää, eroavatko kehityssuunnat kausittain, ja näkyykö tuloksissa ilmastonmuutoksen aiheuttamaa kehitystä.











LIITE 10

Esimerkki menetelmästä pohjavedenlaadun parantamiseksi

Hanhikankaan pohjaveden laatua on ehkä mahdollista parantaa pohjavesialueella ennen veden pumppausta ylös vedenottamolle. AFRY Finland Oy on kehittänyt maaperän tehohapetustekniikan, jossa maaperään/pohjaveteen syötetään ylen määrin happea. Lisääntynyt pohjaveden happipitoisuus saa raudan ja mangaanin saostumaan kaivoalueen maaperään, mikä parantaa huomattavasti kaivojen raakaveden laatua ja helpottaa raakaveden käsittelylaitoksen puhdistusprosessia.

Hapen lisäystä maaperään voitaisiin kokeilla Ikäheimon mukaan kaivoalueen lisäksi myös Hanhikankaan pohjavesialueella esimerkiksi luomalla ns. hapetusverho, jonka läpi Hanhilammesta rantameytyvä vesi kulkisi. AFRY Finland Oy:n johtavan pohjavesiasiantuntijan Jukka Ikäheimon mukaan maaperän/pohjaveden tehohapetus olisi kaivoalueella helposti toteutettavissa ja varma lopputulokseltaan, eikä sillä ole haittavaikutuksia pohjavesialueelle tai vedenotolle. Hapetusverhon luominen Hanhilammen rantaan vaatisi lisätutkimuksia ja suurempia panostuksia mm. useita uusia vedenotto/vedenimeytys kaivopareja. Afryn luoma tehohapetustekniikka on jo käytössä mm. Pursialan pohjavesialueella tehtävässä kloorifenolipilaantumien puhdistuksessa ja lukuisilla muilla vedenottamoilla (Ikäheimo, 2021).

Mikäli tätä ratkaisua harkittaisiin vakavammin, tulisi selvittää voiko pohjaveden tehohapetuksen seurauksena sakkautuvat rauta ja mangaani tukkia pohjavedenvirtausreittejä. Toisaalta pohjavedenlaatua voitaisiin mahdollisesti parantaa myös muodostamalla tekopohjavettä vähemmän humusta sisältävästä raakavedestä esimerkiksi Iso Vuolingon vedestä. Jälkimmäinen vaihtoehto voisi tulla erityisesti kysymykseen, jos rantameytymällä muodostuvan pohjaveden määrä meinaisi ilmastonmuutoksen myötä vähentyä pitkäksi aikaa (kesän pitkittyvä kuiva jakso) ja sen laatu merkittävästi heikentyä.

Ottokaivojen toiminnan tehostaminen

Kaivoista pumpattavan pohjaveden sisältämä rauta ja mangaani saostuvat osittain jo kaivojen ympäristössä ja kaivon siivilärakenteisiin ja pumppuihin, mikä johtaa vähitellen kaivojen hyötysuhteen pienenemiseen kaivojen siivilöiden tukkeutuessa. Näitä tukkeutumia on perinteisesti poistettu happokäsittelyillä. Afry on yhdessä Maanrakennus Jokinen Oy:n kanssa tuonut Saksasta, Suomessa vielä uuden tekniikan puhdistaa kaivoja ensin tehtävää mekaanista puhdistusta täydentävällä kemiallisella puhdistuksella, epäorgaanisella suolakäsittelyllä. Käsittelyssä ei tarvita ollenkaan haitallisia happoja eikä orgaanisia aineita. Sen lisäksi, että AFRYn yhteistyökumppaneineen toteuttama käsittely on aiempaa turvallisempi, sen on todettu parhaimmillaan lisäävän kaivojen ominaisainepitoisuutta jopa 900 % (Ikäheimo, 2021).

Lähde

Ikäheimo, Jukka 2021. Johtava pohjavesiasiantuntija. AFRY Finland Oy. [puhelinhaastattelu 28.5.2021]

TALOUSVEDEN LAATU VUONNA 2020

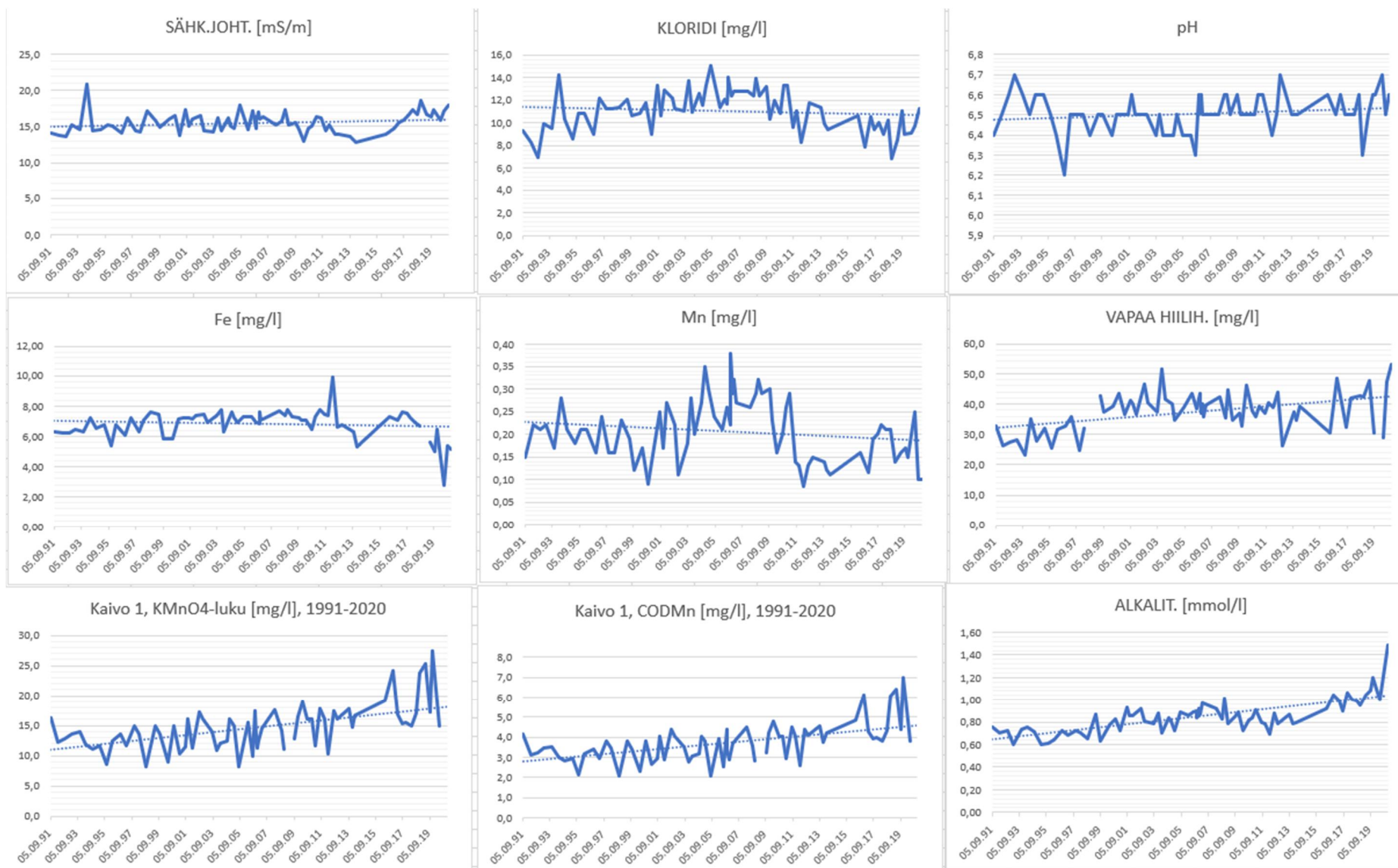
| Analyysi | Mikkelin verkosto | Tuukkalan verkosto | Anttolan verkosto | Haukivuoren verkosto | Ristiinan verkosto | Suomenniemen verkosto | V=vaatimus T=tavoite | Talovesiasetus (1352/2015) |
|---|-------------------|--------------------|-------------------|----------------------|--------------------|-----------------------|-------------------------|----------------------------|
| <i>Escherichia coli</i> (pmy/100 ml) | 0 | 0 | 0 | 0 | 0 | 0 | V | 0 pmy/ 100 ml |
| Koliformiset bakteerit (pmy/100 ml) | 0 | 0 | 0 | 0 | 0 | 0 | T | 0 pmy/ 100 ml |
| Pesäkkeiden lukumäärä (22 °C) (pmy/100 ml) | ei muutoksia | ei muutoksia | ei muutoksia | ei muutoksia | ei muutoksia | ei muutoksia | T | ei epätavallisia muutoksia |
| <i>Clostridium perfringens</i> , itiöt mukaan lukien (pmy/100 ml) | 0 | – | 0 | – | – | – | T | 0 pmy/ 100 ml |
| Enterokokit (pmy/100 ml) | 0 | 0 | 0 | – | 0 | – | V | 0 pmy/ 100 ml |
| Haju | ei muutoksia | ei muutoksia | ei muutoksia | ei muutoksia | ei muutoksia | ei muutoksia | T | ei epätavallisia muutoksia |
| Maku | ei muutoksia | ei muutoksia | ei muutoksia | ei muutoksia | ei muutoksia | ei muutoksia | T | ei epätavallisia muutoksia |
| Sameus | ei muutoksia | ei muutoksia | ei muutoksia | ei muutoksia | ei muutoksia | ei muutoksia | T | hyväksyttävissä |
| Väri (mg Pt/l) | <5 | <5 | <5 | <5 | <5 | <5 | T | ei epätavallisia muutoksia |
| pH | 8,3 | 8,3 | 8,1 | 7,7 | 7,8 | 7,4 | V/T | 6,5 - 9,5 |
| Sähkönjohtavuus (µS/m) | 225 | 383 | 252 | 119 | 139 | 180 | T | < 2500 µS/cm |
| Rauta (µg/l) | 51 | <10 | 23 | <10 | 76 | 22 | T | < 200 µg/l |
| Mangaani (µg/l) | 1 | <1 | <1 | <1 | 2,4 | <1 | T | < 50 µg/l |
| Hapettuvuus (COD _{Mn}) mg/l | 1,5 | 0,8 | 1,2 | 0,5 | <0,50 | <0,50 | T | < 5,0 mg/l |
| Alumiini (µg/l) | 7 | 0 | 0 | 0 | 5,8 | 22 | T | < 200 µg/l |
| Ammonium (mg/l) | 0 | 0 | 0 | 0 | 0 | 0 | T | < 0,50 mg/l |
| Arseeni (µg/l) | 0 | 0 | 0 | 0 | 0 | 0 | V | 10 µg/l |
| Elohopea (µg/l) | 0 | 0 | 0 | 0 | 0 | 0 | V | 1,0 µg/l |
| Fluoridi (mg/l) | 0,1 | 0,1 | 0,2 | <0,1 | <0,1 | 0,45 | V | 1,5 mg/l |
| Kadmium (µg/l) | 0 | 0 | 0 | 0 | 0 | 0 | V | 5,0 µg/l |
| Kloridi (mg/l) | 15 | 13 | 18 | 1 | 3,4 | 3,1 | T | < 250 mg/l |
| Kromi (µg/l) | 0 | 0 | 0 | 0 | 0 | 0 | V | 50 µg/l |
| Kupari (mg/l) | 0 | 0 | 0 | 0,04 | 0,02 | 0,01 | V | 2,0 mg/l |
| Lyijy (µg/l) | 0 | 0 | 0 | 0,16 | 0,1 | 0,18 | V | 10 µg/l |
| Natrium (mg/l) | 9 | 24 | 11 | 23 | 21 | 3,4 | T | < 200 mg/l |
| Nikkeli (µg/l) | 1 | 0 | 1 | 0,3 | 0,77 | 0,34 | V | 20 µg/l |
| Nitraatti (mg/l) | <1 | <1 | <1 | <1 | 4 | <1 | V | 50 mg/l |
| Nitriitti (mg/l) | 0 | 0 | 0 | 0 | 0 | 0 | V | 0,50 mg/l |
| Sulfaatti (mg/l) | 37 | 46 | 40 | 11 | 8 | 14 | T | < 250 mg/l |

Talovesien laatua tutkitaan talovesiasetuksen (1352/2015) mukaisen ja terveysuojeluviranomaisen hyväksymän valvontatutkimusohjelman edellyttämällä tavalla.

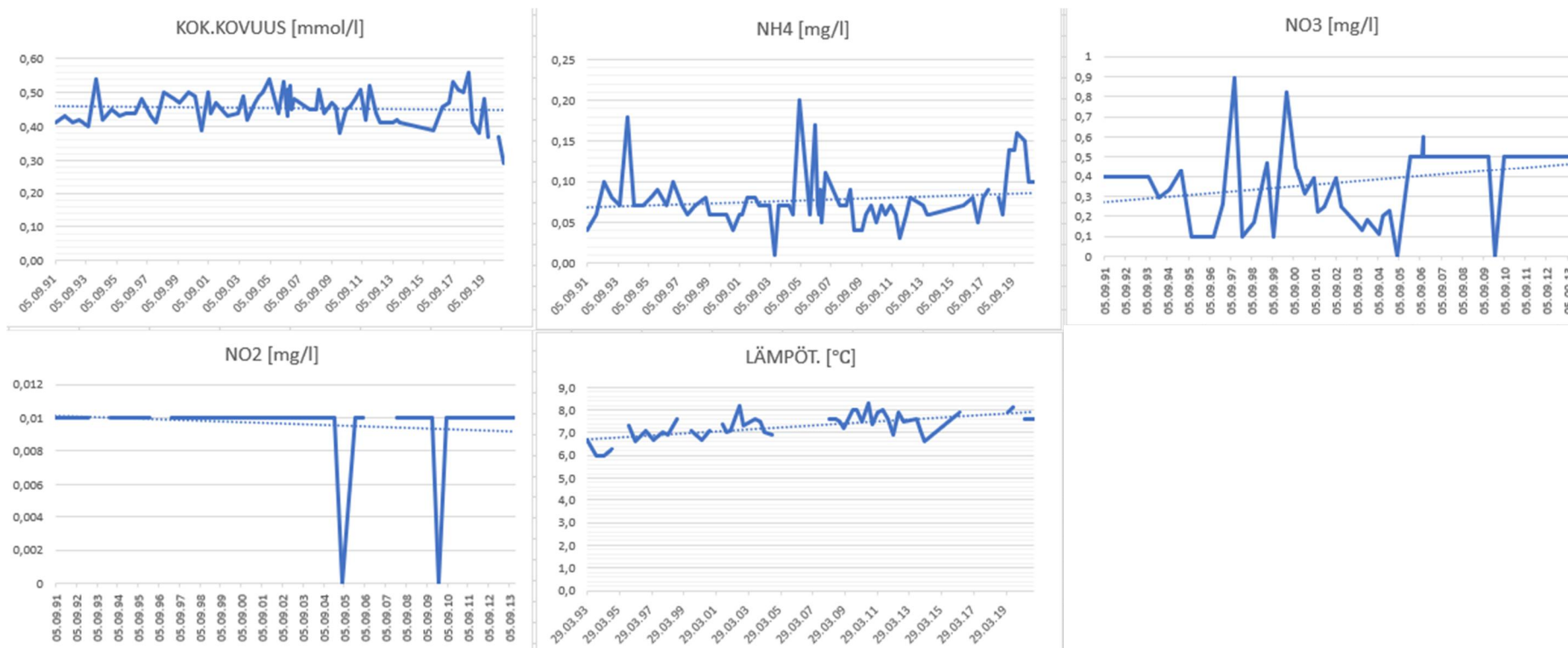
Tutkittavien analyysien määrä vaihtelee vuosittain. Kaikkia analyysejä ei tarvitse tehdä joka vuosi.

LIITE 12

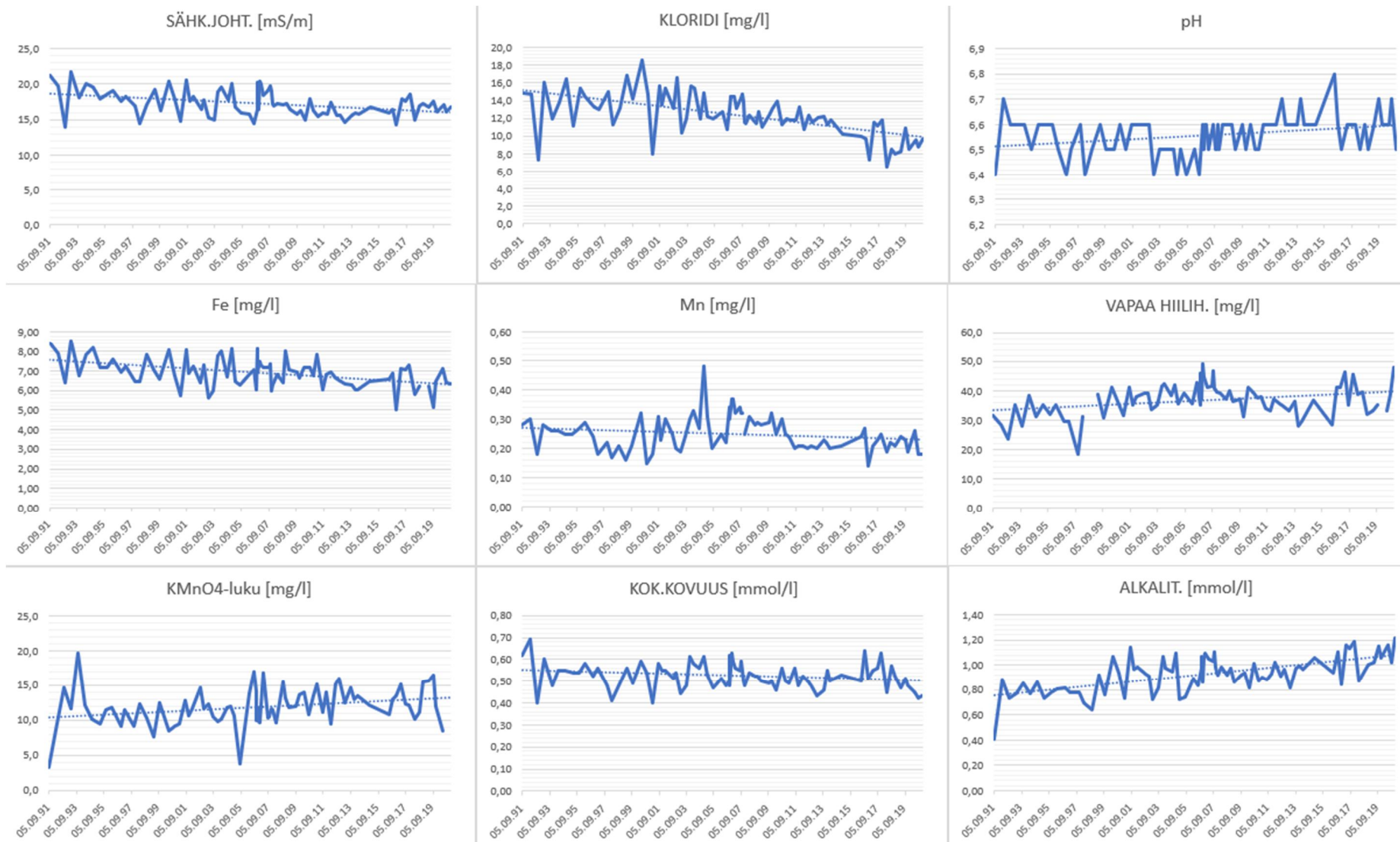
Vedenottamon kaivosta nro 1 mitattujen suureiden kehitys ajanjaksolla 1991-2019



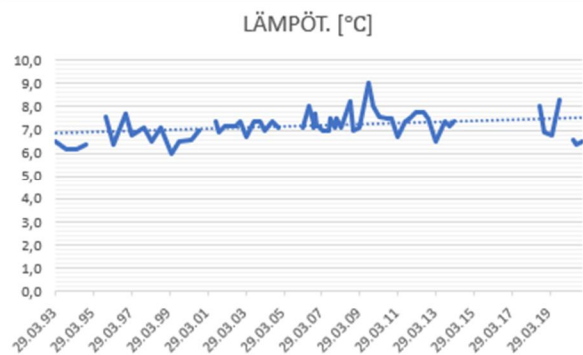
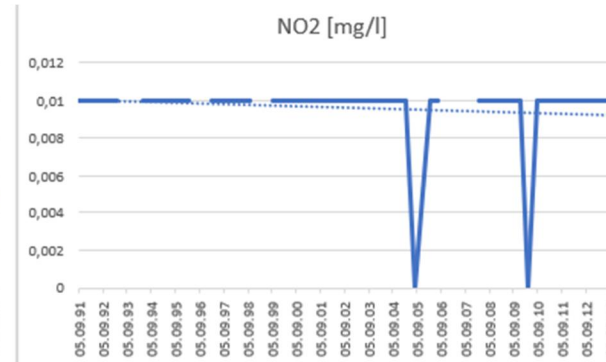
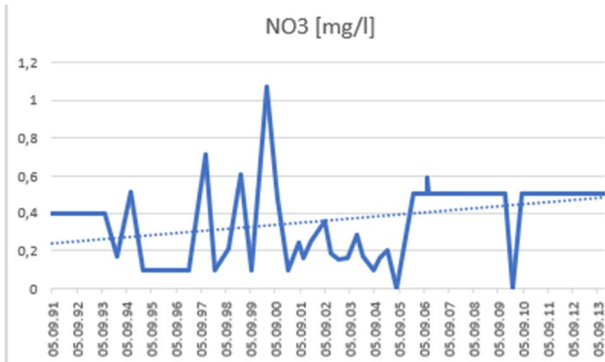
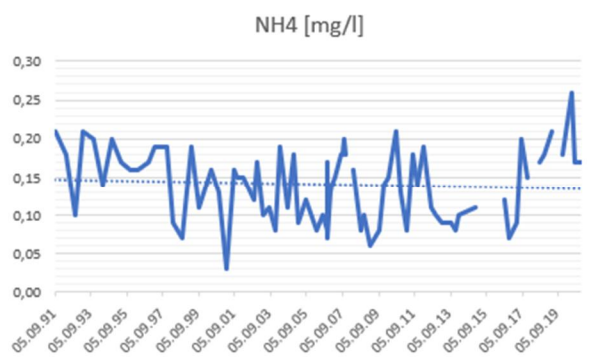
Vedenottamon kaivosta nro 1 mitattujen suureiden kehitys ajanjaksolla 1991-2019



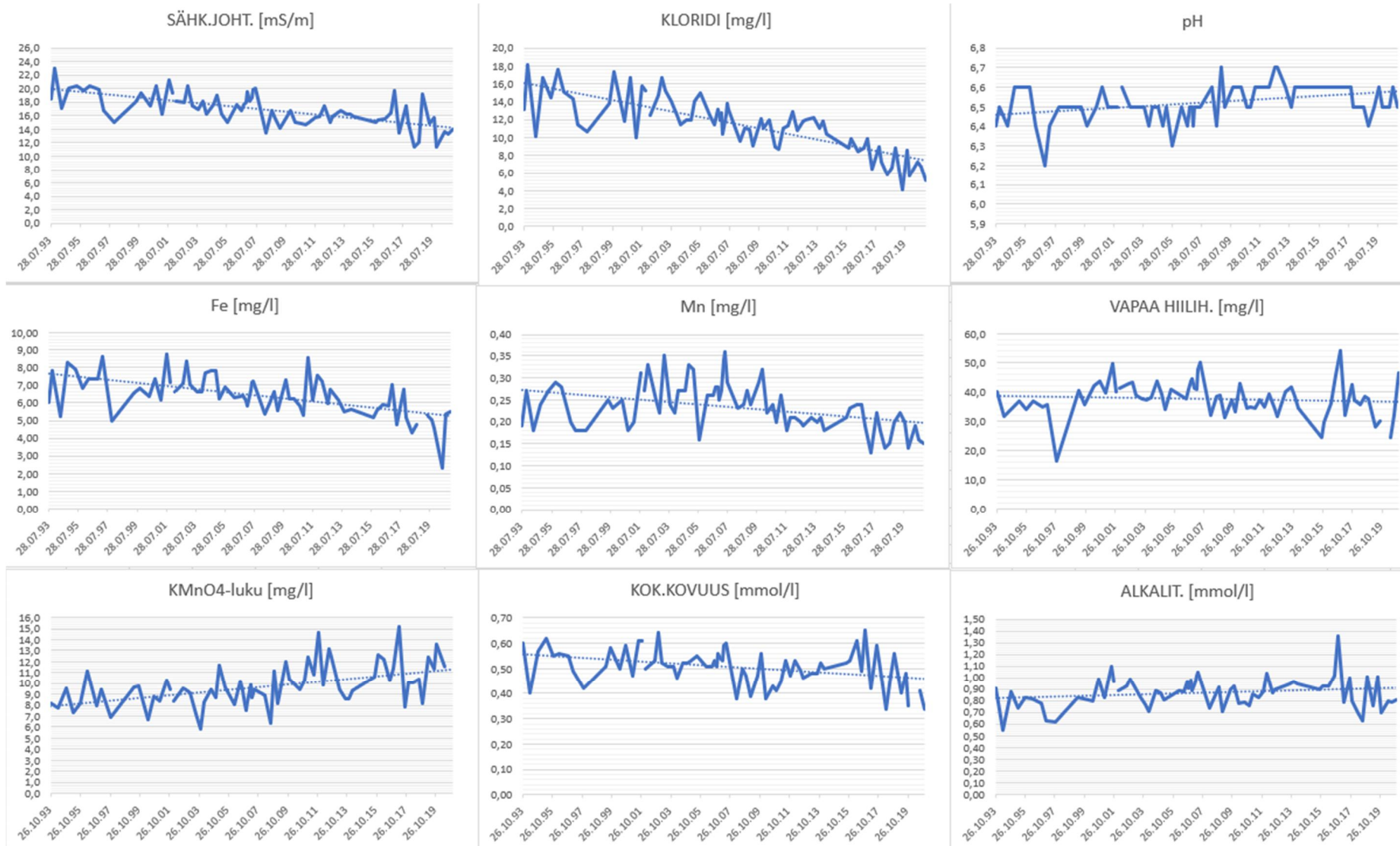
Vedenottamon kaivosta nro 2 mitattujen suureiden kehitys ajanjaksolla 1991-2019



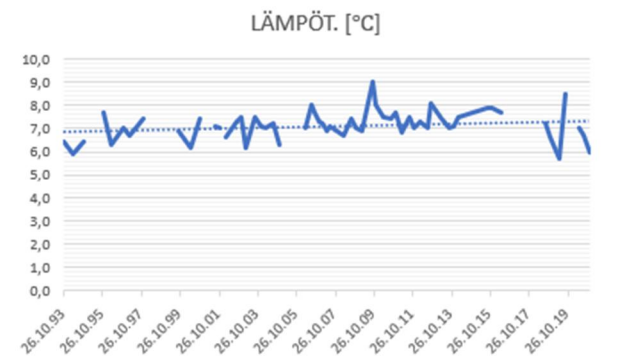
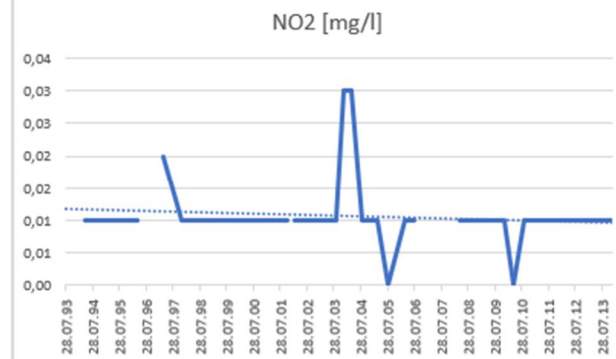
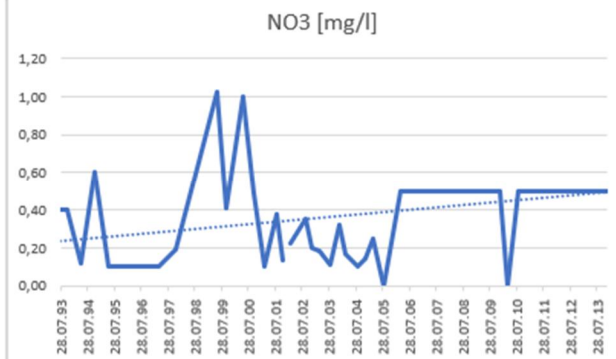
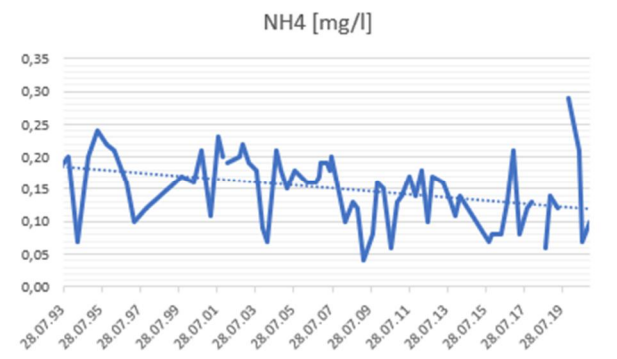
Vedenottamon kaivosta nro 2 mitattujen suureiden kehitys ajanjaksolla 1991-2019



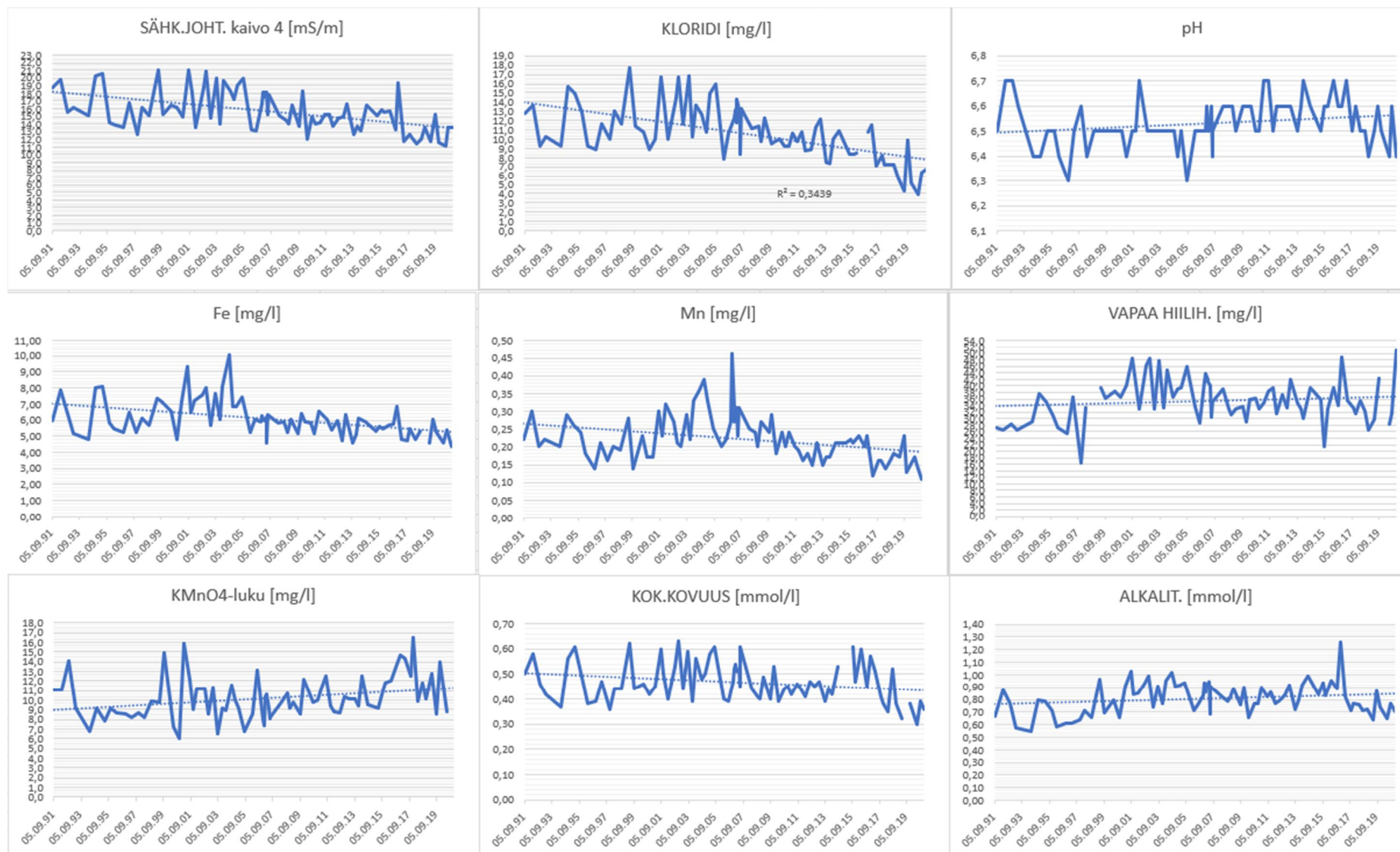
Vedenottamon kaivosta nro 3 mitattujen suureiden kehitys ajanjaksolla 1991-2019



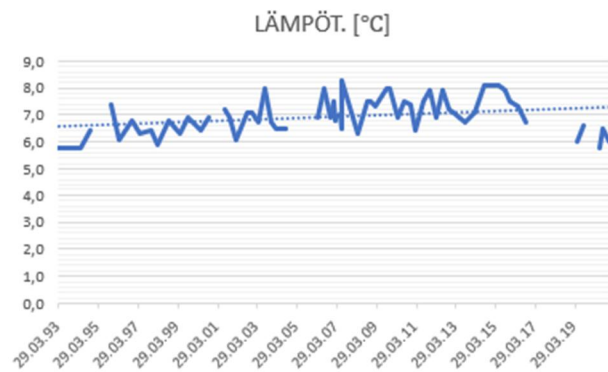
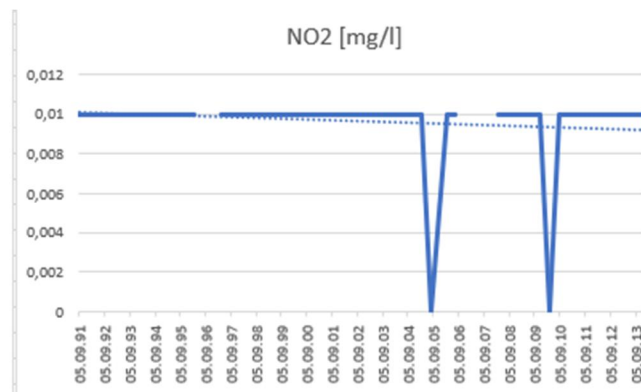
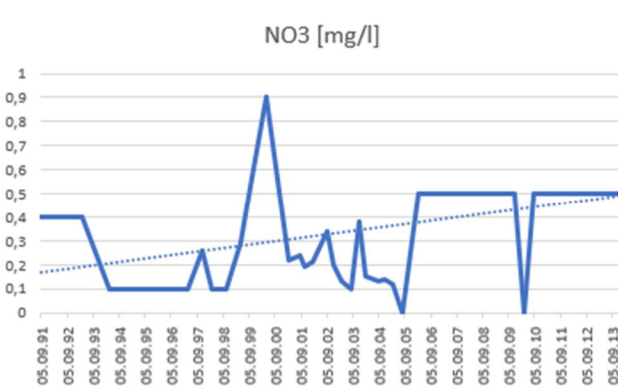
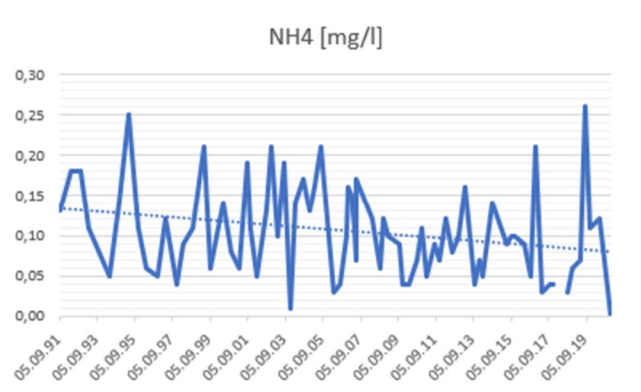
Vedenottamon kaivosta nro 3 mitattujen suureiden kehitys ajanjaksolla 1991-2019



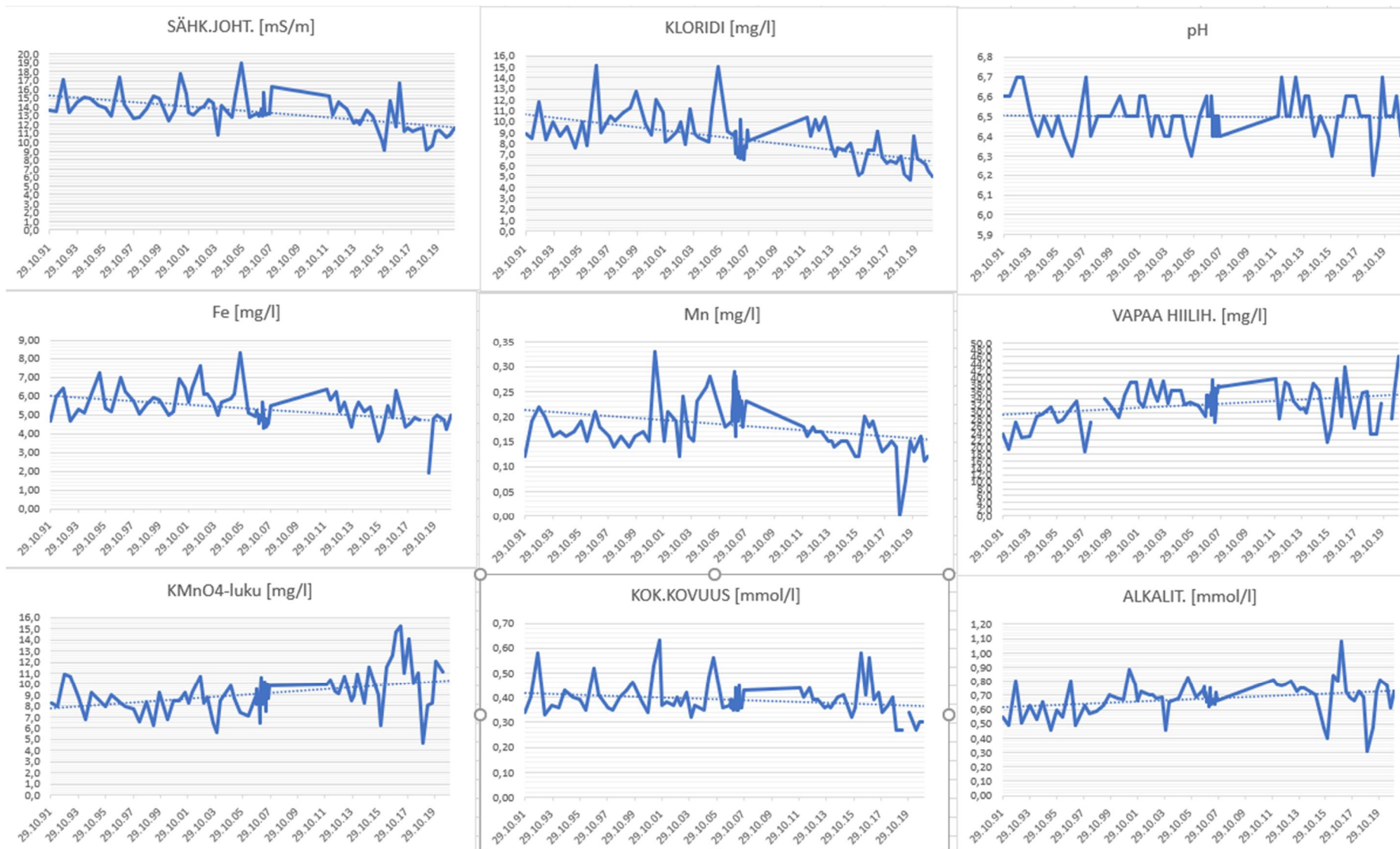
Vedenottamon kaivosta nro 4 mitattujen suureiden kehitys ajanjaksolla 1991-2019



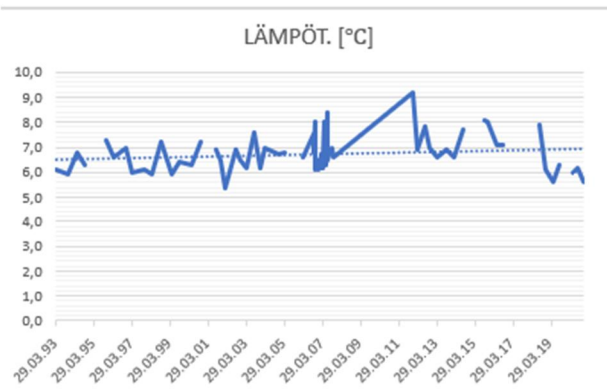
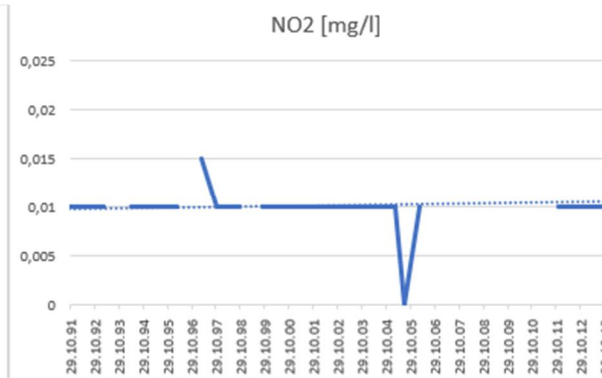
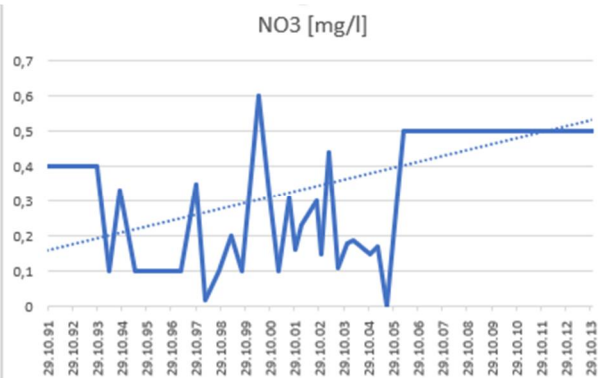
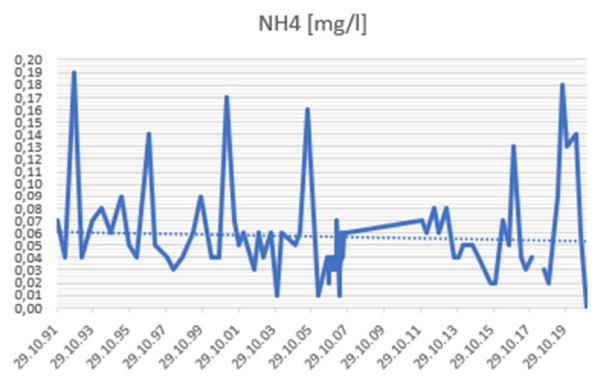
Vedenottamon kaivosta nro 4 mitattujen suureiden kehitys ajanjaksolla 1991-2019



Vedenottamon kaivosta nro 5 mitattujen suureiden kehitys ajanjaksolla 1991-2019



Vedenottamon kaivosta nro 5 mitattujen suureiden kehitys ajanjaksolla 1991-2019



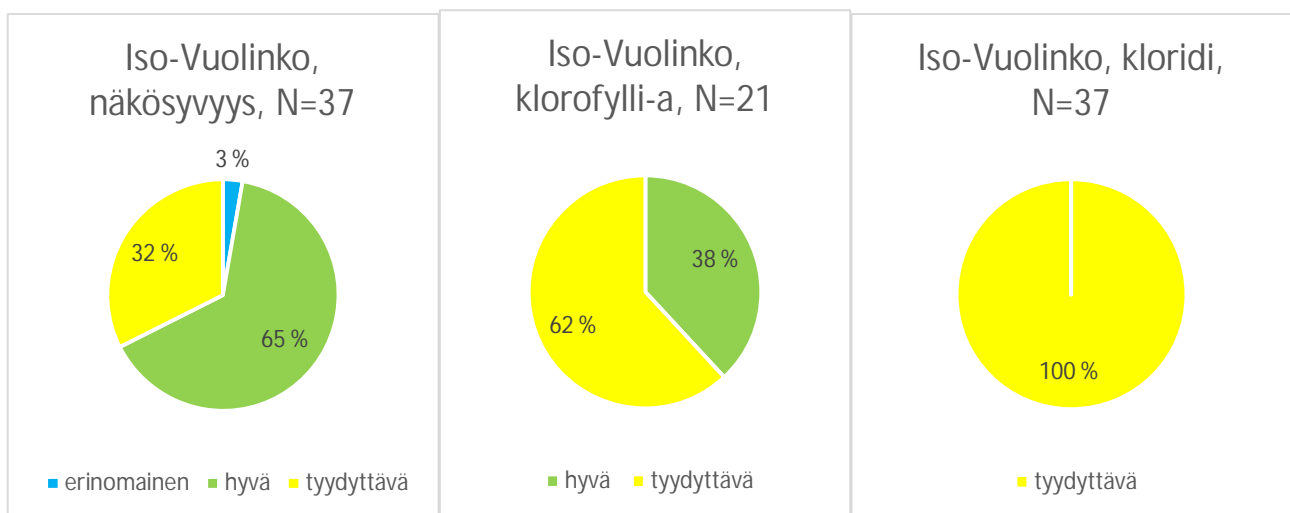
LIITE 13. Iso-Vuolingon, Pienen Vuolingon ja Pankalammen soveltuvuus raakavedeksi näytehistorian tulosten perusteella 1966–2020

Pankajoen ja Hanhilammen lisäksi vesistöjen soveltuvuutta raakavedeksi ja raakaveden tilaa on tarkasteltu yläjuoksulta Iso-Vuolingosta ja Pieni-Vuolingosta sekä alajuoksulta Pankalammesta. Tarkastelun tavoitteena oli arvioida vesistöjen soveltuvuutta raakavedeksi, ja arvioida soveltuvuuden muutoksia yläjuoksulta alajuoksulle. Mitattuja suureita on tarkasteltu Vesi- ja ympäristöhallituksen (1988) julkaisussa (Vesi- ja ympäristöhallinnon julkaisuja 20. Vesistöjen laadullisen käyttökelpoisuuden luokittaminen) annettujen raja-arvojen avulla. Luokituksessa suureille on annettu raja-arvot, joiden perusteella ne on jaettu viiteen laatuluokkaan, jotka on nimetty erinomaiseksi, hyväksi, tyydyttäväksi, huonoksi ja sopimattomaksi. Aineistosta on tehty kuvaajat havainnollistamaan, kuinka usein kyseisen vesistön tila on mitattujen suureiden perusteella luokiteltu tiettyyn luokkaan. Aineisto on haettu Hertta – tietokannasta keväällä 2021.

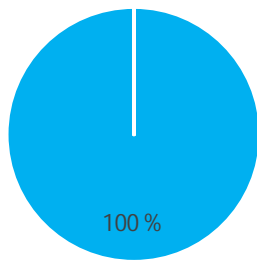
Kuvaajissa 1 m tarkoittaa metri vedenpinnan alapuolelta otettuja näytteitä ja vastaavasti pohja tarkoittaa noin metri pohjan yläpuolelta otettuja näytteitä. Näkösyvyys ja klorofylli on mitattu vain pinnalta. Kloridipitoisuudestakin on jokaiselle järvelle vain yksi kuvaaja, koska se oli kaikkialla ja kaikissa syvyyksissä tyydyttävä (tai vähintään tyydyttävä, koska hyvän ja erinomaisen raja-arvoja ei ollut määritelty). Myös joistakin muista muuttujista on vain yksi kuvaaja, silloin kun se on ollut kaikissa syvyyksissä sama. Näytteenottokertojen määrä on merkattu N-kirjaimella.

Iso-Vuolinko

Iso-Vuolingosta on otettu näytteitä vuodesta 1966 vuoteen 2019. Näkösyvyyden ja klorofylli-a -pitoisuuden perusteella vesistön soveltuvuus raakavedeksi on hyvä tai tyydyttävä. Pinnassa veden kelpoisuus on sameuden, raudan ja fosforipitoisuuden perusteella pääasiassa erinomainen, väriluvun, ammoniumtypen ja hapen kyllästysasteen perusteella pääasiassa hyvä ja kemiallisen hapenkulutuksen perusteella tyydyttävä. Pohjassa veden soveltuvuus on fosforipitoisuuden perusteella hyvä, kemiallisen hapenkulutuksen, raudan, ammoniumtypen ja väriluvun perusteella hyvä tai tyydyttävä, sameuden perusteella muu kuin erinomainen ja hapen kyllästysasteen perusteella pääasiassa sopimaton. Välivedessä viiden metrin syvyydessä hapen kyllästysaste sijoittuu pääasiassa luokkaan tyydyttävä, mutta ajoittaisia sopimattomiakin arvoja esiintyy.

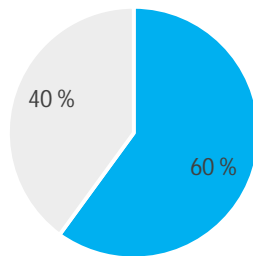


Iso-Vuolinko,
kolibakteerit, N=7



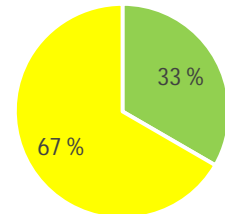
■ erinomainen

Iso-Vuolinko 1 m,
sameus, N=25



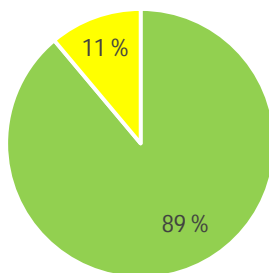
■ erinomainen ■ muu

Iso-Vuolinko 1 m,
kemiallinen
hapenkulutus, N=27



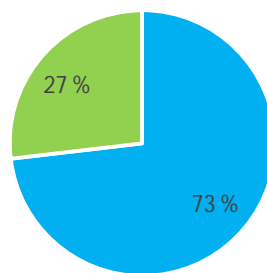
■ hyvä ■ tyydyttävä

Iso-Vuolinko 1 m,
väriluku, N=27



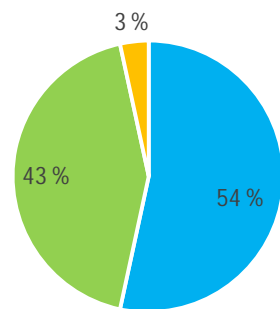
■ hyvä ■ tyydyttävä

Iso-Vuolinko 1 m,
rauta, N=26



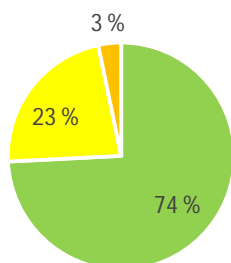
■ erinomainen ■ hyvä

Iso-Vuolinko 1 m,
fosfori, N=30



■ erinomainen ■ hyvä ■ huono

Iso-Vuolinko 1 m,
hapen kyllästysaste,
N=31



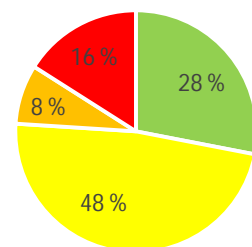
■ hyvä ■ tyydyttävä ■ huono

Iso-Vuolinko 1 m,
ammonium, N=13



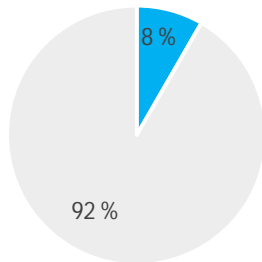
■ hyvä

Iso-Vuolinko 5 m,
hapen kyllästysaste,
N=25



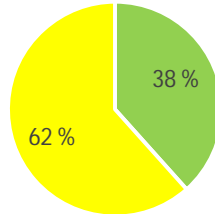
■ hyvä ■ tyydyttävä
■ huono ■ sopimaton

Iso-Vuolinko pohja,
sameus, N=24



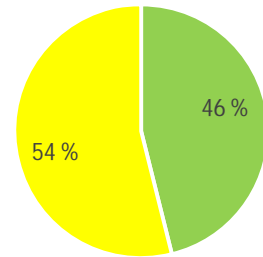
■ erinomainen ■ muu

Iso-Vuolinko pohja,
kemiallinen
hapenkulutus, N=26



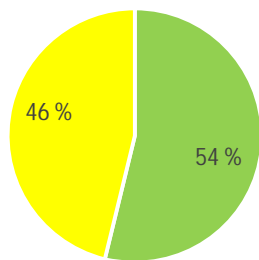
■ hyvä ■ tydyttävä

Iso-Vuolinko pohja,
väriluku, N=26



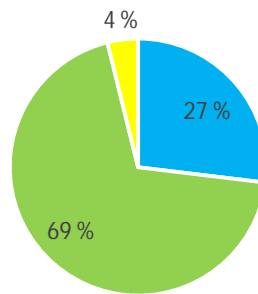
■ hyvä ■ tydyttävä

Iso-Vuolinko pohja,
rauta, N=26



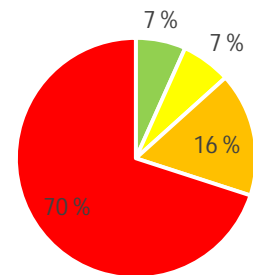
■ hyvä ■ tydyttävä

Iso-Vuolinko pohja,
fosfori, N=26



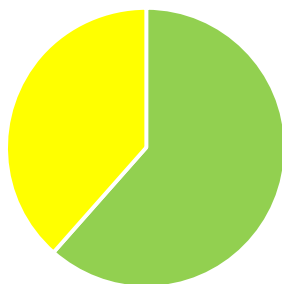
■ erinomainen ■ hyvä ■ tydyttävä

Iso-Vuolinko pohja,
hapen kyllästysaste,
N=30



■ hyvä ■ tydyttävä
■ huono ■ sopimaton

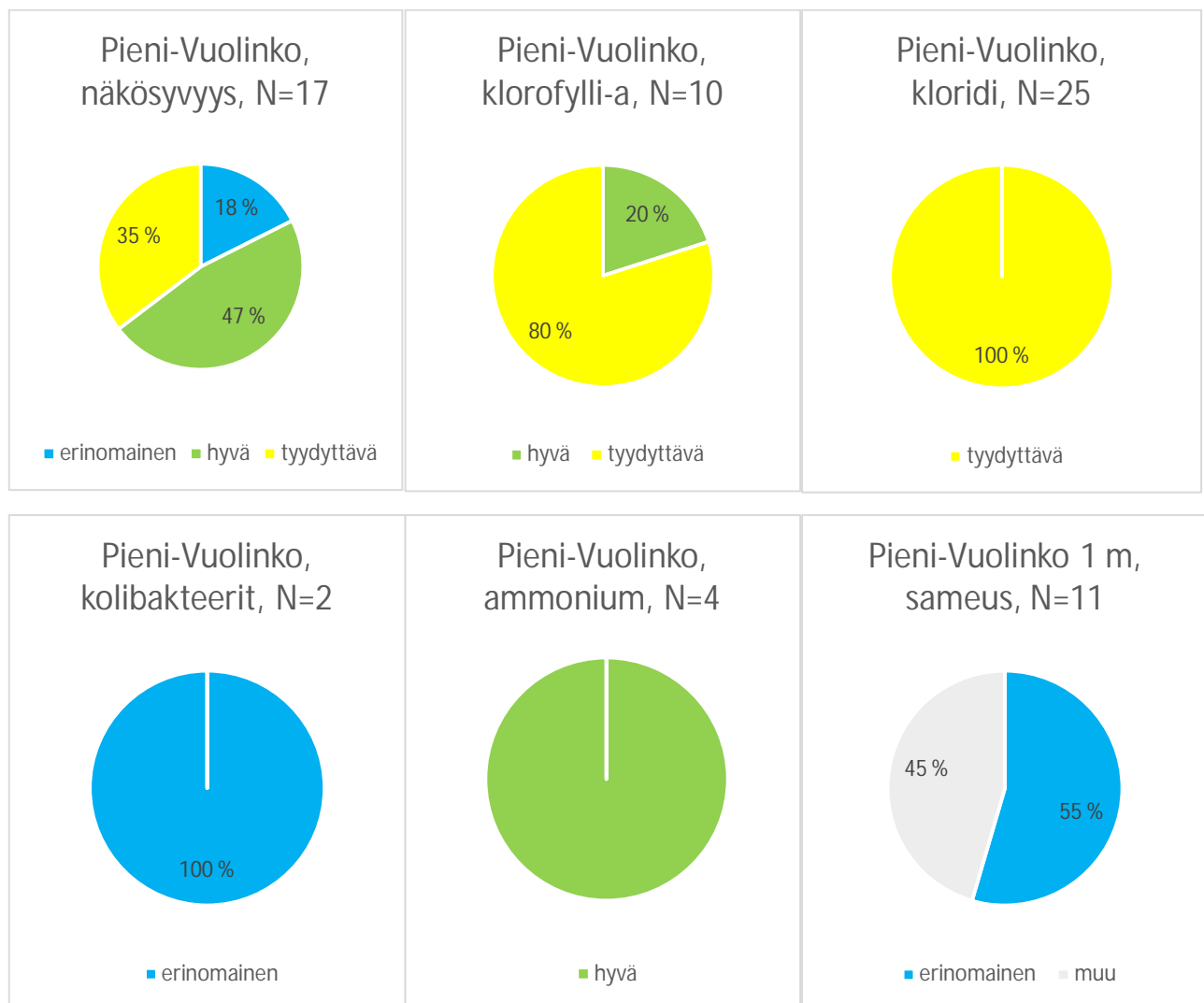
Iso-Vuolinko pohja, ammonium,
N=13

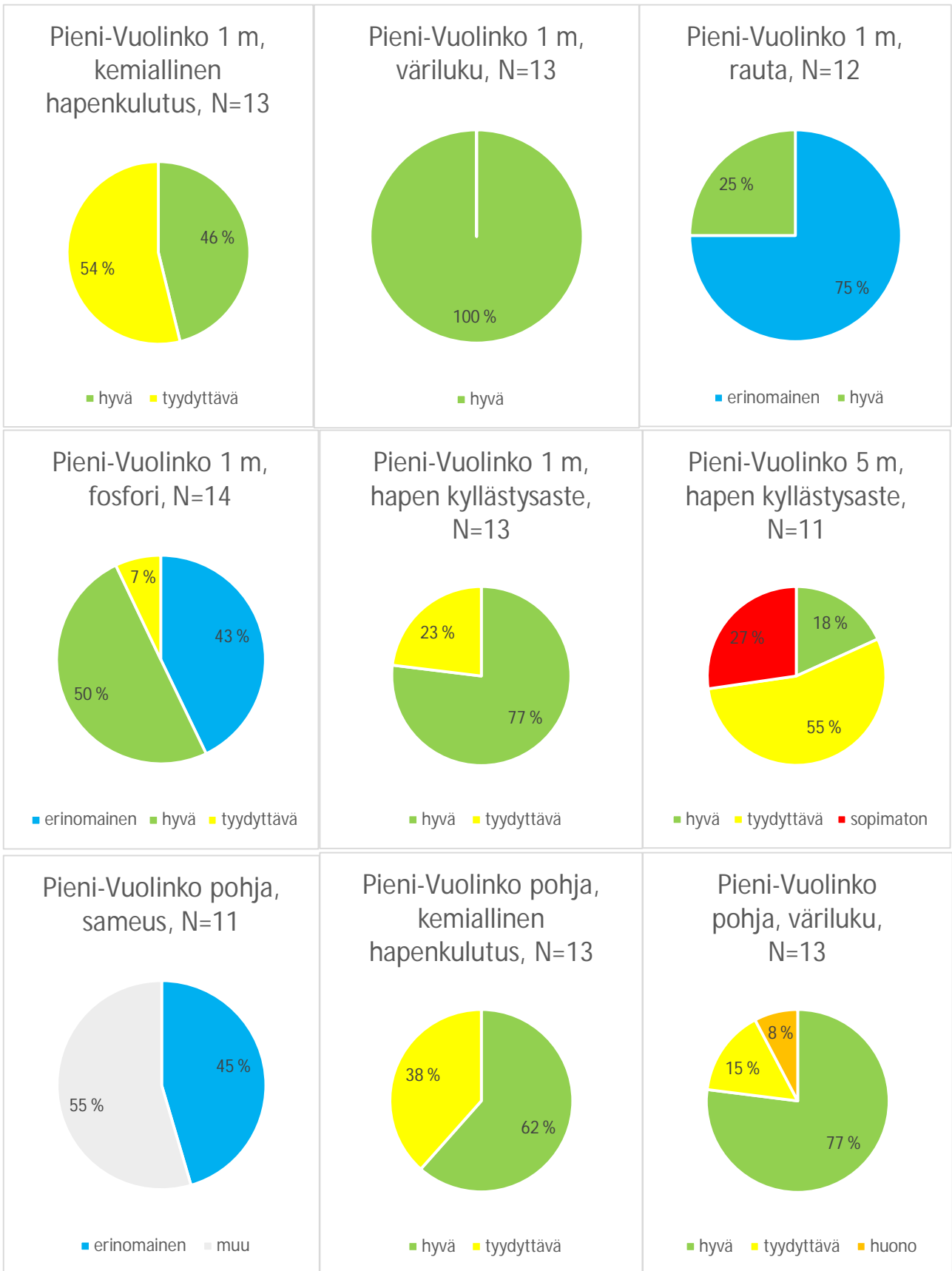


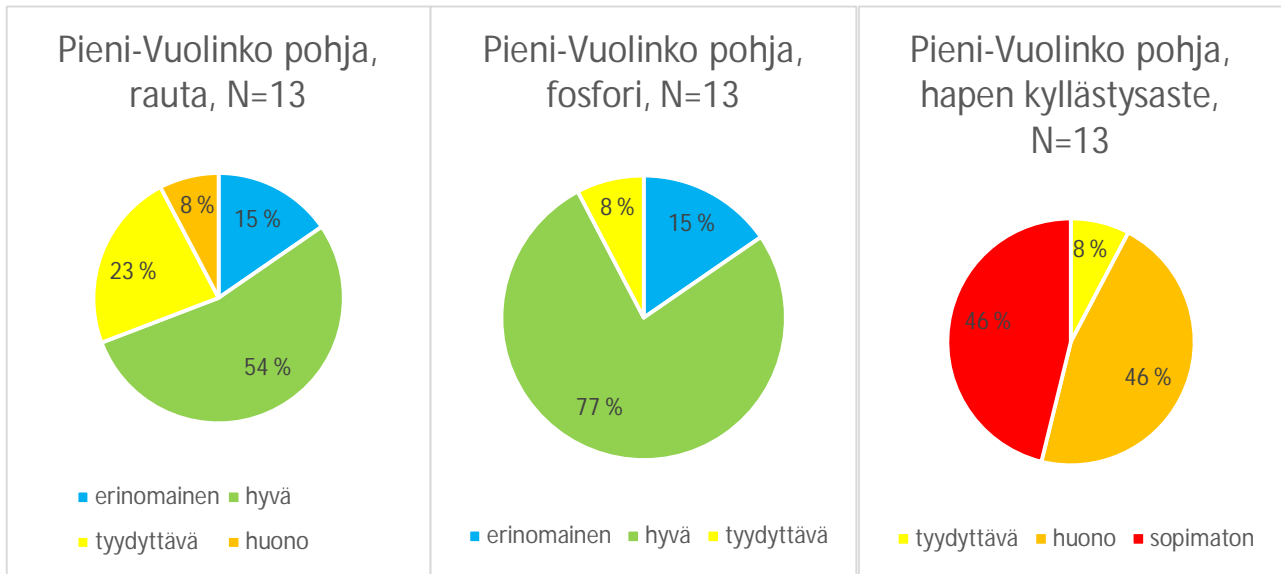
■ hyvä ■ tydyttävä

Pieni-Vuolinko

Pieni-Vuolingosta on otettu näytteitä vuodesta 1966 vuoteen 2019 asti. Näkösyvyyden ja klorofylli-a -pitoisuuden perusteella soveltuvuus raakavedeksi on hyvä tai tyydyttävä. Pinnassa veden kelpoisuus on sameuden ja raudan perusteella pääasiassa erinomainen, fosforin perusteella hyvä tai erinomainen, väriluvun, ammoniumtypen pitoisuuden ja hapen kyllästysasteen perusteella pääasiassa hyvä ja kemiallisen hapenkulutuksen perusteella tyydyttävä tai hyvä. Pohjassa veden soveltuvuus on kemiallisen hapenkulutuksen, väriluvun, raudan, ja fosforipitoisuuden perusteella pääasiassa hyvä, sameuden perusteella muu kuin erinomainen ja hapen kyllästysasteen perusteella pääasiassa huono tai sopimaton. Väivedessä viiden metrin syvyydessä hapen kyllästysaste saa lähinnä tyydyttäviä, mutta myös sopimattomia arvoja.

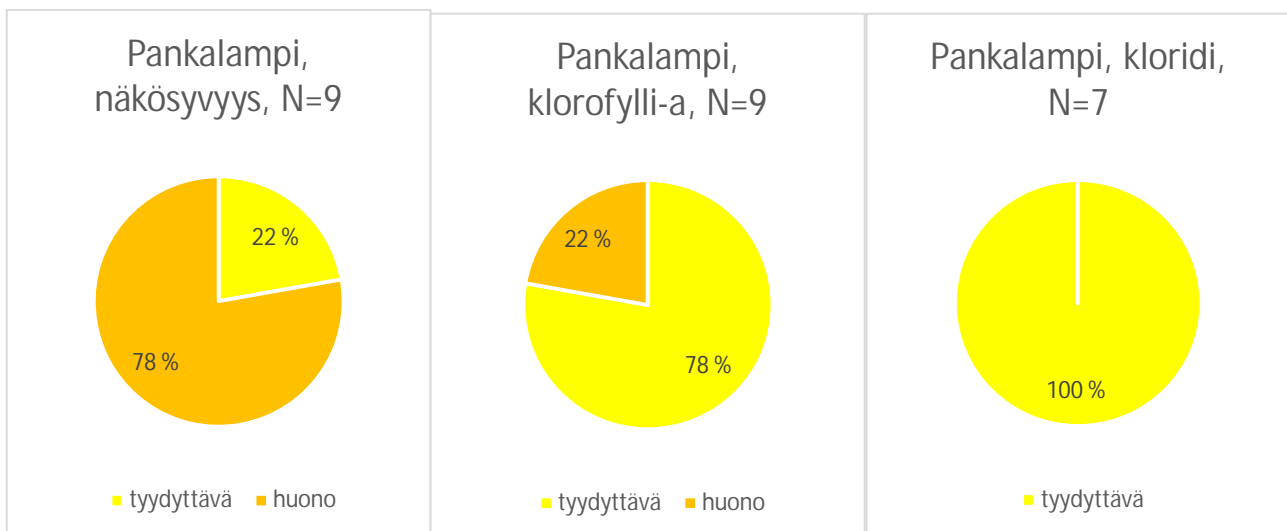


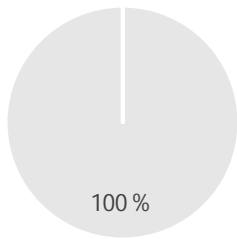




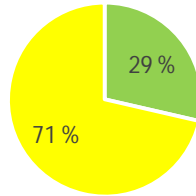
Pankalampi

Pankalammesta on otettu näytteitä vuodesta 1966 vuoteen 2015. Näkösyvyyden ja klorofylli-a -pitoisuuden perusteella soveltuvuus raakavedeksi on tyydyttävä tai huono ja sameuden perusteella muu kuin erinomainen. Pinnassa veden kelpoisuus on ammoniumtyypen pitoisuuden perusteella hyvä, hapen kyllästysasteen perusteella pääasiassa hyvä, mutta ajoittain jopa huono, ja väriluvun, raudan, kemiallisen hapenkulutuksen ja fosforipitoisuuden perusteella pääasiassa tyydyttävä. Pohjassa veden soveltuvuus on fosforin ja kemiallisen hapenkulutuksen perusteella pääasiassa tyydyttävä, mutta vaihtelee paljon, väriluvun perusteella tyydyttävä tai sopimaton ja hapen kyllästysasteen sekä ammoniumtyypen perusteella pääasiassa sopimaton. Pohjassa rautapitoisuus saa tyydyttäviä tai mitta-asteikon ylittäviä eli reilusti huonon raja-arvoa suurempia arvoja. Välivedessä viiden metrin syvyydessä vesi saa sopimattomia arvoja hapen kyllästysasteen osalta.

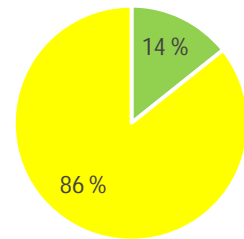


Pankalampi, sameus,
N=11

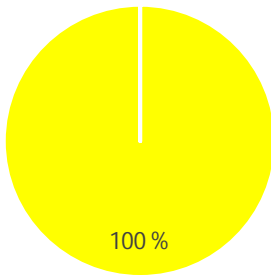
■ muu kuin erinomainen

Pankalampi 1 m,
kemiallinen
hapenkulutus, N=7

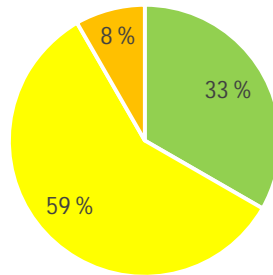
■ hyvä ■ tydyttävä

Pankalampi 1 m,
väriluku, N=7

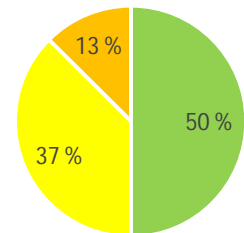
■ hyvä ■ tydyttävä

Pankalampi 1 m,
rauta, N=6

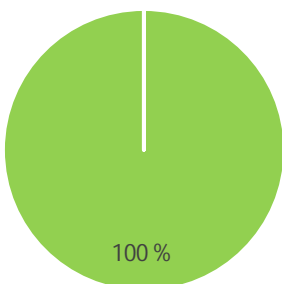
■ tydyttävä

Pankalampi 1 m,
fosfori, N=12

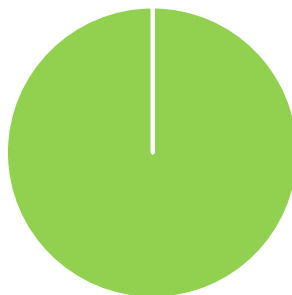
■ hyvä ■ tydyttävä ■ huono

Pankalampi 1 m,
hapen kyllästysaste,
N=8

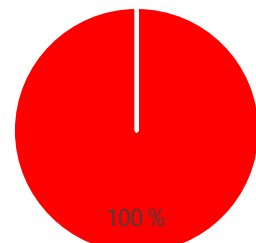
■ hyvä ■ tydyttävä ■ huono

Pankalampi 1 m,
kolibakteerit, N=3

■ hyvä

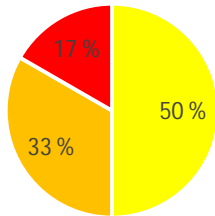
Pankalampi 1 m,
ammonium, N=1

■ hyvä

Pankalampi 5 m,
hapen kyllästysaste,
N=4

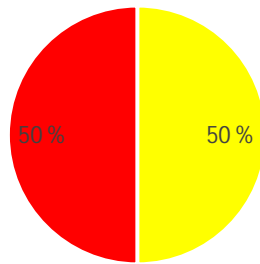
■ sopimaton

Pankalampi pohja,
kemiallinen
hapenkulutus, N=6



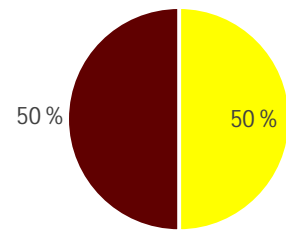
■ tydyttävä ■ huono ■ sopimaton

Pankalampi pohja,
väriluku, N=6



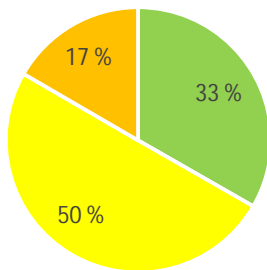
■ tydyttävä ■ sopimaton

Pankalampi pohja,
rauta, N=6



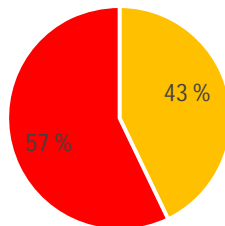
■ tydyttävä
■ mitta-asteikon ylittävä arvo

Pankalampi pohja,
fosfori, N=6



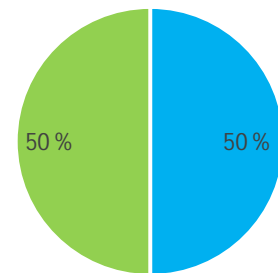
■ hyvä ■ tydyttävä ■ huono

Pankalampi pohja,
hapen kyllästysaste,
N=7



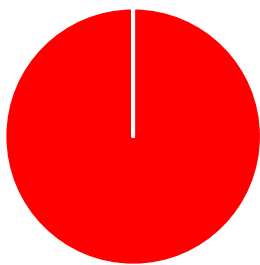
■ huono ■ sopimaton

Pankalampi pohja,
kolibakteerit, N=2



■ erinomainen ■ hyvä

Pankalampi pohja,
ammonium, N=1



■ sopimaton

Vertailua

Iso-Vuolinko ja Pieni-Vuolinko ovat keskenään hyvin samankaltaisia, kun taas Pankalammen soveltuvuus raakavedeksi on selvästi huonompi kuin Vuolinkojen. Kaikissa kolmessa on ongelmana ajoittainen alusveden hapettomuus. Pankalammessa alusveden hapettomuus näyttäisi ajoittain nostaneen raudan ja ammoniumtyypen pitoisuuksia, kun taas Vuolingoissa vastaavaa ei ole juurikaan havaittavissa. Välivedessä viiden metrin syvyydessä hapen kyllästysarvot ovat Pankalammessa selvästi huonommat kuin Vuolingoissa. Pankalampi saakin selvästi vähemmän erinomaisia ja hyviä arvoja kuin Vuolingot. Pankalampi saa myös selvästi enemmän tyydyttäviä, huonoja ja sopimattomia arvoja.

Lähteet:

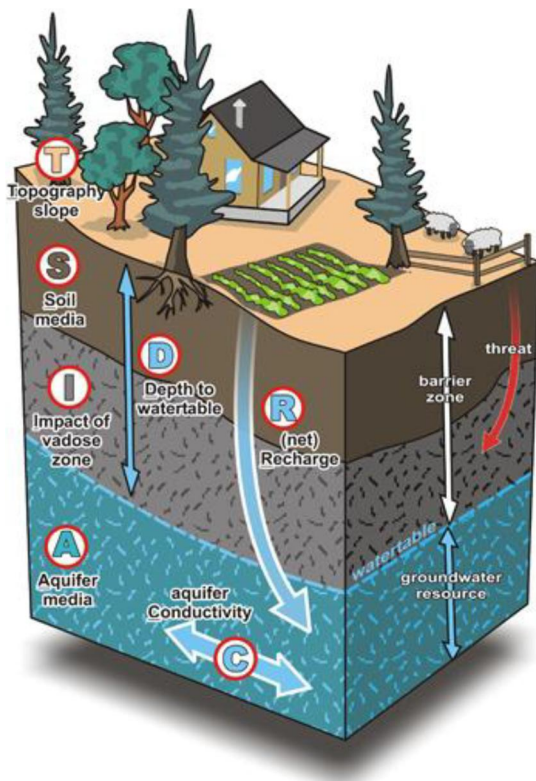
Vesi- ja ympäristöhallitus (1988) Vesi- ja ympäristöhallinnon julkaisuja 20. Vesistöjen laadullisen käyttökelpoisuuden luokittaminen. Valtion painatuskeskus, Helsinki. 48 s. ISBN951-47-1805-4.

Liite 14

Hanhikankaan pohjavesialueen DRASTIC-analyysin laskentaperusteet

Hanhikankaan pohjavesimuodostuman haavoittuvuutta arvioitiin DRASTIC-menetelmän mukaisesti seitsemän hydrogeologisen parametrin perusteella (Aller et al. 1985, kuva 1):

- 1) Pohjaveden etäisyys maanpinnasta (**D**ePTH to water)
- 2) Muodostuvan pohjaveden määrä (net **R**echarge)
- 3) Maalaji pohjavesivyöhykkeessä (**A**quifer media)
- 4) Maankäyttö ja pintamaa (**S**oil media)
- 5) Maanpinnan kaltevuus (**T**opography/Slope)
- 6) Maalaji vajovesi- eli vadoosivyöhykkeessä (**I**mpact of the vadose zone)
- 7) Hydraulinen johtavuus pohjavesivyöhykkeessä (hydraulic **C**onductivity)



Kuva 1. DRASTIC-analyysissä käytettävät parametrit (Franklin, R. & Turner, R, 2009).

DRASTIC-analyysissä hydrogeologisille parametreille annetaan painoarvo perustuen niiden merkittävyyteen pohjaveden haavoittuvuusherkkyden kannalta. US EPA:n standardissa DRASTIC-parametrien painoarvot on määritelty asiantuntijapaneelissa Delphi-menetelmää käyttäen, ja ne ovat vakiot tutkimusalueesta riippumatta (Aller et al. 1987). DRASTIC-menetelmän parametrit, niiden tietolähteet Hanhikankaan pohjavesialueen osalta sekä painoarvo kokonaisanalyysissä on esitetty taulukossa 1.

Taulukko 1. DRASTIC-haavoittuvuusanalyysin hydrogeologiset parametrit, tiedon lähde Mikkelin Hanhikankaan pohjavesialueella sekä painoarvo kokonaisanalyysissä.

| Parametri | Selite | Tiedon lähde | Painoarvo |
|-----------|---|---|-----------|
| D | <p>Pohjaveden etäisyys maanpinnasta (Depth to water)</p> <p>Matka, jonka veden tai haitta-aineen on kuljettava maaperässä päätyäkseen pohjaveteen</p> | <p>Hanhikankaan pohjavesialueen rakenneselvityksessä (Väänänen et al. 2015) mallinnettu pohjavedenpinnantasoaineisto sekä RAINMAN-projektissa päivitetyn pohjaveden virtausmallin (Hyvönen et al. 2021) tuottama pohjavedenpinnankorkeusasema</p> <p>Kuvaa tämänhetkisen ottomäärän mukaista keskimääräistä pohjaveden pinnan tasoa, ei pohjavesimuodostuman luontaista pohjavedenpinnan korkeutta.</p> | 5 |

| Parametri | Selite | Tiedon lähde | Painoarvo |
|-----------|--|---|-----------|
| R | Muodostuvan pohjaveden määrä (net R recharge) Vesimäärä, joka suotautuu pohjavedeksi sadannasta (ml. lumen sulamisvedet) | Mikkelin lentoaseman säähavaintoaseman sadantatiedosta laskettu vuosisadanta (Ilmatieteen laitos 2021) Muodostuvan pohjaveden määrä (10–60 % keskisadannasta) riippuen maalajista (Eskelinen et al. 2021) | 4 |
| A | Maalaji pohjavesivyöhykkeessä (A quifer media) Pohjaveden haavoittuvuusherkyys kasvaa vedenläpäisevyyden kasvaessa. | Kairaustieto alueella aiemmin tehdyistä tutkimuksista ja erityisesti Hanhikankaan pohjavesialueen rakenneselvitystyössä tehdyistä raskaista maaperäkairauksista (Väänänen et al. 2015) Maatutkaluotaukset (Väänänen et al. 2015) Maaperäkartta 1:20 000 (Geologian tutkimuskeskus 2021) | 3 |
| S | Maankäyttö ja pintamaa (S oil media) Maannoksen ja maankäyttömuotojen vaikutus veden imeytymiseen | CORINE Land cover 2018 aineisto (20x20 m) (Suomen ympäristökeskus 2019a) | 2 |
| T | Maanpinnan kaltevuus (T opography) Maanpinnan muoto ja kaltevuus vaikuttavat veden imeytymiseen ja pintavalunnan määrään | Lidar (2x2 m) (Maanmittauslaitos 2021) | 1 |

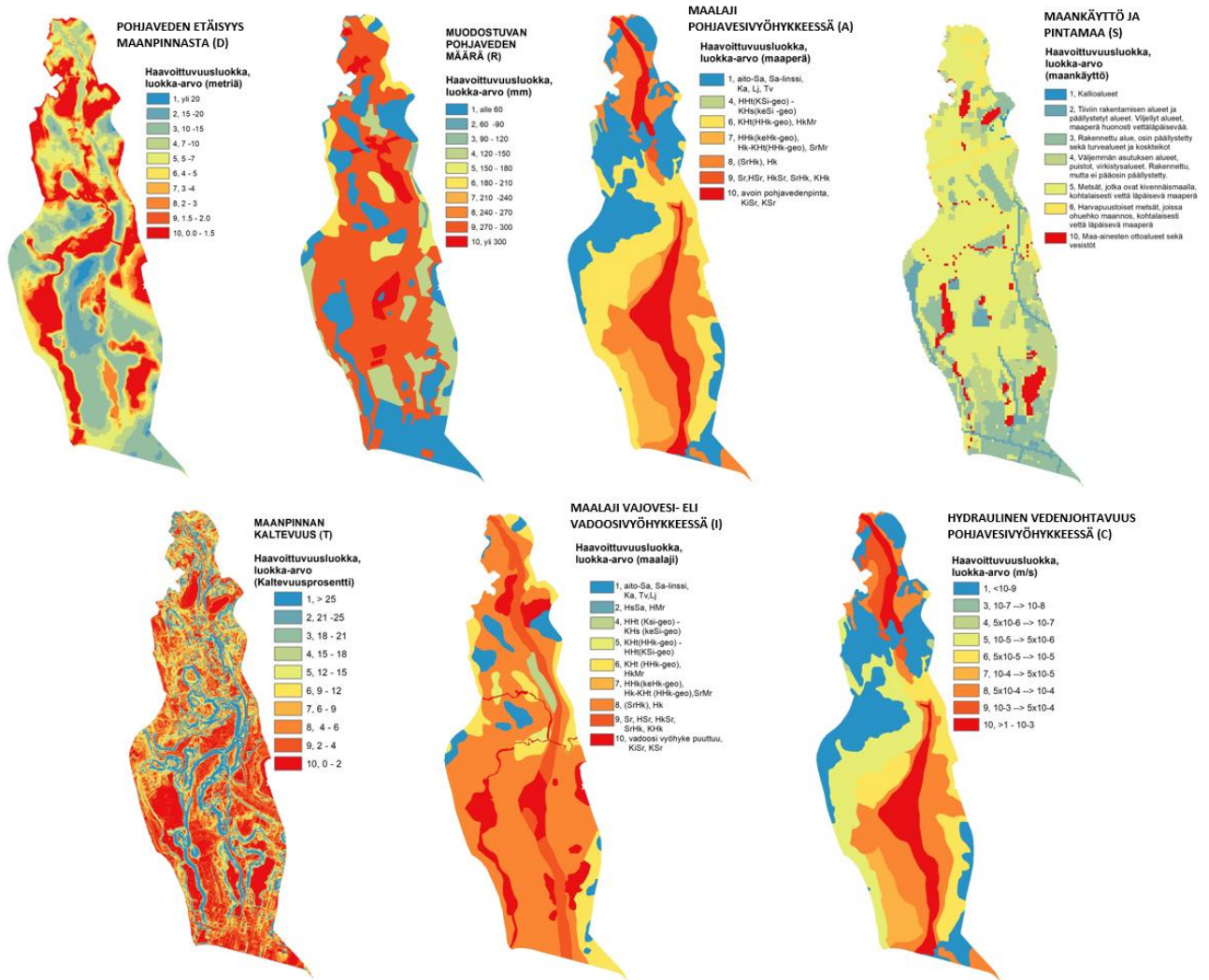
| Parametri | Selite | Tiedon lähde | Painoarvo |
|-----------|---|---|-----------|
| I | Maalaji vajovesi- eli vadoosivyöhykkeessä (Impact of the vadose zone) Pohjaveden haavoittuvuusherkyys kasvaa vedenläpäisevyyden kasvaessa. | Kairaustieto alueella aiemmin tehdyistä tutkimuksista ja erityisesti Hanhikankaan pohjavesialueen rakenneselvitystyössä tehdyistä raskaista maaperäkairauksista (Väänänen et al. 2015) Maatutkaluotaukset (Väänänen et al. 2015) Maaperäkartta 1:20 000 (Geologian tutkimuskeskus 2021) | 5 |
| C | Hydraulinen johtavuus pohjavesivyöhykkeessä (hydraulic Conductivity) Pohjavesikerroksen maalajien hydraulinen vedenjohtavuus | Maaperäkartta 1:20 000 (Geologian tutkimuskeskus 2021) Kairaustieto alueella aiemmin tehdyistä tutkimuksista ja erityisesti Hanhikankaan pohjavesialueen rakenneselvitystyössä tehdyistä raskaista maaperäkairauksista (Väänänen et al. 2015) Kirjallisuus | 3 |

Jokaisesta seitsemästä DRASTIC-haavoittuvuusanalyysin hydrogeologisesta parametrilla tuotettiin Hanhikankaan pohjavesialueelle parametrin ominaisuustietoja kuvaava taso, jossa pohjavesialue on luokiteltu **taulukon 2** mukaisiin luokka-arvoihin. Parametrien luokka-arvot (r, rating) ovat välillä 1–10, jossa 10 merkitsee helpoimmin haavoittuvaa ja 1 vähiten haavoittuvaa ominaisuutta. Lopullisessa DRASTIC-indeksin laskennassa jokaista parametria painotetaan lisäksi painoarvolla 1–5 (w, weight). Painoarvo 5 edustaa merkittävintä tekijää pohjaveden haavoittuvuuden kannalta ja 1 vähiten merkittävää tekijää. DRASTIC-parametrien haavoittuvuusluokat Hanhikankaan pohjavesialueella on esitetty **kuvassa 2**.

Taulukko 2. Hanhikankaan pohjavesialueella käytetyt DRASTIC-haavoittuvuusanalyysin hydrogeologiset parametrit, niiden luokittelu luokka-arvoihin 1–10 ja laskennassa käytetty painoarvo 1–5.

| Parametri | D | R | A | S | T | I | C |
|-------------|--------------------------------------|-------------------------------------|---|---|--------------------------|---|--|
| Luokka-arvo | Pohjaveden etäisyys maanpinnasta (m) | Muodostuvan pohjaveden määrä (mm/v) | Maalaji pohjavesivyöhykkeessä | Maankäyttö ja pintamaa | Maanpinnan kaltevuus (%) | Maalaji vajovesivyöhykkeessä | Hydraulinen johtavuus pohjavesikerroksessa (K-arvo, m/s) |
| 1 | >20 | <60 | Aito-Sa (Sa-linssi) | Kaikki Corine-luokitellut kalliialueet | 26-30 | Aito-Sa (Sa-linssi) | 10^{-9} - $>10^{-10}$ |
| 2 | 15-20 | 60-90 | HsSa, HMr | Tiiviin rakentamisen alueet, päällystetyt alueet sekä viljellyt alueet, joiden maaperä huonosti vettä-läpäisevää | 22-25 | HsSa, HMr | 10^{-8} - 10^{-9} |
| 3 | 10-15 | 90-120 | HHS - KaSa (hSi) | Rakennettu alue joka osin päällystetty sekä turvealueet mm. pal-veluiden alueet, kerrostaloalueet ja metsät turvemaalla | 19-21 | HHS - KaSa (hSi) | 10^{-7} - 10^{-8} |
| 4 | 7-10 | 120-150 | Hht - Khs (kSi) | Rakennettu, mutta ei pääosin päällystetty mm. pientaloalueet, puistot, virkistysalueet | 18-16 | Hht - Khs (kSi) | 10^{-6} - 10^{-7} |
| 5 | 5-7 | 150-180 | SiHHk (SiKht) - HHT | Ohuehko maannos, jonka alla kohtalaisesti vettä läpäisevä maaperä mm. metsät kivennäismaalla | 13-15 | SiHHk (SiKht) - HHT | 10^{-5} - 10^{-6} |
| 6 | 4-5 | 180-210 | HkMr, SrMr, Hk-HHK-kerrallinen (harjun lieve) | Ohuehko maannos, jonka alla kohtalaisesti vettä läpäisevä maaperä mm. havapuustoiset metsät | 10-12 | HkMr, SrMr, Hk-HHK-kerrallinen (harjun lieve) | 10^{-4} - 10^{-5} |
| 7 | 3-4 | 210-240 | KeHk | Ohut maannoskerros tai se puuttuu, maaperä vettä läpäisevää mm. luonnonniityt, varvikot ja nummet | 7-9 | KeHk | 10^{-3} - 10^{-4} |
| 8 | 2-3 | 240-270 | SrHk, KaHk | Voimakkaasti muokattu maanpinta | 5-6 | SrHk, KaHk | 10^{-2} - 10^{-3} |
| 9 | 1,5-2 | 270-300 | HkSr | Maannoskerros poistettu tai ei ole mm. rantahietikot ja dyynialueet | 3-4 | HkSr | 10^{-1} - 10^{-2} |

| | | | | | | | |
|-----------|-------|------|------------------------|--|-----|--|-----------------------|
| 10 | < 1,5 | >300 | KiSr, KaSr, Hsr | Maanoskerros poistettu tai sitä ei ole mm. maa- ainesten ottoalueet, joet, järvet, meri | 0-2 | Vadoosi vyöhyke puuttuu, KiSr - Hsr | >1 - 10 ⁻¹ |
| Painoarvo | 5 | 4 | 3 | 2 | 1 | 5 | 3 |



Kuva 2. Hanhikankaan pohjavesialueen DRASTIC-haavoittuvuusanalyysin yksittäisten parametrien D, R, A, S, T, I ja C luokka-arvot kartoilla esitettynä.

HAAVOITTUVUUSANALYYSIN LÄHTEET:

Aller, L., Bennett, T., Lehr, J.H., Petty, R.H. & Hackett, G. 1985. DRASTIC: a standardized system for evaluating groundwater pollution potential using hydrogeologic settings, National Water Well Association, Worthington, Ohio / EPA Ada. Oklahoma. EPA/600/2-85/018.

Aller, L., Bennett, T., Lehr, J.H., Petty, R.H. & Hackett, G. 1987. DRASTIC: a standardized system for evaluating groundwater pollution potential using hydrogeologic settings, US EPA Report 600/2- 87/035. Robert S. Kerr Environmental Research Laboratory, Ada, Oklahoma.

Eskelinen, A., Rauhaniemi T., Luoma, S., Hyvönen A. & Jarva, J. 2021. Pohjavesimuodostuman haavoittuvuusanalyysi DRASTIC-menetelmällä – tutkimuskohteina Mikkelin Hanhikangas ja Lahti. Geologian tutkimuskeskus. Työraportti 59/2021.

Franklin, R. & Turner, R. Geological Survey of Canada. Modified by Cyrille Médard de Chardon (2009)

Geologian tutkimuskeskus. 2021. Maaperä 1:20 000/1:50 000.

https://tupa.gtk.fi/paikkatieto/meta/maapera_20_50k.html

Hyvönen, A. 2017. Mikkelin Porrassalmen pohjavesialueen geologinen rakennetutkimus ja pohjaveden virtausmallinnus sekä Mikkelin pohjavesialueiden (Hanhikangas, Pursiala, Porrassalmi) rakenne- ja virtausmallinnusaineistojen yhdistäminen. Geologian tutkimuskeskus, Pohjois-Savon elinkeino-, liikenne- ja ympäristökeskus, Mikkelin kaupunki ja Mikkelin vesilaitos. Geologian tutkimuskeskus. Arkistoraportti 22/2017.

Hyvönen, A., Klein, J. & Okkonen, J. 2021. Mikkelin Hanhikankaan pohjavesialueen virtausmalli ja ilmastonmuutoksen vaikutusten mallintaminen alueen pohjavedenpintoihin aikaväleillä 2021–2050 ja 2072–2100. Geologian tutkimuskeskus. Työraportti 48/2021.

Maanmittauslaitos 2021. Laserkeilausaineisto 0,5 p. <https://www.maanmittauslaitos.fi/kartat-ja-paikkatieto/asiantuntevalle-kayttajalle/tuotekuvaukset/laserkeilausaineisto-05-p>

Suomen ympäristökeskus 2019a. Maankäyttö- ja maanpeiteaineistojen tuottaminen CORINE

Land Cover 2018-hankkeessa ja Copernicus Land -aineistojen validointi Suomessa.

<https://www.syke.fi/hankkeet/corine2018>

Väänänen, T., Hyvönen, A., Mursu, J. & Hyvärinen, J. 2016. Hanhikankaan rakennetutkimus ja virtausmallinnus. Geologian tutkimuskeskus, Etelä-Savon ELY-keskus, Mikkelin kaupunki ja Mikkelin Vesilaitos. Geologian tutkimuskeskus. Tutkimusraportti 2/2016. 55 s.

LIITE 15

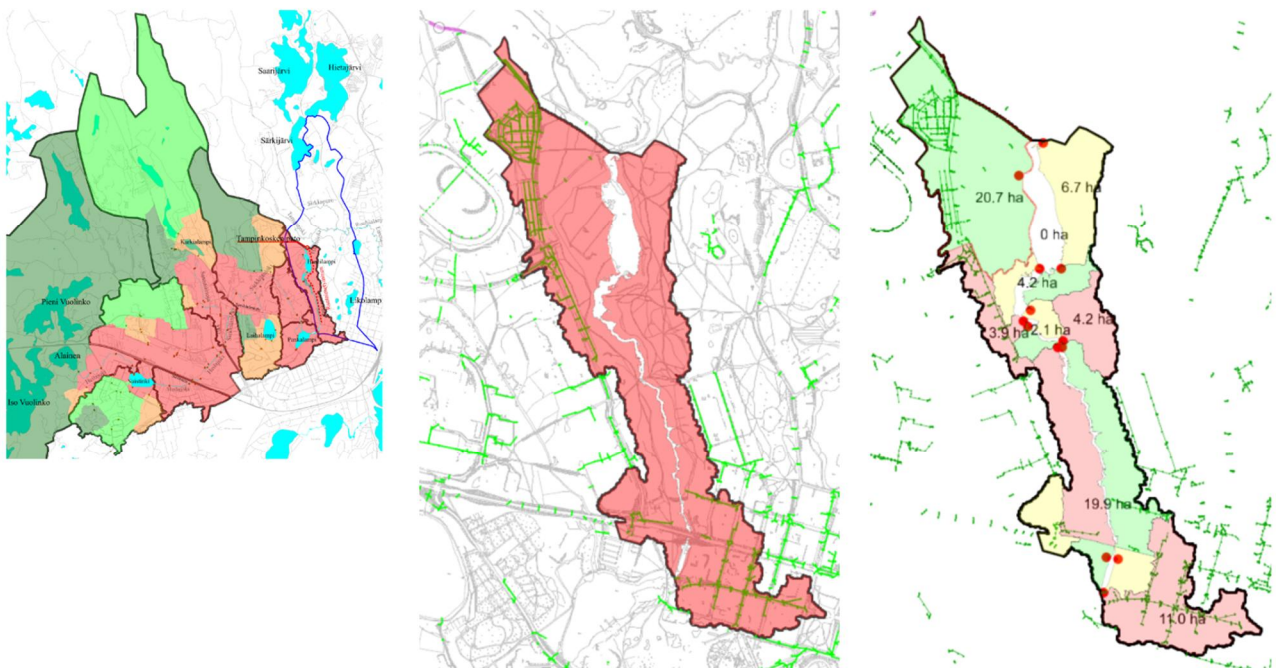
Hanhilammen valuma-alueen haavoittuvuusanalyysin määrittäisperusteet

Tehty haavoittuvuusluokittelu on suuntaa-antava. Sen tarkoituksena on olla apuna pintaveden ja pohjaveden laatua uhkaavien riskien luokittelussa ja ohjata pinta- ja pohjaveden laatua suojaavien toimenpiteiden kohdentamista oikeisiin paikkoihin ja auttaa niiden toteutusjärjestyksen priorisoinnissa. Pienvaluma-alue-rajaukset on saatu Rambollin vuonna 2018 Mikkelin kaupungille tuottamasta hulevesimallinnuksesta. Näitä rajauksia on tarkennettu tämän hankkeen yhteydessä.

Pankajoki-Hanhilampi

Pankajoen ja Hanhilammen muodostaman Seitsennimisen joen osan valuma-alueet saavat kaikki punaisen värin eli korkeimman haavoittuvuusluokan (kuva 1). Rantaimetyminen pohjavesimuodostumaan tapahtuu pääasiassa tältä vesistöjaksolta.

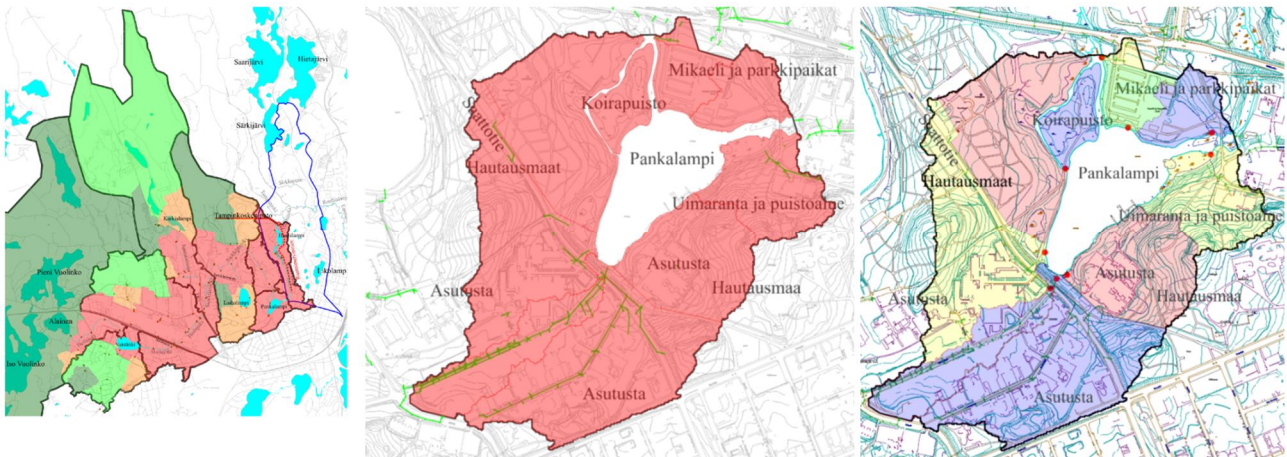
Valumavedet niiden sisältämine mahdollisine haitallisine aineineen voivat päätyä alueella nopeasti vesistöön tulivatpa ne pintavaluntana tai hulevesiviemärointiä pitkin. Kyseisen vesistöjaksos valuma-alueista osassa on hulevesiviemärointiä, joka on johdettu suoraan tai lähes suoraan vesistöön.



Kuva 1. Pankajoki-Hanhilampi. Haavoittuvuuskartat vasemmalla ja keskellä. Oikealla tunnistetut pienvaluma alueet.

Pankalampi

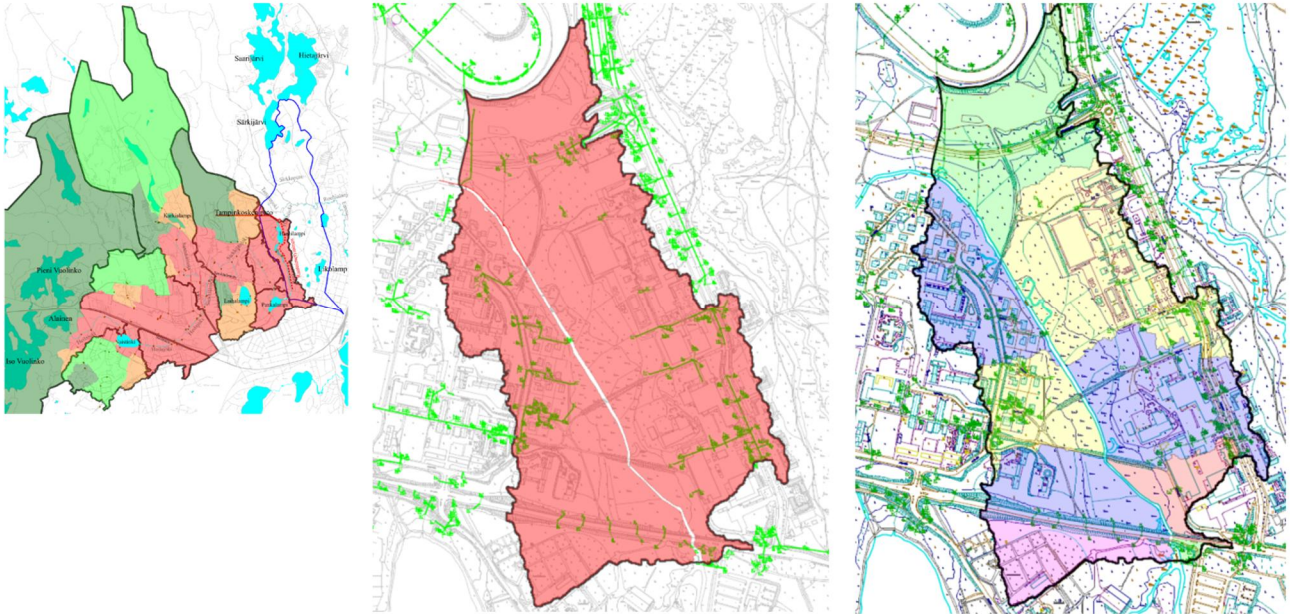
Pankalammen valuma-alueiden muodostaman Seitsennimisen joen osan valuma-alueet saavat kaikki punaisen värin eli korkeimman haavoittuvuusluokan (kuva 2). Vesi päätyy tältä alueelta nopeasti rantaimetymisalueelle. Kaikki pienvaluma-alueet rajoittuvat suoraan vesistöön (Pankalampeen), joten valumavedet niiden sisältämine mahdollisine haitallisine aineineen päätyvät alueella nopeasti vesistöön tulivatpa ne pintavaluntana tai hulevesiviemärointiä pitkin. Kyseisen vesistöjaksos valuma-alueista osassa on hulevesiviemärointiä, joka on johdettu suoraan tai lähes suoraan vesistöön. Pankalammen eteläreunan hulevesiviemärointi on johdettu suoraan putkessa Pankalampeen. Mikaelin parkkipaikan hulevedet on luultavasti johdettu myös Pankalampeen, joskin tarkkaa purkupisteen paikkaa ei kuitenkaan tiedetä.



Kuva 2. Pankalampi. Vasemmalla ja keskellä haavoittuvuuskartta ja oikealla tunnistetut pienvaluma-alueet.

Siekkilänjoki välillä ravirata-Pankalampi

Siekkilänjoki välillä Ravirata-Pankalampi valuma-alueiden muodostaman Seitsennimisen joen osan valuma-alueet saavat kaikki punaisen värin eli korkeimman haavoittuvuusluokan (kuva 3). Valumavesi päätyy tältä alueelta nopeasti rantaimetymisalueelle. Kaikki pienvaluma-alueet rajoittuvat suoraan vesistöön, Siekkilänjokeen, joten valumavedet niiden sisältämine mahdollisine haitallisine aineineen päätyvät alueella nopeasti vesistöön tulivatpa ne pintavaluntana tai hulevesiviemärointiä pitkin. Kyseisen vesistöjaksos valuma-alueista osassa on hulevesiviemärointiä, joka on johdettu suoraan tai lähes suoraan vesistöön. Vaikka hulevesiviemäroinnin purku ei ulotu alueella suoraan jokiuomaan kyseinen jokipätkä kuitenkin tulvii keväisen ylivalunnan aikana ja tulvat huuhtovat aineita mukaan isommalta alueelta kuin mitä kartassa esitetty jokiuoma antaa olettaa.



Kuva 3. Siekkilänjoki väli Ravirata-Pankalampi. Vasemmalla ja keskellä haavoittuvuuskartta ja oikealla tunnistetut pienvaluma-alueet.

Siekkilänjoki välillä Savilahdenkatu-ravirata

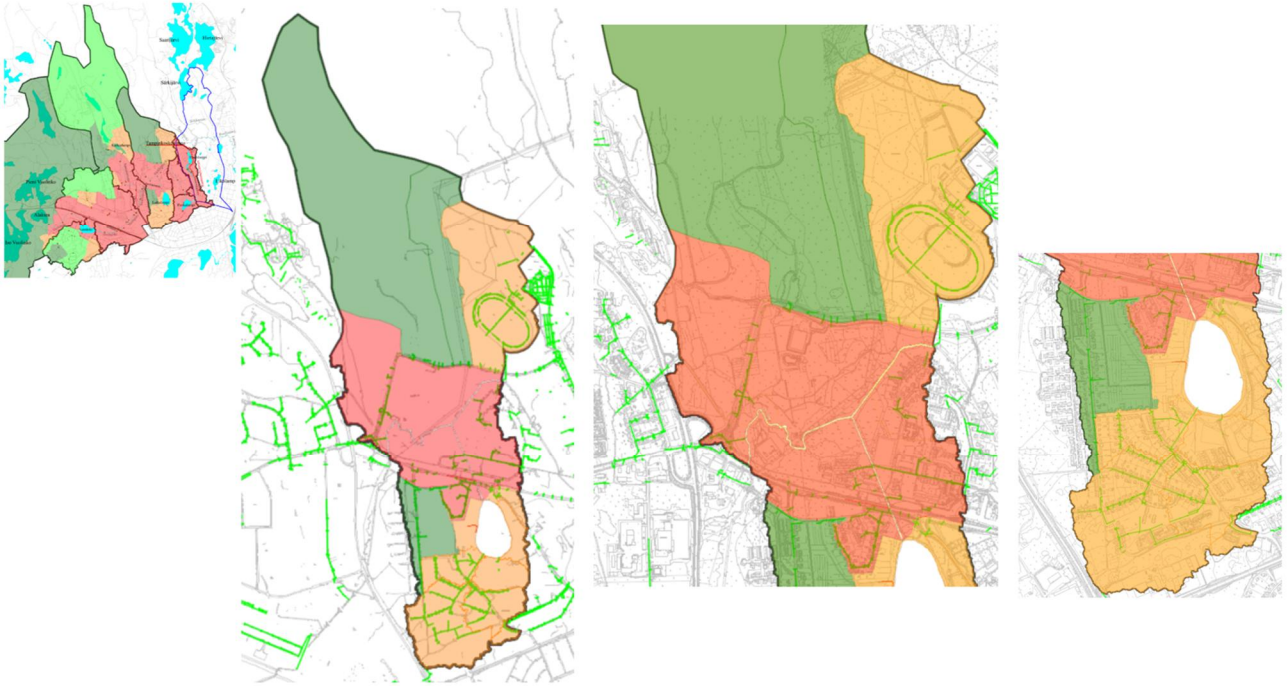
Siekkilänjoki välillä Savilahdenkatu-Ravirata saa korkeimman haavoittuvuusluokan niiltä osin, joilta pienvaluma-alueet rajoittuvat Siekkilänjokeen sekä Laihalammen ja Siekkilänjoen yhdistävältä oja osuudelta (kuva 4 ja 5). Valumavedet niiden sisältämine mahdollisine haitallisine aineineen voivat päätyä alueella nopeasti vesistöön tulivatpa ne pintavaluntana tai hulevesiviemärintä pitkin. Kyseisen vesistöjakson valuma-alueista osassa on hulevesiviemärintä, joka on johdettu suoraan tai lähes suoraan vesistöön.

Kohonneen haavoittuvuusluokan (oranssi väri) saa Raviradan ja jäähallin alue sekä Laihalammen ympäristö ja pääosa Lehmuskylää. Lehmuskylän oranssilla värillä väritetyltä alueelta hulevedet saapuvat nopeasti hulevesiviemäriin Laihalammen kuten myös Laihalammen ympäristön hulevedet. Laihalampi kuitenkin pidättää hulevesiä ja niiden kuljettamia haitta-aineita. Laihalampi purkaa vettä lähinnä kevään ylivalunnan aikaan. Riski muodostuukin lähinnä ylivaluntatilanteesta.

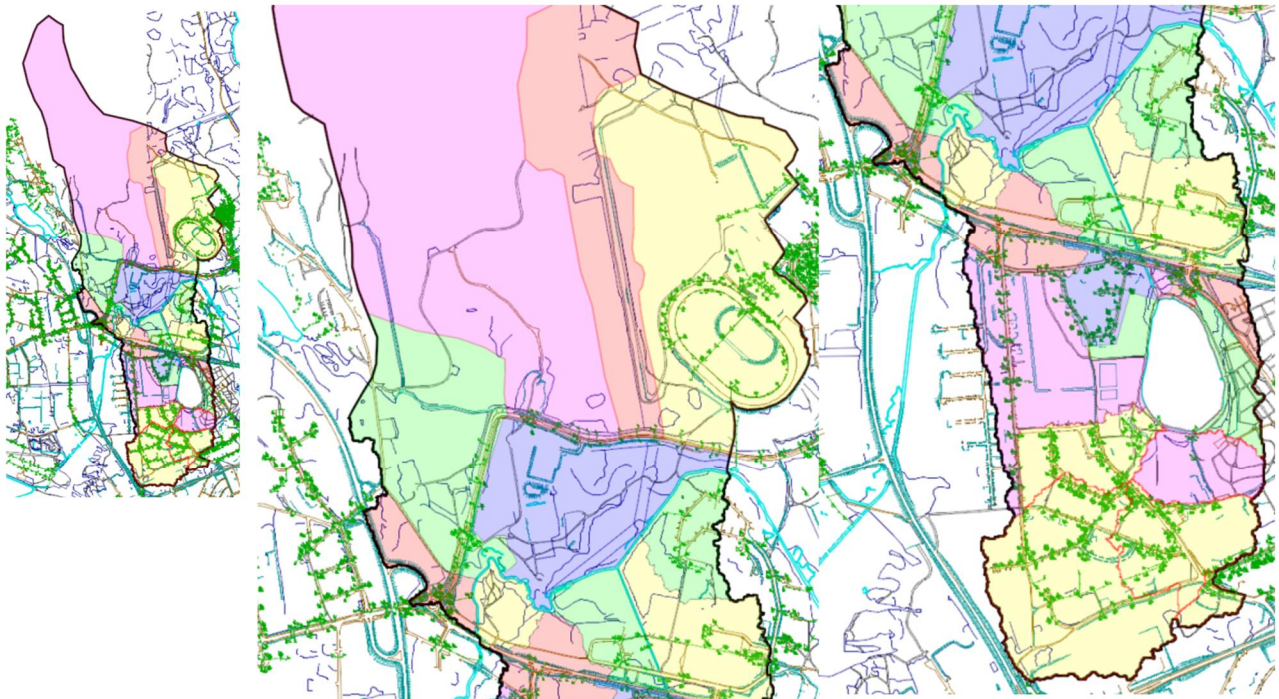
Raviradan ja jäähallin alue on kyllä viemäroity, mutta hulevesillä kestää pidempään kulkeutua Siekkilänjokeen. Tilanne voi kuitenkin muuttua alueen kehittymisen myötä. Hulevesienhallinta tulisi ottaa huomioon alueen suunnittelussa.

Matalan haavoittuvuusluokan (tumma vihreä väri) saa Kalevankankaantien pohjoispuoli ja Lehmuskylän asuinalueen osa, joka purkaa vetensä puistoalueelle. Molempien alueiden on ajateltu

pidättävän valumavesiä niin pitkään, että riski niiden kautta tulevasta haitta-aineesta on pieni.
Tilanne voi muuttua alueidenkäytön muuttumisen yhteydessä.



Kuva 4. Siekilänjoki väli Savilahdenkatu-Ravirata haavoittuvuuskartta eri etäisyyksiltä.



Kuva 5. Siekilänjoki väli Savilahdenkatu-Ravirata tunnistetut pienvaluma-alueet.

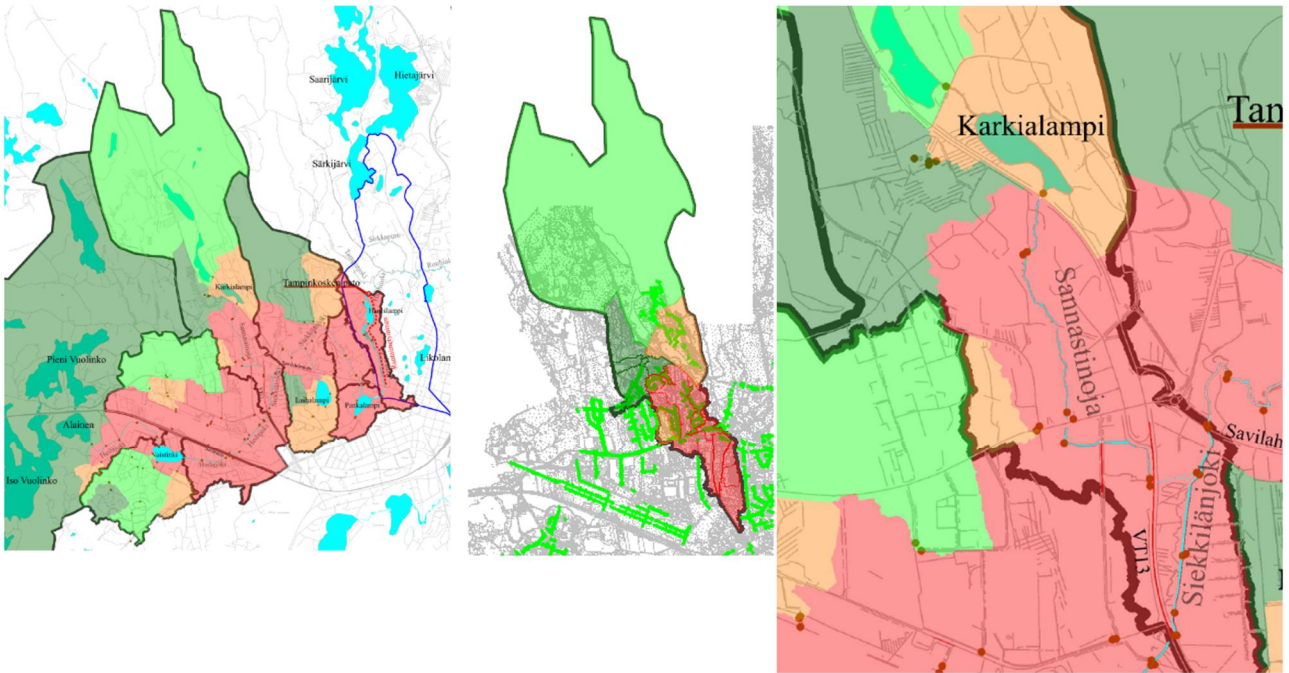
Siekkilänjoki välillä VT13-Savilahdenkatu

Siekkilänjoki välillä VT13-Savilahdenkatu saa korkeimman haavoittuvuusluokan niiltä osin, joilta pienvaluma-alueet rajoittuvat Siekkilänjokeen tai Sannastinpuroon (kuva 6 ja 7). Näiltä valuma-alueilta vedet tulevat nopeasti Siekkilänjokeen ja siitä edelleen Hanhिलampeen.

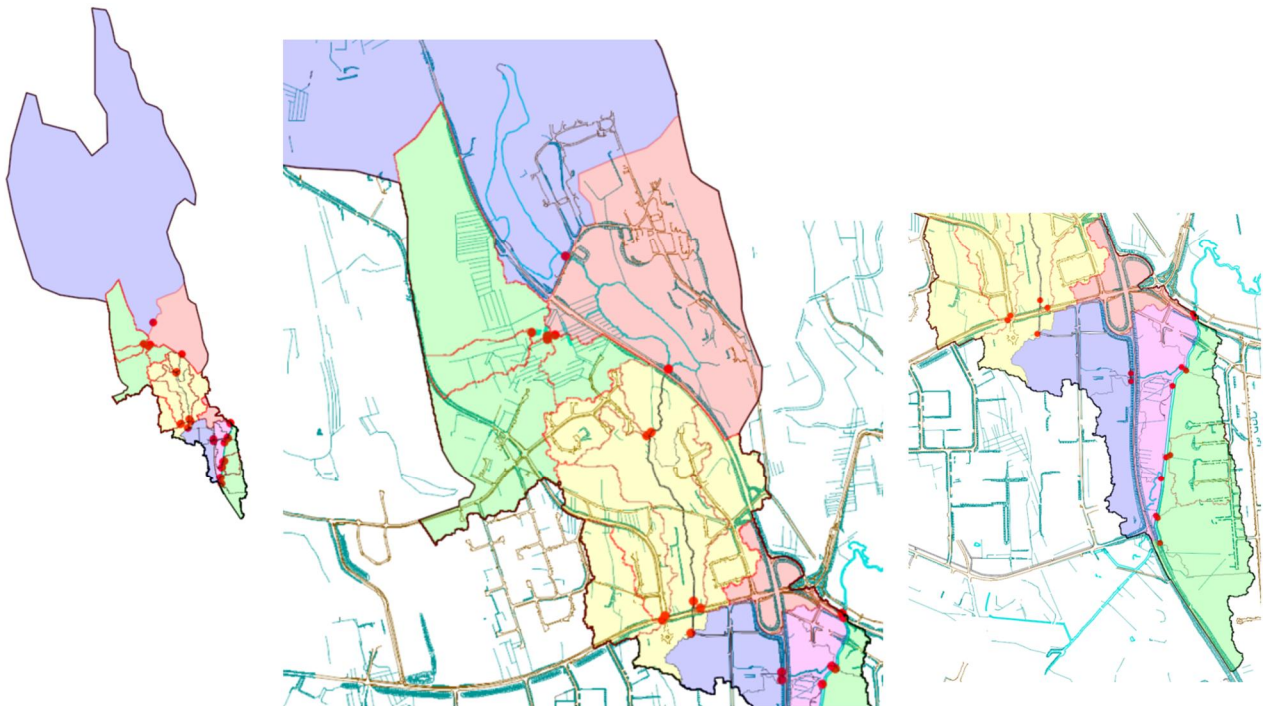
Kohonneen haavoittuvuusluokan saa Vuolingonkadun ja Karjalanharjuntien välissä sijaitseva pääasiallisesti puistoalueita sisältävä pienvaluma-alue sekä Karkialammen ympäristön valuma-alue. Puistoalueella vedet kulkevat avo-ojissa pidemmän matkan ennen kuin ne päätyvät Sannastinpuron kautta Siekkilänjokeen. Karkialampi puolestaan tasaa tilavuutensa puolesta valumavesien vaikutuksia. Suotuisissa olosuhteissa molemmista vesi kuitenkin päätyy nopeasti Sannastinpuron kautta Siekkilänjokeen.

Keskinkertaisen haavoittuvuusluokan saa pohjoisen Paloinlammen ja Keskilammen käsittävät alueet. Tämä valuma-alue sisältää myös tumman vihreitä valuma-alueita, mutta niitä ei ole vielä tunnistettu, joten koko valuma-alue saa vaalean vihreän keskinkertaisen haavoittuvuusluokan. Keväisessä ylivaluntatilanteessa Paloinlammen vesi ja siihen esimerkiksi Jyväskyläntieltä päätyvät haitta-aineet voivat kulkeutua nopeasti Keskilammen ja Karkialammen kautta Sannastinpuroon.

Matalan haavoittuvuusluokan saa Karjalanharjuntien ja Jyväskyläntien väliin jäävät valuma-alueet. Niissä on hulevesiviemärointiä, mutta alueen hulevedet (ja myös muut valumavedet) kulkevat hitaasti Karkialampeen, josta edelleen Sannastinpuroon.



Kuva 6. Siekkilänjoki väli Jyväskylänentie-Savilahdenkatu, haavoittuvuuskartta eri zoomauksilla.



Kuva 7. Siekkilänjoki väli Jyväskylänentie-Savilahdenkatu, tunnistetut pienvaluma-alueet.

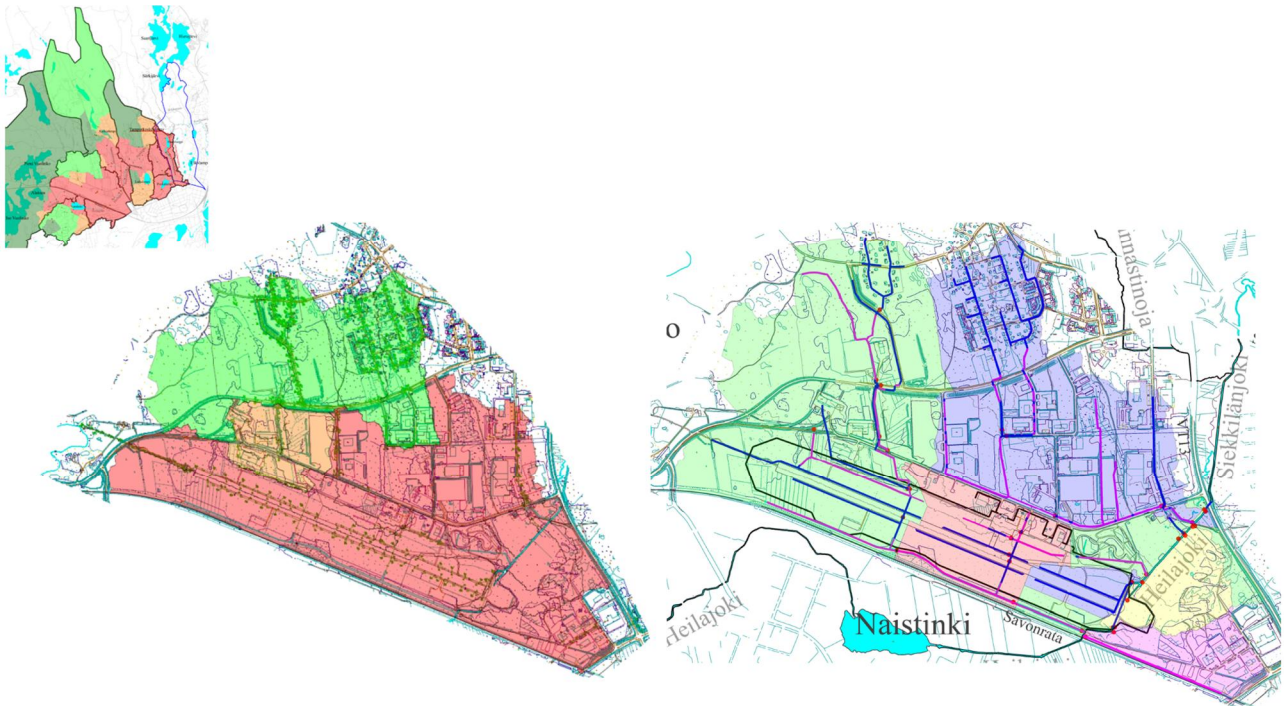
Heilajoki välillä Savonrata-VT13

Heilajoki välillä Savonrata-VT13 saa korkeimman haavoittuvuusluokan niiltä osin, joilta pienvaluma-alueet rajoittuvat Heilajokeen (kuva 8). Lisäksi punaisen värin saavat lentokenttä-alueen valuma-alueet. Lentokentän tehokkaan kuivautuksen saavuttamiseksi alueelle on rakennettu hulevesiviemärointi, joka tuo alueen valumavedet nopeasti Lentokentän viereiseen ojan kautta

Heilajokeen. Myös teollisuusalueet välillä Vuolingonkatu ja Lentokentänkatu saavat korkeimman haavoittuvuusluokan, koska niillä on paljon pinnoitettuja alueita, joissa muodostuu paljon hulevesiä. Teollisuusalueen hulevesillä on myös nopea yhteys Heilajokeen.

Kohonneen haavoittuvuusluokan saa alueen länsilaidalla oleva Vuolingonkadun ja Lentokentänkadun teollisuusalueiden osuus. Se on vielä tällä hetkellä suurelta osin luonnontilassa. Mikäli alue otetaan käyttöön ja hulevesiviemäroidään alue nousee korkean haavoittuvuusluokan alueeksi.

Tuskun asuinalueet saavat keskinkertaisen haavoittuvuusluokan. Tämä valuma-alue sisältää myös Vuolingonkadun eteläpuolella olevia teollisuusalueita, joiden väri pitäisi olla punainen (korkea haavoittuvuusluokka). Pienvalmu-aluejakoa ei kuitenkaan ole tehty Vuolingonkadun mukaisesti, eikä valuma-alueita ruvettu tässä yhteydessä jakamaan. Tästä syystä myös Vuolingonkadun etelän puoliset teollisuusalueet saavat vaalean vihreän värin eli keskinkertaisen haavoittuvuusluokan.

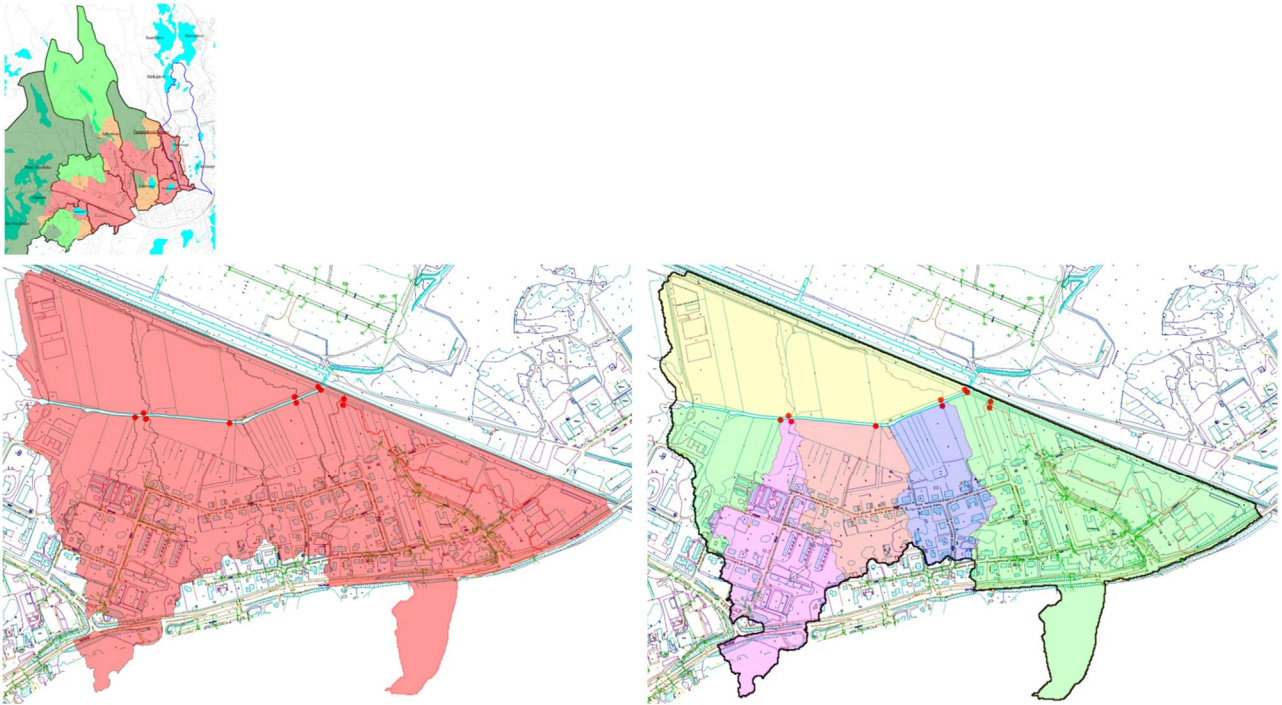


Kuva 8. Heilajoki väli Savonrata-Jyväskyläntie. Haavoittuvuuskartta vasemmalla ja keskellä. Oikealla tunnistetut pienvalmu-alueet. Huomioi linkittyneet valuma-alueet kuvassa tunnistetut pienvalmu-alueet (vihreät vasemmalla ja siniset oikealla, joissa on yhteiset purkupisteet.)

Heilajoki välillä Naistinki-Savonrata

Heilajoki välillä Naistinki-Savonrata saa kaikilta osin korkean haavoittuvuusluokan (kuva 9).

Valumavedet niiden sisältämine mahdollisine haitallisine aineineen voivat päätyä alueella nopeasti vesistöön tulivatpa ne pintavaluntana tai hulevesiviemärointiä pitkin.



Kuva 9. Heilajoki väli Naistinki-Savonrata. Haavoittuvuuskartta vasemmalla ylhäällä ja vasemmalla alhaalla. Oikealla tunnistetut pienvaluma-alueet.

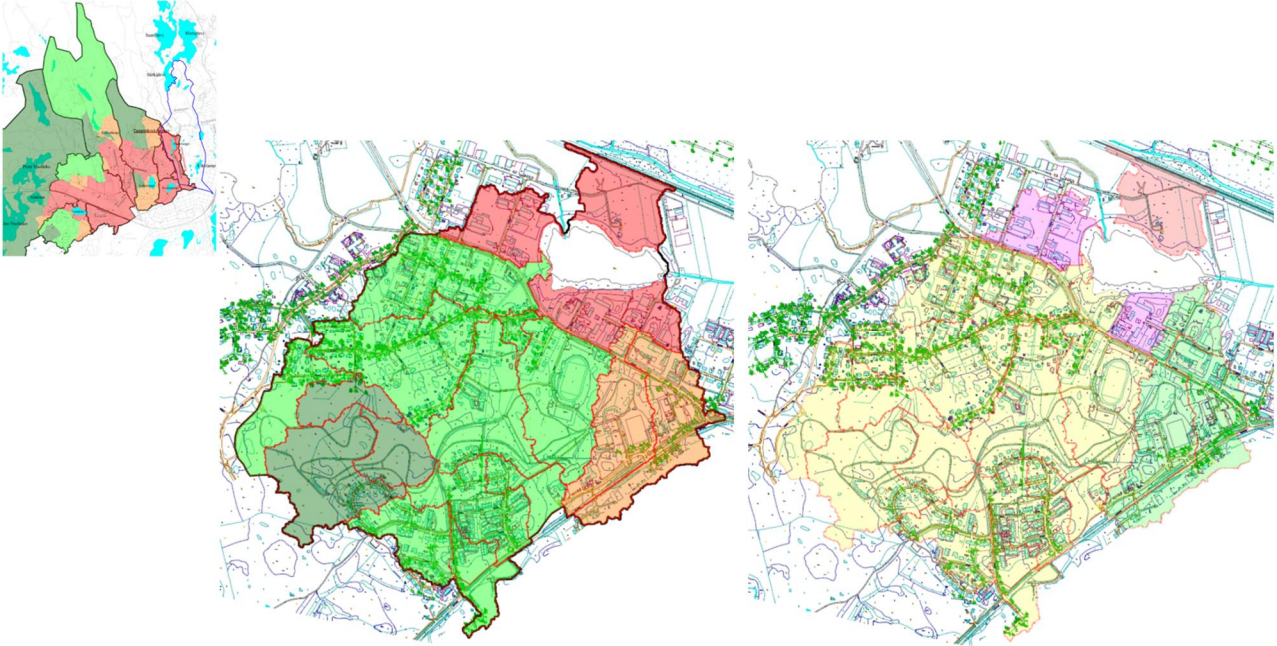
Naistinki

Naistinkiin rajoittuvat valuma-alueet saavat yhtä lukuunottamatta kaikki korkean haavoittuvuusluokan (kuva 10). Valumavedet niiden sisältämine mahdollisine haitallisine aineineen voivat päätyä alueella nopeasti vesistöön tulivatpa ne pintavaluntana tai hulevesiviemärointiä pitkin.

Iso keskinkertaisen riskin alue (vaalean vihreä väri, kuva 10, keskellä), joka rajautuu Naistinkiin, ei saa korkeaa haavoittuvuusluokkaa, koska alueen vedet kulkevat hulevesikosteikon läpi, joka on suunniteltu siten, että sen pitäisi pidättää alueelta tulevaa hulevesikuormaa.

Kohonneen haavoittuvuusluokan saa kauppa ja jakeluasemia sisältävät pienvaluma-alueet. Niistä hulevedet päätyvät ensin hulevesiviemärissä sitten avo-ojissa Naistingin luusuaan, josta edelleen nopeasti eteenpäin pitkin Heilajokea.

Matalan haavoittuvuusluokan saa Rantakylän puistoalue, jonka vedet päätyvät hitaasti Naistinkiin.



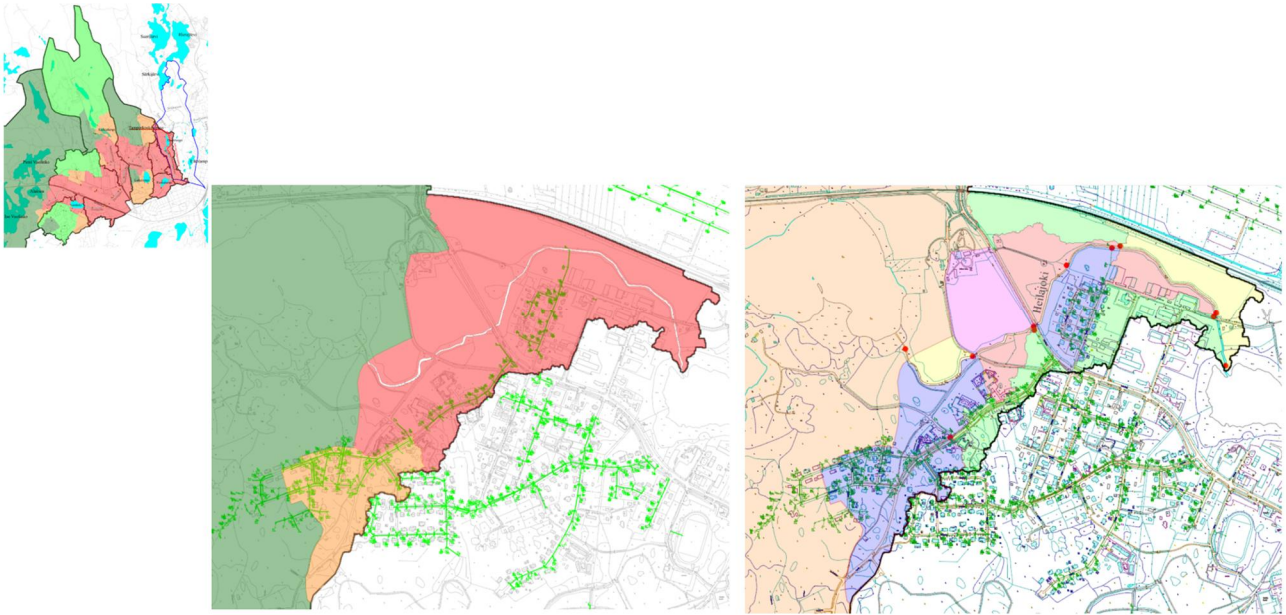
Kuva 10. Naistinki. Vasemmalla ja keskellä haavoittuvuuskartta. Oikealla tunnistetut pienvaluma-alueet. Huomioi, että keltaiset alueet ovat linkittyneet toisiinsa eli niistä kaikista vesi päätyy lopulta saman purkupisteen kautta Naistinkiin. Sama koskee kahta vihreää pienvaluma-aluetta aivan oikeassa reunassa.

Heilajoki välillä Alainen-Naistinki

Heilajoki välillä Alainen -Naistinki korkeimman haavoittuvuusluokan saa pienvaluma-alueet, jotka rajoittuvat Heilajokeen (kuva 11). Valumavedet niiden sisältämine mahdollisine haitallisine aineineen voivat päätyä alueella nopeasti vesistöön tulivatpa ne pintavaluntana tai hulevesiviemärointiä pitkin. Kyseisen vesistöjakson valuma-alueista osassa on hulevesiviemärointiä, joka on johdettu suoraan tai lähes suoraan vesistöön.

Kohonneen haavoittuvuusluokan saa eteläosassa sijaitseva pienvaluma-alue, jolla on hulevesiviemärointi, mutta alueen hulevedet kulkevat avo-ojissa ennen niiden purkautumista Heilajokeen.

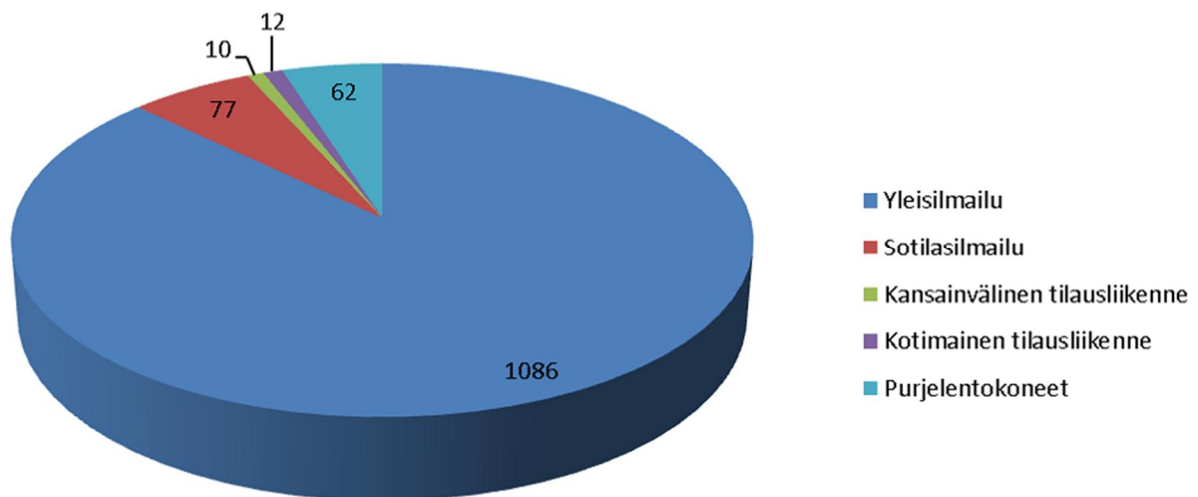
Pieni Vuolingon, Iso Vuolingon, Alaisen käsittävän ison valuma-alueen tumman vihreän värin eli matalan haavoittuvuusluokan perusteluna on alueen vesistöjen suuri tilavuus, johon hulevedet ja muut valumavedet ja niiden mahdollisesti sisältämät haitta-aineet voivat sekoittua.



Kuva 11. Heilajoki väli Alainen- Naistinki. Haavoittuvuuskartta vasemmassa reunassa ja keskellä. Oikealla tunnistetut pienvaluma-alueet.

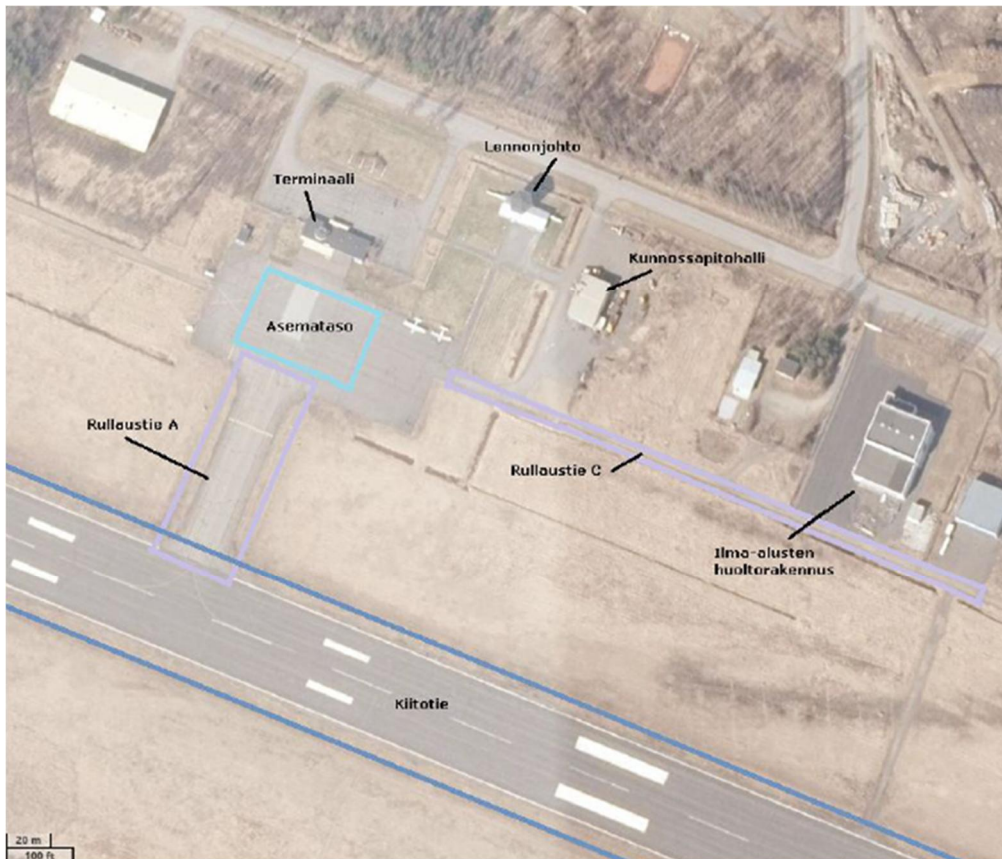
LIITE 16**Mikkelin lentoasema**

Mikkelin lentoasema on aloittanut toimintansa vuonna 1937. Lentokentällä on suoritettu reittiliikennetoimintaa vuosina 1951-2005, mutta vuoden 2005 jälkeen kentällä ei ole enää ollut säännöllistä reittiliikennettä. Vuosina 2005-2015 lentoliikenne on muodostunut yleisilmailusta, tilauslentoista, harrastetoiminnasta sekä sotilasilmailusta. Laskeutumisten kokonaismäärä Mikkelin lentoasemalla on ollut 2005-2015 noin 1300 kpl/vuosi. Vuoden 2015 loppupuolella lentoaseman yhteyteen avattiin Suomen ensimmäinen pysyvä miehittämättömien ilma-alusten koelentokeskus. (Mikkelin lentoaeman ympäristölupa, 2017, s 5, 6.) Vuoden 2020 alusta saakka Mikkelin lentoasema on toiminut korpikenttänä eli kentällä ei ole ollut lennonjohtoa. Vuonna 2021 kenttä on tarkoitus saada taas liikennelentokuntoon. (Kahilakoski, 2021.) Lentokentällä on voimassa oleva ympäristölupa ISAVI/971/2016.



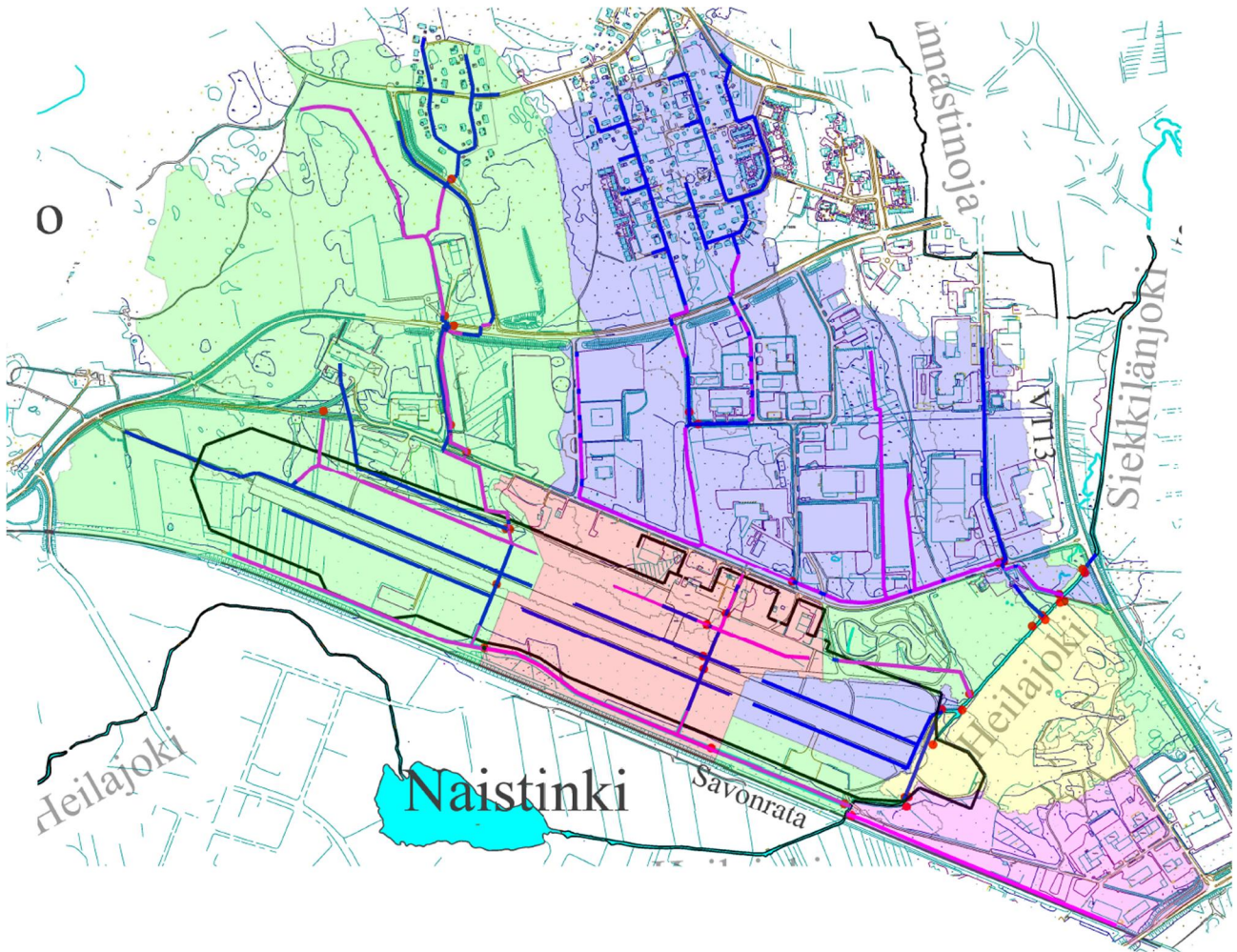
Kuva 1. Mikkelin lentoaseman keskimääräinen lentoliikenne 2005-2015 (Mikkelin lentoaeman ympäristölupa, 2017, s 7).

Mikkelin lentokentällä on yksi asfalttipäällysteinen 1700 metriä pitkä kiitotie, jonka pinta-ala on 7,6 ha, asematason pinta-ala on 0,2 ha ja rullausteiden pinta-ala on yhteensä 0,38 ha. Mikkelin lentoasemalle laskeudutaan yleisimmin idästä länteen. (Mikkelin lentoaeman ympäristölupa, 2017, s 6, 7.)



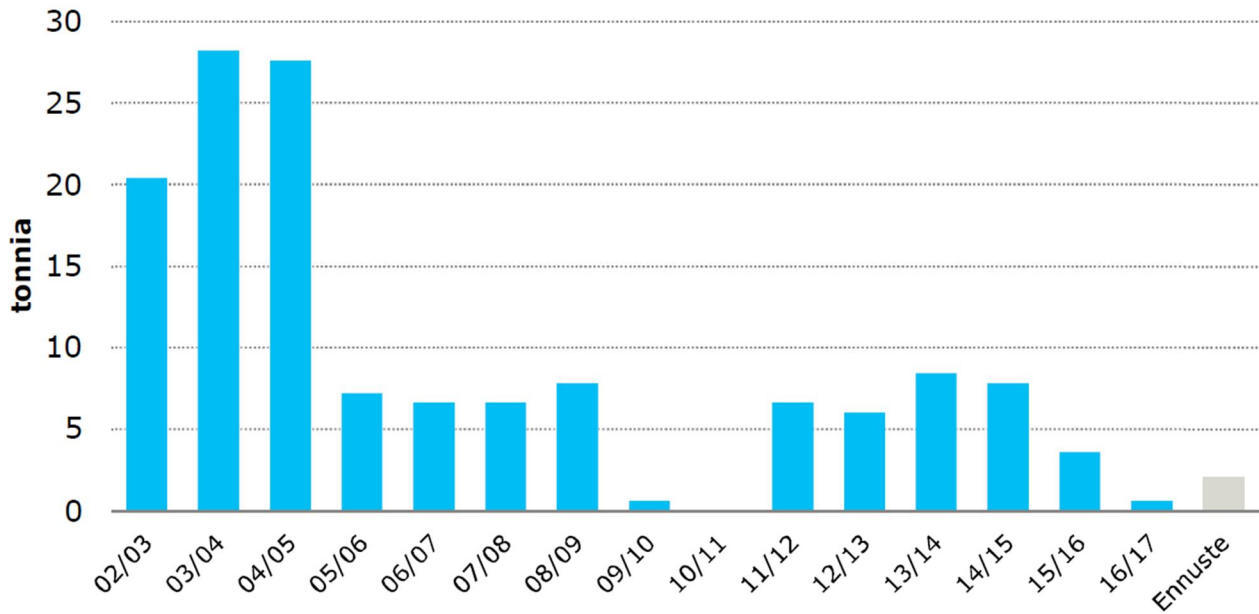
Kuva 2. Mikkelin lentoaseman toiminnot. (Mikkelin lentoaeman ympäristölupa, 2017, s 6).

Lentoaseman pintavesiin kohdistuva kuormitus koostuu pääosin kenttäalueen ja rullausteiden talvikunnossapidosta (liukkaudentorjunnasta) sekä ilma-alusten jäänpoisto- ja jäänestokäsittelyistä. Kuormitusta syntyy kun kemikaaleja sisältävät vedet päätyvät avo-ojien ja hulevesiviemäroinnin kautta Heilajokeen. Talvella suurin osa liukkaudentorjunta-aineista päätyy auras- ja harjapuhallinkaluston siirtämänä kiitotien vierustan nurmialueelle ja siitä edelleen avouomien ja hulevesiviemäriverkoston kautta Heilajokeen. (Mikkelin lentoaeman ympäristölupa, 2017, s 6,16, 17.) Kuvassa 3 on esitetty lentokentän valuma-alueet, hulevesiviemärit ja avo-ojat sekä purkupisteet. Kuvasta nähdään, että lentokentän kautta ohjataan myös osa Tuskun asuinalueen ja teollisuusalueen hulevesistä (vihreä alue).



Kuva 3. Lentokentän valuma-alueet, avo-uomat, hulevesiviemärit ja purkupisteet. Avo-uomat on esitetty lilalla viivalla, hulevesiviemärit sinisellä viivalla, purkupisteet punaisella pisteellä. Valuma-alueet on esitetty vihreällä, violetilla ja hailakan punaisella värillä. Lentokentän aidalla rajattu alue on esitetty mustalla viivalla.

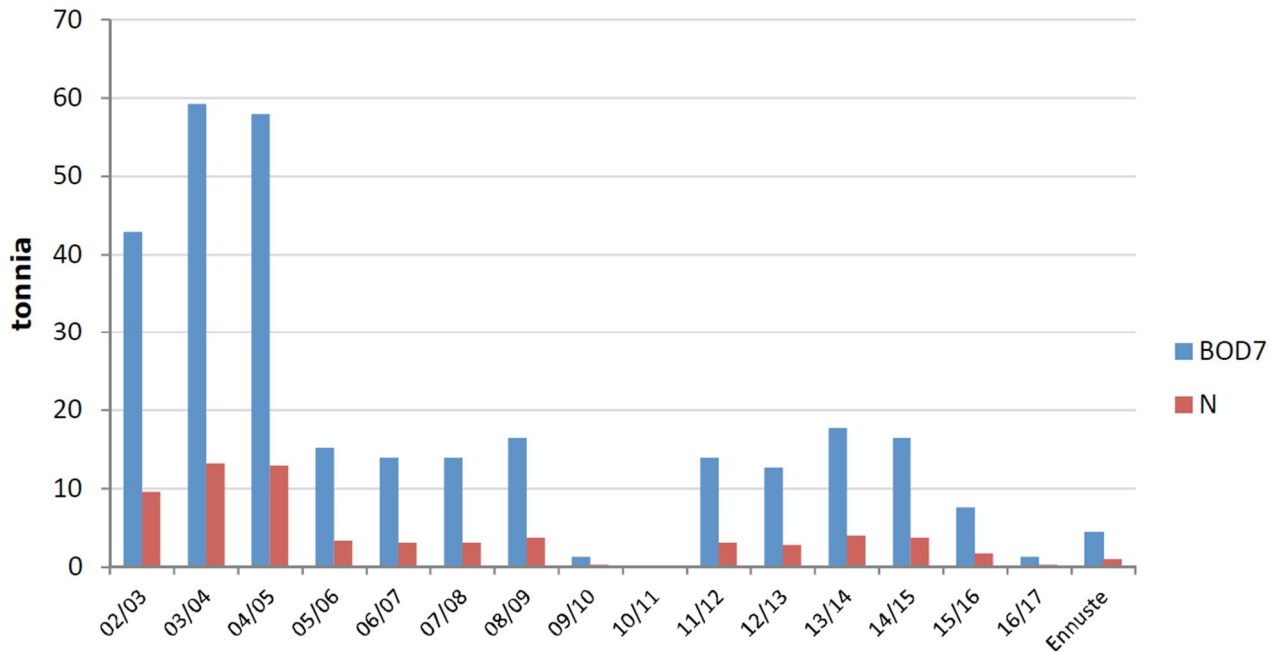
Lentokentän liukkauden torjunnassa on käytetty vuoteen 2017 saakka ainoastaan ureaa, lukuunottamatta vuotta 2015, jolloin urean rinnalla on käytetty koeluontoisesti myös asetaattipohjaista liukkaudentorjunta-ainetta. Kuvassa 4 on esitetty urean käyttömäärät vuosina 2002-2015. Urean käyttömäärät ovat vaihdelleet 0-28,2 tonnin välillä vuosina 2002-2015. Urea on varastoitu lentokentällä noin 5000 kg – 600 kg suursäkeissä ja levitetty kiitotielle säkki kerrallaan. Nykyinen ympäristölupa sallii enää käytettävän ureaa 2,5 t/v. Muuten täytyy käyttää ympäristölle haitattomampia liukkaudentorjunta-aineita. (Mikkelin lentoaeman ympäristölupa, 2017, s 11; Mikkelin lentoaseman ympäristöluvan 23.2.2017 nro 8/2017/1 urean käyttöä koskevan lupamääräyksen 2 muuttaminen ja toiminnanaloittamislupa, 2019, s 10.)



Kuva 4. Urean käyttö Mikkelin lentoasemalla vuosina 2003-2017 (Hanski & al, 2017, s.11).

Urea on vesiliukoinen typpipitoinen yhdiste, joka voi aiheuttaa pintavesien rehevöitymistä ja typpiyhdisteiden määrän kasvua pohjavedessä. Hajotessaan urea muodostaa hiilidioksidia ja ammoniakkia, joka näkyy vedenlaatutiedoissa mm. biologisena hapenkulutuksena. (Mikkelin lentoaeman ympäristölupa, 2017, s 16.)

Kuvassa 5 on esitetty urean käytöstä aiheutunut laskennallinen ympäristökuorma. Laskennassa on käytetty urean biologisen hapenkulutuksen arvona (BOD7) teoreettista hapenkulutusarvoa 2,1 g O₂/g (2 100 mg/g) ureaa ja urean aiheuttaman typpikuormituksen laskennassa kerrointa 0,466 g/g. (Hanski & al, 2017, s.11.)



Kuva 5. Urean käytöstä Mikkelin lentoasemalla aiheutunut laskennallinen happea kuluttava kuormitus (BOD₇) ja typpikuormitus vuosina 2002-2017 (Hanski & al, 2017, s.11).

Urean käytön vähentyessä myös sen käytöstä aiheutuva typpi- ja happea kuluttava kuormitus (BOD₇) on vähentynyt 2000 -luvun aikana. Typpikuormitus on ollut vuosina 2002-2005 keskimäärin noin 12 tonnia/talvikausi ja BOD₇ keskimäärin 53 tonnia/talvikausi. Ajanjaksolla 2005-2015 typpikuorma on ollut keskimäärin 2,7 tonnia/talvikausi ja BOD₇ keskimäärin noin 12 tonnia/talvikausi. Vuosina 2015-2017 typpikuormitus on ollut enää keskimäärin 1 tonnia/talvikausi ja BOD₇ noin 1,3-7,6 tonnia /talvikausi. (ISAVI/4763/2018, 2019, 5)

Ureaa käytettiin talvikautena 2017-2018 600 kg ja talvikautena 2019-2020 1000 kg (Viljakainen, 2021). Näiden talvikausien laskennalliset BOD₇ kuormat ovat siis olleet 1,3 tonnia ja 2,1 tonnia ja typpikuormat 0,3 t ja 0,5 t.

Talvikautena 2018-2019 liukkaudentorjuntaan käytettiin natriumasetaattirakeita yhteensä 4 t (n. 3,88 tonnia 100 % tuotteeksi muutettuna). Ureaa ei käytetty talvikautena 2018-2019 ollenkaan. Natriumasetaattirakeet eivät sisällä ravinteita. Natriumasetaatin käytöstä aiheutuva biologisen hapenkulutuksen (BOD₇) kuormitus oli laskennallisesti 2,0 tonnia. Arviossa natriumasetaatin BOD₇ arvona on käytetty 0,52 g O₂/g. (Partanen & Kiukas, 2019.)

Nykyinen ympäristöluvan mukainen urean käyttömäärä, 2,5 tonnia/talvikausi, aiheuttaisi laskennallisesti BOD₇ osalta 5,3 tonnia/talvikausi ja typen osalta 1,2 tonnia/talvikausi ympäristökuorman.

Liukkauden torjunta-aineiden lisäksi pintavesiin aiheutuu kuormitusta glykolipohjaisten jäänpoisto- ja -estoaineen käytöstä. Mikkelin lentoasemalla käytetään propyleeniglykolia sisältäviä Safewing I ja IV -kemikaaleja. Safewing I käytetään veteen sekoitettuna suhteella 1:1 ja Safewing IV käytetään sellaisenaan. Käyttömäärät ovat vaihdelleet vuosittain 0-200 litran väliltä. Jäänesto- ja poistokäsittely tehdään lentokentän asematasolla. Pesukertoja on keskimäärin 5 kpl/vuosi. Jäänpoistoainetta (tyyppi 1) ja jäänestoainetta (tyyppi 4) varastoidaan 1 000 litran häkkisäiliöissä.

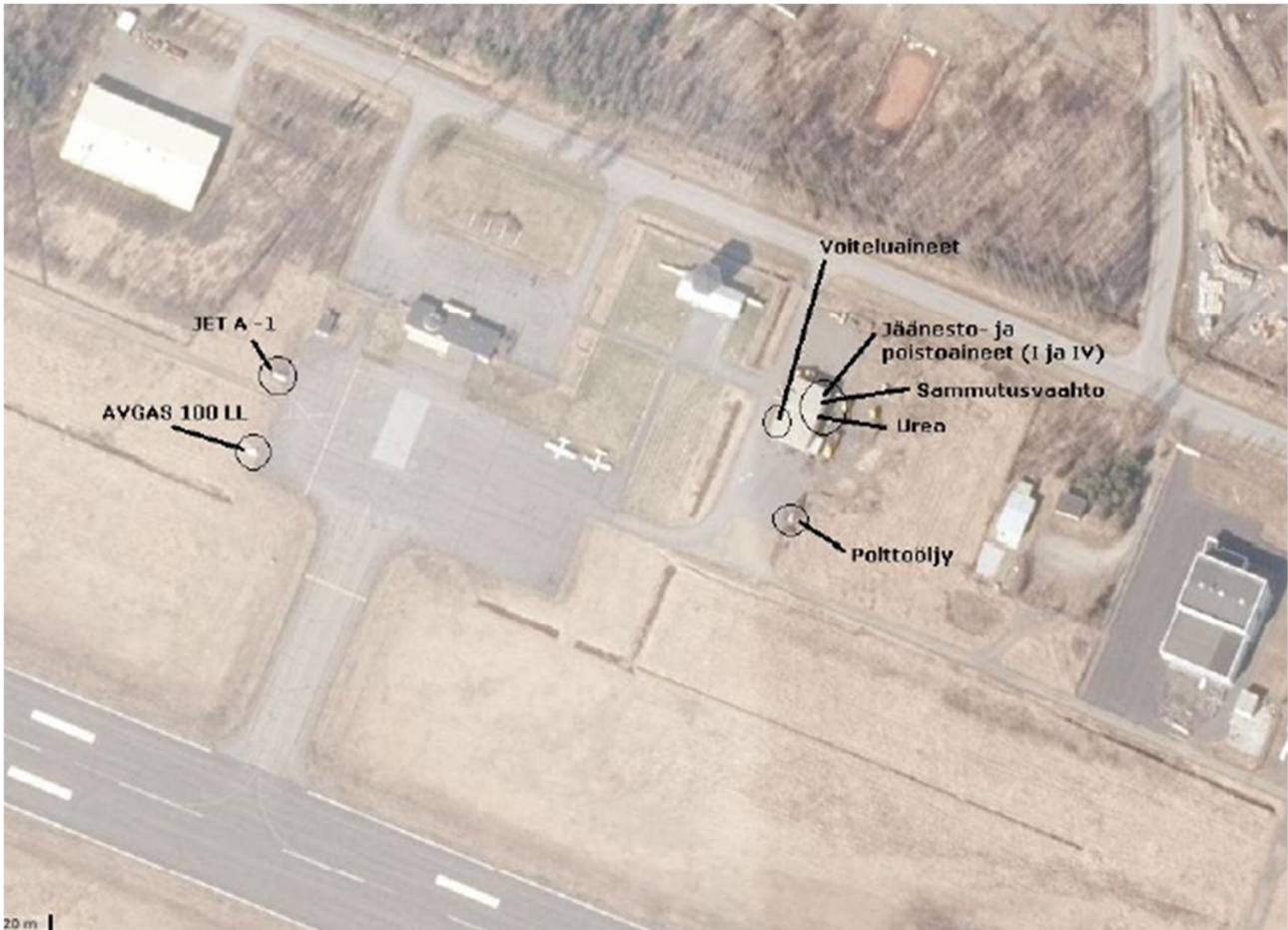
Talvikautena 2018-2019 jäänpoistoaineena käytettiin 790 litraa glykolipohjaista Safewing I kemikaalia (n. 658 kg 100% tuotteeksi muutettuna). Tuote sisältää propyleeniglykolia ja vettä. Safewing kemikaali sisältää vain vähän lisäaineista peräisin olevia ravinteita eikä siitä katsota syntyvän kiintoaineskuormaa. Biologisen hapenkulutuksen arvona on käytetty Safewing tyyppin 1-nesteelle käyttötiedotteessa annettua BOD5 -arvoa (0,6 g O₂/g), joka on muunnettu BOD7 -arvoksi (0,69 g O₂/g). Laskennallisesti jäänpoistoaineen käytön aiheuttaman biologisen hapen kulutuksen kuormitus oli talvikautena 2018-2019 noin 450 kg. (Partanen & Kiukas, 2019; Viljakainen, 2021.)

Lentokentällä on käytössä seuraavia kemikaaleja:

- Urea (rakeinen), kiitotien liukkauden torjunta
- Natriumasetaattirakeita, kiitotien liukkauden torjunta
- Jäänestoaine Safewing I, IV, lentokoneiden jäänpoisto ja jäänesto
- Polttoaine, autot (diesel ja bensiini)
- Polttoöljy, koneet
- Piki, kiitotien pintavaurioiden korjaus
- Sammutusvaahtoneste (kalvovaaho AFFF), pelastustyöt
- Suihkuturbiinien polttoaine, FinnHEMS- pelastushelikopteritoiminta
- Polttoaine, mäntämoottoriset lentokoneet (yleisilmailutoiminta)
- Maali, kiitotiemerkinnot (Mikkelin lentoaeman ympäristölupa, 2017, s 13.)

Lentokentällä varastoidaan asematason reunalla JET A-1 turbiinipolttoainetta 4,5 m³ kaksoisvaipallisessa säiliössä ja AVGAS polttoainetta 8 m³ kaksoisvaipallisessa säiliössä. AVGAS 100 LL säiliöllä ja JET A-1 säiliöllä on suoja-allaat ja säiliöt on varustettu ylitäytönestimin. Pinnanmittausjärjestelmä on manuaalinen. Säiliöt on tarkastettu vuosina 2021 ja 2022 ja säiliöt ovat A-luokkaa. (Rekistörinti-ilmoitus, 2022.)

Polttoöljyä käytetään harjapuhaltimen polttoaineena ja sitä varastoidaan kunnossapitohallin lähellä sijaitsevassa maanpäällisessä 5 m³ säiliössä (ks. kuva 6). Säiliöllä ei ole kaksoisvaippasäiliötä eikä sen yhteydessä ole suoja-allasta. Lisäksi kunnossapitohallissa säilytetään lentoaseman koneisiin tarkoitettuja voiteluaineita kutakin lajia enimmillään 10 kg. (Mikkelin lentoaeman ympäristölupa, 2017, s 13.)



Kuva 6. Kemikaalien ja polttoaineiden varastointi Mikkelin lentoasemalla (Mikkelin lentoaeman ympäristölupa, 2017, s 11).

Mikkelin lentoaseman ympäristöluvassa on esitetty velvoite pintavesien tarkkailulle. Kuvassa 7 esitetyistä tarkkailupisteistä PI, P2 ja P3, asemataso tulee ottaa näytteet kerran vuodessa keväällä huhti-toukokuussa. Pisteistä Pankajoki 228 ja Pankalampi 032 näytteet tulee ottaa kaksi kertaa vuodessa (huhti-toukokuussa ja heinä-elokuussa). (Mikkelin lentoaeman ympäristölupa, 2017, s 45; ISAVI/4763/2018. 2019,10.) Näytteistä tulee tarkkailla seuraavia asioita:

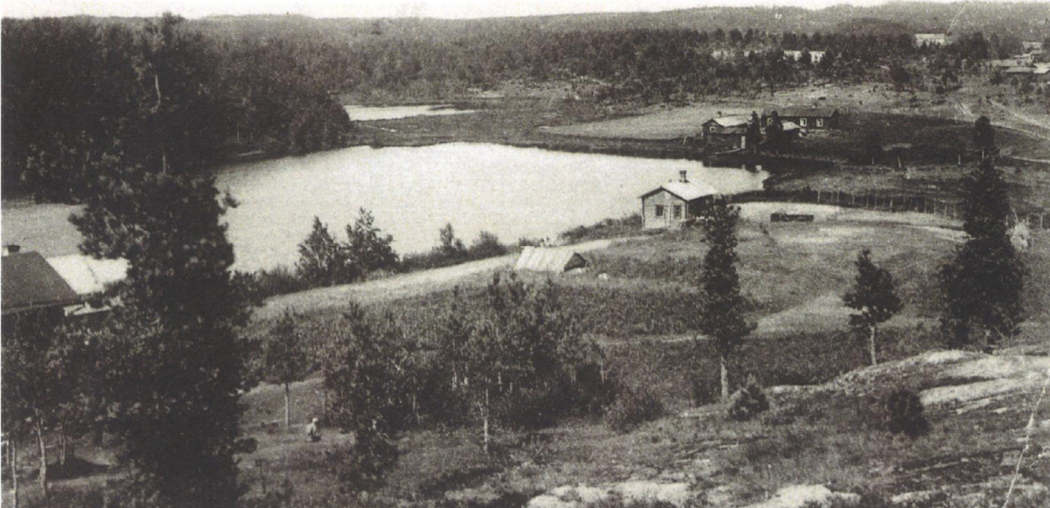
- Kaivopiste PI
 - Lämpötila, happipitoisuus, sameus, virtaaman arviointi
- Ojapiste P2
 - Sähkönjohtavuus, pH, alkaliteetti, virtaaman arviointi
- Ojapiste P3
 - Biologinen hapenkulutus BOD7, kemiallinen hapenkulutus CODcr, kokonaistyyppi, kokonaisfosfori, virtaaman arviointi,
- Asematason purkukohta
 - Mineraaliöljypitoisuus (öljyhiilivedyt)
- Pankajoki 228 ja Pankalampi 032
 - Lämpötila, happipitoisuus, sameus, sähkönjohtavuus, pH, alkaliteetti, biologinen hapenkulutus, kemiallinen hapenkulutus, kokonaistyyppi, kokonaisfosfori.

LIITE 17**Likolampi**

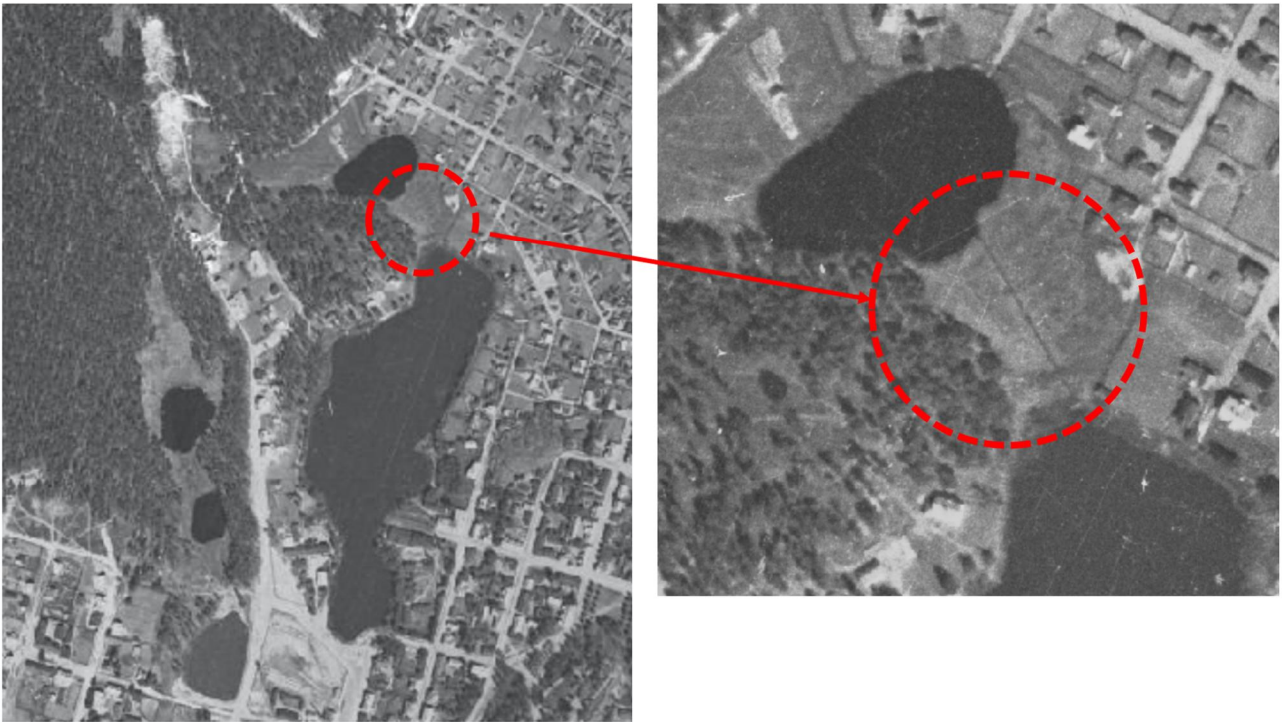
Likolampi on Hanhikankaan pohjavesialueella sijaitseva noin 5 ha:n kokoinen suppalampi. Sen tilavuus on noin 154 000 m³, keskisyvyys 2,9 m ja suurin syvyys 5,8 m. Likolammen pohjasedimentin paksuus on paikoin jopa 5-6 metriä. (Tikka, 1997, 1). Likolammella ei ole tulo- eikä lähtöuomia. Lampi saa vetensä sen noin 16,8 ha + 5 ha kokoiselta valuma-alueelta ja ilmeisesti osittain Hanhikankaan pohjavesiesiintymästä ja suotautumalla pienestä Likolammesta. Likolammesta vesi poistuu haihtumalla ja Hanhikankaan pohjavesiesiintymään.

Likolammen ja Pienen Likolammen yhteys

Likolammen pinta on ollut vuosisadan alussa korkeammalla, samalla korkeudella Pienen Likolammen kanssa. Lampien välinen oja tasasi tuolloin vedenpinnan lampien välillä. 1900 -luvun alussa otetusta kuvasta (kuva 2 ja 3) näkyy lampien välinen suo ja lampia yhdistänyt oja. Oja umpeutui myöhemmin ja Pienen Likolammen pinta oli Isoa Likolampea korkeammalla. Usko Hölttä kaivoi ojan uudelleen auki viljellessään suoaluetta lammen rannalla. Näiden tapahtumien ajankohdasta ei ole tarkkaa tietoa. Vielä 1950 -luvulla suoalueen poikki kaivettu oja yhdisti lammet. (Haapasaari, 2012, s 4). Yhteys hävisi Lamminmäenkadun rakentamisen yhteydessä. Lamminmäenkatu on tehty piirustusten perusteella täyttöjen päälle. Paikan päällä tehdyn tarkastelun perusteella katu ei ole juurikaan painunut, joten täytöt on tehty mahdollisesti louheesta, jolla on saatu riittävä kantavuus. Louhe taas johtaa hyvin vettä, joten on mahdollista, että Iso Likolampi saa vettä myös Pienen Likolammen puolelta katupenkereen läpi suodattamalla. Pienen Likolammen vedenpinta on ison Likolammen vedenpintaa korkeammalla. Tähän ilmiöön viittaisi Ison Likolammen pohjoisen puoleisen päädyn rehevä vesikasvillisuus.



Kuva 1. Ison Likolammen pohjoispäää 1900 -luvun alussa. Taustalla lampia erottava suo ja Pieni Likolampi. Likolampia yhdisti oja, joka tasasi lampien pinnat. (Haapasaari, 2012, s 21).



Kuva 2. Likolammen ilmakuva vuodelta 1933 maanmittauslaitoksen beta-karttapalvelusta otettuna.

Likolampi -pohjavesiyhteys

Likolammen pohjavesiyhteyttä Hanhikankaan pohjavesialueeseen ei tunneta kunnolla. Tällä hetkellä Likolammen vedenkorkeus ei näyttäisi vaihtelevan kovin paljon. Likolammen vedenpinta on kuitenkin ollut aiemmin nykyistä huomattavasti korkeammalla.

Mikkelin vesi- ja ympäristöpiirin tiedon mukaan Likolammen vedenpinta laski 1930-luvulla jostain syystä lähes kaksi metriä, mikä aiheutti happikatoja ja nopeutti ilmeisesti oleellisesti

rehevöitymiskehitystä. (Tikka, 1998, 12.) Likolammen rannalla on havaittavissa nykyisen rantaviivan lisäksi kaksi ylempää rantaviivaa. Ylin rantaviiva vaikuttaa olevan noin kaksi metriä nykyistä korkeammalla ja se edustanee alkuperäistä tilannetta. Likolammen vedenpinnan nopea lasku saattaa johtua Hanhilammen luusuan pohjapadon purkamisesta seuranneesta pohjavedenpintojen nopeasta alenemisesta. Mikkelin vesilaitoksen historiikin mukaan Hanhikankaan pohjavesialueen pohjavedenpinnan korkeus alkoi 1939 toukokuun jälkeen laskea huomattavasti ja seuraavan vuoden loppuun mennessä tilanne oli jo vedenotonkannalta huolestuttava. Tilannetta seuranneissa pohjavesitutkimuksissa todettiin, että pohjavesi virtasi vedenottamoon suurimmaksi osaksi suoraan lännestä päin Hanhilammen suunnalta. Hanhilammesta kymmenen vuotta aikaisemmin Hanhijoen perkaamisen yhteydessä purettu pato rakennettiin uudelleen, jotta veden saanti voitiin turvata. (Leikas, 1981, s32.) Likolammen pinta ei kuitenkaan enää palautunut ennalleen. Likolammen pinta nousi ilmeisesti kuitenkin Hanhikankaan vedenottamon ollessa pois käytöstä vuosina 1959-1968. 1930 -luvulla tapahtuneen Likolammen vedenpinnan korkeuden nopean laskun parempi ymmärtäminen vaatisi lisätutkimuksia alueella.

Likolammen kunnostukset

Likolampea on yritetty kunnostaa eri aikoina ravintoverkkokunnostuksen tyyppisillä tekniikoilla sekä erilaisilla mekaanisilla, että kemiallisilla kunnostutekniikoilla. Osa hankkeista on perustunut luonteeltaan kokeiluasteella oleviin menetelmiin kuten 2001 tehty pohjan pöyhintä. Vuonna 2012 tehtiin lammella kokeiluluonteisena hankkeena polyalumiinikloridiin perustuva ravinteiden saostaminen. Hankkeella saavutettiin odotettu tilapäinen ravinnearvojen ja tuotantotasoon liittyvä paraneminen, mutta tilanne palautui käytännössä reilun vuoden kuluessa ennalleen.

Likolammella tehtyjä kunnostustoimenpiteitä ja tutkimuksia:

- Likolammen eteläpäästä poistettiin matala kynnys ilmastuksen tehokkaan toiminnan varmistamiseksi vuonna 1991 (Mikkelin vesi- ja ympäristöpiiri)
- Lammen ilmastuksen aloittaminen Neutrox ilmastimelle 1991 touko-kesäkuussa (Mikkelin kaupungin teknisen viraston puisto- ja puhtaanapitotoimisto)
 - Katkoksia toiminnassa 1991 heinä-lokakuussa ja vuonna 1992 heinäkuussa ja syksyllä sekä 1993 maaliskuu- ja toukokuussa. 1995 kesällä ilmastin oli myös koeluontoisesti pois päältä 15.5.-13.9. välisenä aikana.
- Kunnostuksen seurantaan liittyvät vedenlaatu- ja sedimenttitutkimukset vuosina 1990-1995 (Mikkelin seudun ympäristökeskuksen vesitutkimuslaitos)
- Pohjaeläinselvitykset vuonna 1990 (Jyväskylän yliopisto)
- Pohjaeläinselvitykset vuonna 1994 (Saimaan ja Kokemäenojan vesistön vesiensuojeluyhdistykset. (Tikka, 1995, s. 1-2.)
- Hoitokalastukset vuosina 1995-97, jonka osana petokalojen siirtoistutus (Etelä-Savon ympäristökeskus, Mikkelin seudun ympäristökeskus) (Tikka, 1997, s. 1)
- Pohjan pöyhintä noin vuonna 2001
- Kemikaliointi vuonna 2012

Lähteet (Likolampi):

Haapasaari, Leena. 2012. Mikkelin Iso Likolampi ja elämää sen rannoilla. 52 s.

Leikas, Jaana. 1981. Mikkelin kaupungin vesi- ja viemärlaitos 1911-1981, Historiikki. 63 s.

Maanmittauslaitos, beta karttapalvelu. 2021. Mikkelin ilmakekuva vuodelta 1933. [Viitattu 2.12.2021]

Saatavissa: <https://beta->

[karttakuva.maanmittauslaitos.fi/wms_ortokuva_time_wcs_wfs3_backend.html?backend=mapserver](https://beta-karttakuva.maanmittauslaitos.fi/wms_ortokuva_time_wcs_wfs3_backend.html?backend=mapserver)

Rautio, Juha. 2011. Mikkelin Pursialan pohjavesialueen haitta-aineet. Diplomityö. Lappeenrannan teknillinen yliopisto.

Tikka, Juha. 1995. Limnologi. Mikkelin seudun ympäristökeskus. Likolammen kunnostuksen vesistöseuranta. ISBN 952-9861-20-6. 11 s.

Tikka, Juha. 1997. Limnologi. Mikkelin seudun ympäristökeskus. Likolammen kunnostuksen vesistövaikutusseuranta 1997. ISBN 952-9861-37-0. 9 s.

Tikka, Juha. 1998. Mikkelin kaupungin raakavedenoton kannalta tärkeiden vesistöjen veden laatu vuosina 1995–1997. Oswald Interkopio Oy. Mikkeli. Mikkelin seudun ympäristökeskuksen julkaisuja 8/1998. 15 s. ISBN 952-9861-46-X, ISSN 1456-0321

| LIITE 18: Toimenpidesuosituks | | Vastuutahot | |
|--|--|--|--|
| Riskiä aiheuttava toiminta | Toimenpide | Varautumissuunnitelma | Toimenpiteet |
| VAK teillä/kaduilla | Liikenneturvallisuuspuutteiden korjaaminen, Hallintaratkaisut mahdollisen onnettomuuden varalle, Varautumissuunnitelma onnettomuuden varalle | Pelastuslaitos, ELY, kaupunki, Ymp.palvelut, vesilaitos | ELY keskus ja kaupunki |
| VAK rautatiellä | Hallintaratkaisut mahdollisen onnettomuuden varalle, Varautumissuunnitelma onnettomuuden varalle | Pelastuslaitos, ELY, kaupunki, Ymp.palvelut, vesilaitos, VR | VR ja kaupunki |
| Teiden suolaaminen | Jyväskylätien suolauksessa siirtyminen kaliumformiaatin käyttöön | | ELY-keskus |
| Teollisuusalueet | Alueella toimivan teollisuuden selvittäminen, Varautumissuunnitelma teollisuusalueelle sattuvan onnettomuuden varalle, Hulevesien hallintaratkaisut ja sulutukset tonteilla ja kaupungin alueilla ennen vesistöön purkua | Kaupunki ja toimijat ja pelastuslaitos | Kaupunki ja toimijat |
| Maanviljely | Torjunta-aineiden tutkiminen pintavesistä erityisesti Hanhilammesta, Mikäli pintavesistä löytyy torjunta-aineita, laaditaan ohjeistus torjunta-aineiden käytöstä kaikille tiedossa oleville torjunta-aineiden käyttäjille | | Kaupunki ja ELY-keskus, Ymp. Palvelut, viljelijät |
| Muodostuvan pohjaveden määrän estyminen/tyrehtyminen | Kalevankankaan entisen koulun alueen säilyttäminen pohjavedenmuodostumis tarkoituksessa puistomaisena alueena. Tekopohjaveden muodostamismahdollisuuden tutkiminen Kalevankankaan entisen koulun alueella. Tiiveysrakentaminen ei ohjaavana tekijänä alueen kehittämisessä | | Kaupunki |
| Hulevedet | Hulevesienhallinnan (viivtyminen ja käsittely) parantaminen Hanhilammen valuma-alueella (3 -portainen hallinta) korkeiden ja kohonneiden haavoittuvuusluokkien alueilla, Sannastinpuron suunnan ja teollisuusalueiden erityishuomiointi, Hulevesiä hallinnoivan työryhmän perustaminen | | Kaupunki ja Ymp.palvelut, ELY-keskus, vesilaitos, XAMK |
| Ilmastonmuutos | Datalockerien käyttäminen pohjaveden muutosten analysoinnissa, Rantaimetyymisen tarkempi tutkiminen ja selvitykset tekopohjaveden muodostamisesta | | Vesilaitos |
| Laatupoikkeamat rantaimetyymän veden laadussa | Geenimarkkerit lämpökestoisten koliformisten bakteerien lähteen selvittämiseksi, Pankalammen kunnostus ilmastuksella | | ELY-keskus ja Ymp.palvelut, Kaupunki |
| Likolampi | Likolammen jatkokunnostuksen selvittäminen, Likolammen ilmastuksen jatkaminen | | Vesilaitos, Ymp.palvelut, ELY-keskus, Kaupunki |
| Öljysäiliöt | Öljysäiliöiden kunnon selvittäminen erityisesti pohjavesialueella | | Ymp.palvelut ja pelastuslaitos ja rakennusvalvonta |
| Golf kenttä | Torjunta-aineiden mittaaminen pintavesistä erityisesti Hanhilammesta, Mikäli pintavesistä löytyy torjunta-aineita, laaditaan ohjeistus torjunta-aineiden käytöstä kaikille tiedossa oleville torjunta-aineiden käyttäjille | | Ymp.palvelut ja ELY keskus, Golf kentän edustajat |
| Huoltoasemat | Varautumissuunnitelma onnettomuustilanteen varalle | Ympäristöpalvelut ja pelastuslaitos ja kaupunki ja huoltoaseman edustaja | |
| Lentokenttä | Varautumissuunnitelma onnettomuustilanteen varalle, Huleveien hallintaratkaisuiden kehittäminen osana hulevesien ja onnettomuuksien hallintaa | Kaupunki ja Ympäristöpalvelut ja pelastuslaitos | Kaupunki |
| Jätevesiviemärit | Paineviemäreiden kunnon kartoitus ja mahdollinen saneeraaminen | | Mikkelin vesilaitos |
| Jätevesi-pumppaamot | Siekkilän jätevesipumppaamon varavoiman kytkemismahdollisuuden rakentaminen | | Mikkelin vesilaitos |
| Katujen suolaaminen | Katujen suolauksen lopettaminen Hanhikankaan pohjavesialueella | | Mikkelin kaupunki |

| | | | |
|----------------------------|--|--|--|
| Kaukolämpö | Kaukolämpöveden pohjavesivaikutusten selvittäminen | | ESE |
| Matti- rekisterikohteet | Pohjavesialueella olevien MATTI -kohteiden tilan selvittäminen ja kunnostuksen edistäminen, Hanhilammen valuma-alueella sijaitsevien MATTI -kohteiden mahdollisen pohjavesiuhan selvittäminen | | ELY-keskus ja Ympäristöpalvelut ja kaupunki ja toimijat ja vesilaitos |
| Sähkömuuntamot | Muuntamoiden suoja-aitaiden asennus niille, joilta se puuttuu ja tarvitaan, Uudet muuntamopaikat Savilahdenkadun muuntamoille | | ESE ja kaupunki |
| Hautausmaat | Rouhialan hautausmaan vaikutuksen selvittäminen pienen Likolammen tilaan | | ELY-keskus ja Ympäristöpalvelut ja Vesilaitos |
| Metsätalous | Sannastinpuron suunnan kuormituksen tutkiminen ja vähentäminen esimerkiksi hyödyntämällä metsien kunnostusojituksessa laskeutusaltaita ja kaivukatkoja, Lannoitteiden käytön ja avohakkuiden sekä raskaan maanmuokkauksen välttäminen pohjavesialueella | | ELY, kaupunki ja Ympäristöpalvelut ja toimijat |
| Maa-ainestenotto | Hanhikankaan pohjavesialueella sijaitsevan maa-ainestenottoalueen kunnan selvittäminen, mahdollinen kunnostus ja viimeistely, Vuohiniemi-Haukilampi pohjavesialueen ottoalueiden maisemoinnin huolehtiminen. | | Ympäristöpalvelut, ELY, toimijat |